

brak 2-5. 7. 9. 12.

rep

PRZEGLĄD TECHNICZNY

CZASOPISMO MIESIĘCZNE

poświęcone sprawom techniki i przemysłu.

Komitety Redakcyjne:

S. Broniewski, inżynier-technolog. — E. Ciechocki, bud. — K. Chrzęszczewski, chemik-cukrownik. — St. Cwikiel, inż. — Z. Dąbrowski, inż. — J. Dziekoński, bud. — J. Grabowski, inż. — A. Graft, inż. — J. Heilpern, inż. — A. Hołowiński, inż., dr. fil. — H. Jowniewicz, profesor. — Z. Kisiański, bud. — St. Kossuth, inż. — W. Kolendo, technolog. — Z. Koziński, m. n. p. — F. Kucharzewski, inż. — W. Leppert, chemik-technolog. — J. Majewski, inż. — W. Marczewski, inż. — J. Natanson, k. n. p. — K. Obrębowicz, inż. — E. Paidly, inż. — J. Piasecki, m. n. p. — A. Podworski, inż. — T. Rutkowski, chem.-techn. — F. Rycerski, inż. — A. Sadkowski, inż. — E. Schoenfeld, inż. — J. Stowikowski, inż. — E. Sokal, inż. — W. Sołtan, inż. — S. Szylter, bud. — W. Trzeński, technolog. — S. Werner, inż. — L. Wojno, inż. — Z. Woysław, profesor. — S. Zieliński, inż.

REDAKTOR, A. Braun, inż.



STYCZEŃ.

ZESZYT I. — ROK XIX.

1893.

TREŚĆ ZESZYTU:

- O bocznej oporności mostów żelaznych bez górnych wiązań (prace prof. *Jebensa* i *Engessera*). 1
- Nowe parowozy osobowe d. ż. Północnej francuskiej i d. ż. rządowych węgierskich (systemu sprzężonego Compound). 4
- H. Hopfenblum*. O stosowaniu metody najmniejszych kwadratów w praktyce geodezyjnej 7
- O ponownym naciąganiu pilników i zastosowaniu pilników płytowych, przez inż. *Józefa Goffin*. 10
- Przyczynki do kwestyi o żelazie zlewnem, podług prof. *Tetmajera* podał *P. Drzewiecki* 13
- S. Stetkiewicz*. O przesyłaniu energii elektrycznej na odległość za pomocą prądów przemiennych wielofazowych 14
- Krytyka i bibliografia.** Kratownica przestrzenna, podał *Maksymilian Thullie*, str. 19. — Nowe książki francuskie i niemieckie, str. 20.
- Sprawozdania z posiedzeń stowarzyszeń technicznych.** Z Towarzystwa politechnicznego we Lwowie, str. 20.
- Kronika bieżąca.** Bibliografia piśmiennictwa polskiego w dziedzinie nauk matematycznych i fizycznych, str. 20. — Kilka słów w głośnie sprawie, str. 20.
- Cukrownictwo.** O stratach cukru powstających przy steżaniu i gotowaniu soków (dok.), str. 21. — Porównanie cukromierzy i wagi *Mohra* z pilnometrem, str. 23.
- I tablica rysunków:** 1 do art. „Nowe parowozy osobowe d. ż. Północnej francuskiej i d. ż. rządowych węgierskich. — 28 drzeworytów w tekście.

Ogłoszenia zakładów fabrycznych, biur technicznych i t. d.

Biblioteka Jagiellońska



1001359640

PRZEDPŁATA WYNOŚI:

W WARSZAWIE:		Z PRZESYŁKĄ POCZTOWĄ:	
Rocznie	Rs. 10.	Rocznie	Rs. 12.
Półrocznie	„ 5.	Półrocznie	„ 6.

Cena pojedynczego zeszytu, w biurze Redakcyi i Administracyi, rub. 1.

Na listę przedpłacicieli zapisywać się można w biurze Redakcyi i Administracyi i we wszystkich księgarniach krajowych.

Honorarya autorskie ulegają przedawnieniu po upływie 6 miesięcy od wydrukowania artykułu.

Cennik ogłoszeń podany jest na ostatniej stronie ogłoszeń.

Adres biura Redakcyi i Administracyi:

Warszawa, ul. Krakowskie-Przedmieście, 66.
(Gmach przemysłowo-rolniczy).

W drukarni K. Rubieszewskiego, Warszawa Nowy-Swiat Nr. 34.

Nowa. Wyszło z druku zeszytów siedem, zeszyt ósm
renumeratorów Przeglądu: w Warszawie
za rs. 2.

DZIEWIĘTNASTY ROK WYDAWNICTWA.

PRZEGŁĄD TECHNICZNY

będzie wydawany w ciągu roku 1893.

Nieustannem dążeniem Redakcyi jest uczynienie „**PRZEGŁĄDU**”

rzeczywistym organem technik i przemysłowców krajowych.

Cel ten będzie osiągnięty w zupełności wtedy dopiero, gdy **każdy technik i przemysłowiec**, współpracownictwem, lub przynajmniej zapisaniem się na listę przedpłacicieli czasopisma, **przyjmie udział** w pracy podjętej dla pożytku wspólnego.

WARUNKI PRENUMERATY, wyszczególnione na 1-ej str. okładki zeszytu, pozostają bez zmiany. — Biblioteki i czytelnice Stowarzyszeń uczącej się młodzieży, jak również wychowawcy zakładów naukowych, zapisując się na „Przegląd Techniczny” w Biurze Redakcyi i Administracyi, mogą otrzymywać takowy za połowę ceny, t. j. w Warszawie za rub. **5** rocznie, z przesyłką pocztową rub. **2**.

Przy „Przeglądzie” wydawany jest 3 razy miesięcznie

„Dodatek do Działu Cukrowniczego Przeglądu Technicznego,”

poświęcony wyłącznie sprawom bieżącym cukrowniczym.

Administracya Przeglądu Technicznego przyjmuje zamówienia na **Ogłoszenia** zakładów przemysłowych, biur technicznych i t. d. **Cennik ogłoszeń** podany jest na ostatniej stronie okładki zeszytu.

Biuro Redakcyi i Administracyi Przeglądu Technicznego, którego adres podany jest na 1-ej stronie okładki zeszytu, otwarte jest każdodziennie, za wyłączeniem Niedzieli i Świąt od godz. **5** po poł. do **8** wiecz.

Wychodzi codziennie nie wyłączając Niedzieli.

Istniejący rok setny dziewiętnasty

DZIENNIK POLITYCZNO-SPOŁECZNO-LITERACKI

„GAZETA WARSZAWSKA”

z bezpłatnym dodatkiem tygodniowym p. t.

„Korespondent Rolniczy, Handlowy i Przemysłowy.”

Jedyny większy dziennik wychodzący codziennie z rana i wysyłany na pocztę przed południem — jest więc pismem najwcześniej dochodzącem na prowincję

z wielkich gazet warszawskich najtańszem.

TREŚĆ PISMA:

Artykuły wstępne, poświęcone sprawom krajowym i zagranicznym. — Artykuły luźne z dziedziny objawów życia społecznego, ekonomicznego rozwoju kraju, rolnictwa i t. p. — Korespondencje z różnych stron Królestwa Polskiego i Cesarstwa, korespondencje stałe z Krakowa, Lwowa, Pragi, Wiednia, Berlina, Paryża, Rzymu, Londynu i t. p. — Felieton poświęcony sprawom teatru, muzyce, sprawozdaniom ze sztuk pięknych. — Kroniki miesięczne z Paryża i Wiednia. — Sprawozdania z ruchu książkowego i literackiego w kraju i zagranicą. — Notatki literackie, jako wskazówki dla chcących się zapoznać z ruchem literackim. — W felietonie powieści i nowelle oryginalne i tłómaczone. — Kronika sądowa. — Telegramy: własne i Agencji Północnej. — Sprawozdania z ruchu handlowego i przemysłowego. — Ceny zboża i produktów rolniczych na rozmaitych rynkach Królestwa, Cesarstwa (Odessa, Libawa, Ryga) i zagranicy.

Warunki prenumeraty „Gazety Warszawskiej”.

W Warszawie: rocznie **9** rubli, półrocznie rs. **4** kop. **50**, kwartalnie rs. **2** kop. **25**, miesięcznie kop. **75**. Za odosłanie do domu **5** kop. miesięcznie.

Na prowincyi i w Cesarstwie: rocznie rs. **12**, półrocznie rs. **6**, kwartalnie rs. **3** — łącznie z przesyłką pocztową.

Przedpłata przyjmuje się od każdego 1-go miesiąca według kalendarza nowego stylu.

Za wiersz ogłoszenia petitem lub jego miejsce **3** kopiejek. Wiersz reklamy **20** kop.

Adres: Redakcyja „Gazety Warszawskiej” Warszawa, Krakowskie-Przedmieście Nr 2.

Redaktor i Wydawca St. Lesznowski

W ciągu roku wychodzi 343 numery.

Wychodzi codziennie

Każdy prenumeratorka ma prawo wydrukować darmo co kwartał OGŁOSZENIE objętości 10 wierszy petitowych.

Każdy prenumeratorka ma prawo wydrukować darmo co kwartał OGŁOSZENIE objętości 10 wierszy petitowych.

O BOCZNEJ OPORNOŚCI MOSTÓW ŻELAZNYCH BEZ GÓRNYCH WIĄZAŃ

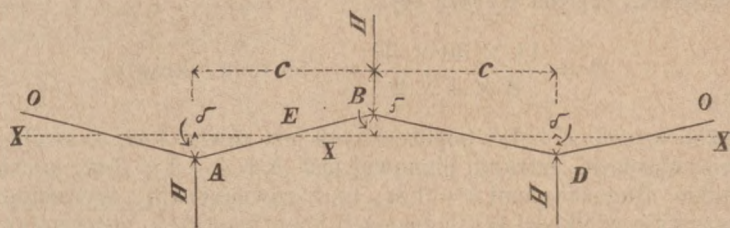
(Prace prof. Jebensa i Engessera).

Badania dokonane w ostatnich latach dla wyjaśnienia przyczyn załamania się niektórych mostów żelaznych z jazdą dolną przekonały, że niedostateczna sztywność pasów górnych w przęsłach mostowych, przy nieobecności lub przy zbyt słabych wymiarach górnych poziomych wiązań, spowodowały wygięcie pasów górnych, a tem samem i załamanie mostu. Kronika nieszczęśliwych wypadków ma do zanotowania pewną liczbę mostów, które uległy katastrofie skutkiem bocznego wygięcia się pasów górnych, a chociaż wypadki takie częściej zdarzały się zagranicą, to i z rosyjskich dróg żelaznych można przytoczyć przykład załamania się mostu na r. Kiewdzie dr. żel. Morszańsko-Syzrańskiej jako tą samą przyczyną spowodowany. Ścisłanie w pasach górnych przęsła, wywołuje dążność do wygięcia podłużnego czyli sił w bok rzucających, którym oprócz sztywności samego pasa, w kierunku pionowym t. j. w płaszczyźnie przęsła opiera się sama krata czyli rozporę do pasów przytwierdzone i dzielące je punktami węzłowymi na panele. Dążność do wygięcia się podłużnego pod wpływem ściskania, wyraża się w pasach górnych nie tylko w kierunku pionowym, ale i w kierunku poziomym, i temu to boczemu wygięciu się powinniśmy oprzeć się pasy swoją boczną sztywnością, lub przy pomocy wiązań poziomych łączących pasy a wreszcie w razie nieobecności wiązań przy pomocy sztywności rozporów pionowych i konsol. Gdyby pasy górne jakiegokolwiek istniejącego mostu odłączyć od wiązań poziomych lub sztrab pionowych, t. j. postawić je w warunkach swobodnej pryzmy poddanej ściskaniu, to nie ulega wątpliwości, że musiałyby pogięć się i połamać, bo moment bezwładności ich przekroju byłby niewystarczający dla oparcia się wygięciu podłużnemu. Kiedy więc wymiary pasów górnych oblicza się i projektuje wystarczające nagniecenie, a tylko w niewielkim stopniu mogące się oprzeć wygięciu podłużnemu, to powstaje pytanie, jakim warunkom powinny czynić zadość wiązania górne poziome, albo też sztraby pionowe i konsole w mostach otwartych, inaczej mówiąc, jaka powinna być owa graniczna zależność między wymiarami sztrab pionowych w przęsłach (lub wiązań poziomych górnych), a wymiarami samego pasa górniego, dla zabezpieczenia tego ostatniego od możliwego wygięcia się w płaszczyźnie poziomej. Dotąd teoria nie dała na to pytanie odpowiedzi, a nawet teoretyczne jego rozwiązanie prawie za niemożliwe uważać należy, bo doprowadza do skomplikowanych równań różniczkowych, niemożliwych do scałkowania w obecnym stanie nauki. W takim stanie rzeczy, kiedy trudności analityczne nie pozwalają na ustalenie dokładnej teorii, opartej na prawidłowym systemacie badań wykazujących związek między siłami i deformacjami, poprzestać musimy na wskazówkach, jakie od czasu do czasu pojawiają się w oderwanych pracach w tym kierunku. Zamieszczamy tu nowe próby tego rodzaju, a mianowicie prace prof. *Jebensa i Engessera*, podane w roku bieżącym w „Centralblatt der Bauverwaltung“ w zeszytach № 14 i 33.

1) Prof. *Jebens* wyprowadza formuły przybliżone dla mostów żelaznych z jazdą dolną otwartych, t. j. pozbawionych wiązań poziomych górnych, w tem przypuszczeniu, że na sztywność pasa górniego wcale rachować nie można; uważa tedy pas górny jako złożony z oddzielnych kawałków, długości pojedynczych paneli, połączonych przegubowo w punktach węzłowych. Wygięciu, powstającemu w pasie górnym, pod wpływem ściskania sprzeciwia się w tym razie wyłącznie oddziaływanie słupków pionowych przęsła, do końców których przymocowane są pasy górne.

Na załączonej fig. 1 linia prosta XX oznacza część pasa górniego widzianą z góry w rzucie poziomym. Pod wpływem siły ściskającej pas górny przybierze położenie linii łamanej w punktach węzłowych, tak że punkta węzłowe czyli górne końce sztrab pionowych zostaną odchylone od pierwotnego położenia, co znowu spowoduje wygięcie sztrab pionowych, a także

Fig. 1.

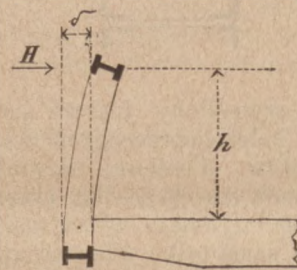


i belek poprzecznych, do których sztraby w dolnej części są przymocowane. Na fig. 1 niech linia pełna oznacza kształt wygiętego pasa górniego, niech c będzie długość paneli czyli odległość między dwoma punktami węzłowymi, niech δ oznacza odchylenie punktu węzłowego, i oznaczmy przez O siłę gniotącą w pasie, a przez H wielkość reakcji poziomej, która usiłuje węzeł do pierwotnego położenia przywrócić. Dla równowagi moment wszystkich sił z lewej strony nieruchomego punktu pasa L działających, względem tego punktu musi być równy zeru, czyli

$$H \times \frac{c}{2} - O \times 2\delta = 0, \quad \text{skąd } \delta = \frac{c \cdot H}{4O} \quad (1).$$

Fig. 2 przedstawia w przekroju poprzecznym mostu jedną sztrabę pionową i część belki poprzecznej. Chociaż belka poprzeczna, pod wpływem wygięcia sztraby, sama także wygięciu ulegnie, jednak prof. *Jebens* tego wygięcia wcale nie uwzględnia, a to z powodu, że gdy wpływ jego jest nieznaczny,

Fig. 2.



nie byłoby celu komplikować formułę bardzo przybliżonym sposobem wyprowadzoną. Nazwijmy wysokość sztraby pionowej, swobodną, to jest liczoną po nad belką poprzeczną przez h , moment bezwładności przekroju sztraby pionowej przez I , a współczynnik sprężystości przez E . Sztraba pionowa, znajduje się w warunkach belki w jednym końcu zamurowanej, a w drugim swobodnej i poddanej na swobodnym końcu działaniu siły poprzecznej H ; w takim razie odchylenie największe w swobodnym końcu, czyli strzałka wygięcia, wyraża się przez

$$\delta = \frac{Hh^3}{3EI} \quad (2),$$

co podstawiając w równanie (1), otrzymamy

$$O = \frac{3}{4} \frac{c}{h^3} EI \quad (3).$$

Wyrażenie to daje maksymalną siłę ściskającą w pasie ze względu na wymiary sztraby pionowej. Natężenie w pasie, jakie ze względu na bezpieczeństwo można dopuścić, nie powinno przenosić jednej czwartej lub jednej piątej siły maksymalnej, tak że jeżeli O jest rzeczywistą siłą ściskającą w pasie, to dla bezpieczeństwa powinno być

$$O = \frac{1}{6} \frac{c}{h^3} EI \quad (4).$$

Z równania (4), mając wiadome O , c , h i E , można znaleźć I , a mianowicie wypada:

$$I = 6 \frac{h^3}{c} \cdot \frac{O}{E} \quad (5).$$

Przykład. Niech będzie most kolejowy dwutorowy rozpiętości = 30 m, w którym wysokość przęsła czyli odległość pasów górniego i dolnego = 4 m. Jeżeli pełne obciążenie na

1 m biejący mostu wynosi 11 tonn, to siła ściskająca w pasie dla środka przęsła wyraża się:

$$O = \frac{11 \times 30 \times 30}{8 \times 4 \times 2} = 155 \text{ tonn (okrągło)}.$$

Jeżeli wysokość belek poprzecznych jest równa 1 m, to swobodna wysokość sztraby pionowej jest $h = 4 - 1 = 3 \text{ m}$; niech będzie długość panel $c = 3 \text{ m}$, to z równania (5), wyrażając wszystkie wielkości w kilogramach i centymetrach, otrzymamy:

$$I = 6 \times 300^2 \times 10 \times \frac{155\,000}{2\,000\,000} = 41\,850.$$

Niechaj przekrój sztraby pionowej ma kształt pokazany na fig. 3, t. j. składa się z dwóch par kątowników o przekroju f , przy odległości środków ciężkości = 26 cm. Moment bezwładności przekroju takiej sztraby w przybliżeniu:

$$I = 2 \cdot 13^2 \cdot 2f = 676f$$

i wypada
$$f = \frac{41\,850}{676} = (\text{okrągło}) 62,$$

tak że całkowity przekrój sztrab wyniesie $4f = (\text{okrągło}) = 248 \text{ cm}^2$.

Fig. 3.



Ten przekrój wypadłoby jeszcze powiększyć, gdyby uwzględnić wygięcie belek poprzecznych oraz osłabienie przekroju przez dziury nitów. Ponieważ największa siła ściskająca w rozporach pionowych w środku przęsła wynosi około 25 tonn, to przy współczynniku wytrzymałości 0,5 tonn na 1 cm^2 , uwzględniając samą tylko siłę ściskającą, przekrój rozporu wypadłby około 50 cm^2 , czyli, że przekrój sztrab pionowych, które zazwyczaj tylko na siłę gniotącą są obliczone, w istniejących mostach wynosi zaledwie jedną piątą tego, czego by wymagało bezpieczeństwo ze względu na wygięcie podłużne pasów przęsł.

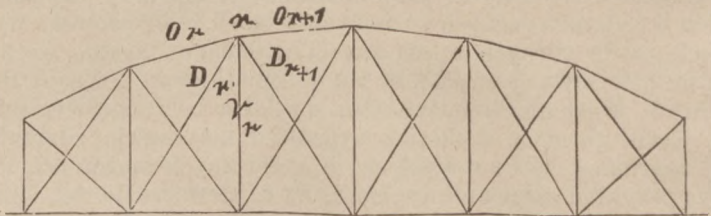
W rzeczywistości pas nie składa się z oddzielnych kawałków, ale przedstawia jedną całość, mogącą się w pewnym stopniu wygięciu podłużnemu opierać, więc formuła (5) nie daje właściwych rezultatów, a i wniosek, jaki autor z niej wyciąga, że „dla bezpieczeństwa należałoby przekrój sztrab pionowych dawać 5 razy mocniejszy od tego, jaki spotykamy w istniejących mostach”, za bardzo przesadzony uważać należy. W samej rzeczy, nie wspominając o naszych mostach na naszych drogach żelaznych, gdzie sztraby pionowe mostów otwartych mają przekroje bardzo silne z wielkim zapasem, w porównaniu z wymiarami, jakie wypadają z obliczenia, to w ogóle w Rosji, a szczególnie zagranicą, gdzie dbają o to, żeby przesadzonych wymiarów w częściach mostów nie dawać, zawsze jeszcze przekroje sztrab pionowych są większe, niż potrzebne na samo gniecenie, nawet z uwzględnieniem zgięcia podłużnego samej sztraby.

Wyprowadzenie formuły (5), jak to zresztą sam autor powiada, jest bardzo przybliżone, gdyż wcale nie bierze się pod uwagę ani wygięcia belek poprzecznych, ani zgięcia podłużnego w sztrabach pionowych. W każdym razie, formuła (5), której główną zaletę stanowi prostota, wyraźnie wykazuje, że tylko sztraby pionowe o przesadnie wielkich wymiarach, mogłyby same zabezpieczyć od bocznego wygięcia pasów. Sam pas ściskany, koniecznie powinien mieć znaczną sztywność. Przy projektowaniu mostu starać się należy, ażeby moment bezwładności przekroju pasa górnego względem osi pionowej, był jak największy.

2) Daleko ściślej traktuje ten sam przedmiot prof. Engesser. Przedewszystkiem zaznacza, że boczna oporność mostów otwartych zależy z jednej strony od sztywności pasa górnego przęsła, a z drugiej strony od sztywności połowicznej ramy jaką formuje rozpora pionowa wraz z belką poprzeczną. Im sztywniej

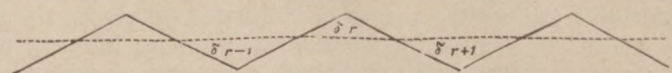
będą zbudowane pasy, tem słabsze mogą być wymiary połowicznej ramy i naodwrot. Górną granicą niezbędnej sztywności ramy, otrzymamy w tym wypadku, kiedy sztywności pasa górnego wcale pod uwagę nie wprowadzimy, t. j. kiedy pas uważać będziemy złożony z oddzielnych kawałków (paneli), w punktach węzłowych przegubowo ze sobą połączonych. (Jest to właśnie wypadek roztrząsany przez *Jebensa*). Niech dolny pas przęsła będzie prostoliniowy, a górny dowolnego kształtu i założymy, że w płaszczyźnie pasów dolnych znajdują się silne wiązania poziome. Nazwijmy przez O_r siłę ściskającą w pasie górnym, przez D_r i V_r siły w sztrabach ukośnych i pionowych dla węzła r , odpowiednia zaś długość tych części przęsła przez o_r , d_r i v_r .

Fig. 4.



Niech fig. 5 wyobraża rzut poziomy pasa górnego w chwili wygięcia i oznaczmy przez δ_r poziome odchylenia węzłów pasa górnego od pierwotnego położenia

Fig. 5.



Odchylenia δ_r w stronę zewnętrzną mostu przyjmujemy za dodatnie. Poziome odchylenia punktów węzłowych w pasie dolnym mogą być przyjęte = zero, ze względu na obecność silnych wiązań poziomych dolnych. Ażeby wyłączyć poboczne komplikujące wpływy, przypuścimy, że obciążenie udziela się pasom zupełnie niezależnie od ram połowicznych, za pośrednictwem oddzielnych belek poprzecznych swobodnie leżących na pasach dolnych, tak że połowiczna rama nie ulega wygięciu pod bezpośrednim wpływem obciążenia. Dla równowagi, składowe poziome wszystkich sił działających na którykolwiek punkt węzłowy powinny być równe zero, czyli przyjmując za dodatni kierunek sił ściskających powinno być:

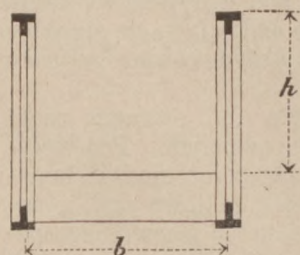
$$O_r \frac{\delta_r - \delta_{r-1}}{o_r} + O_{r+1} \frac{\delta_r - \delta_{r+1}}{o_{r+1}} + D_r \frac{\delta_r}{d_r} + D_{r+1} \frac{\delta_r}{d_{r+1}} + V_r \frac{\delta_r}{v_r} = C_r \delta_r \quad (6).$$

$C_r \delta_r$ oznacza tu reakcję poziomą wywołaną w górnym końcu rozporu, czyli sztraby pionowej pod wpływem odchylenia δ_r . Współczynnik C_r zależy od wymiarów ramy połowicznej i przyjmując momenty bezwładności I przekroju sztraby, oraz przekroju belki poprzecznej Y — za ilości stałe, daje się wyrazić:

$$C_r = E: \left(\frac{h_r^2 b}{2 Y_r} + \frac{h_r^3}{3 I_r} \right) \quad (7),$$

gdzie E — jest współczynnik sprężystości,
 b — odległość między przęsłami — i
 h_r — swobodna wysokość rozporu pionowego.

Fig. 6.



Za swobodną wysokość rozporu h_r możemy podstawić całkowitą długość v_r , jeżeli nie bierzemy pod uwagę wysokości belki poprzecznej. Dla wypadku, kiedy przekrój sztraby pionowej nie jest jednakowy na całej jej wysokości, ale zmienia się tak, że moment przekroju wzrasta linijnie od wartości O na końcu sztraby do wartości I u podstawy, to współczyn-

nik C_r daje się wyrazić:

$$C_r = E : \left[\frac{h_r^2 b}{2 Y_r} + \frac{h_r^3}{2 I_r} \right] \dots \dots \dots (8).$$

Równanie (6) można utworzyć dla każdego z punktów węzłowych r , jeżeli więc n oznacza liczbę punktów węzłowych w pasie, to otrzymamy n równań tyle, ile jest niewiadomych δ_r . Ponieważ niewiadome δ_r wchodzi w każdym wyrazie równań (6) jako czynnik, można więc z tych równań otrzymać nie absolutne wartości δ_r , ale $n-1$ wartości ich stosunków $\frac{\delta_{r-1}}{\delta_n} = \tau_r$, a po wyrugowaniu wartości τ_r pozostanie jedno równanie, w które wejdą tylko siły w częściach przęsła działające oraz wymiary ramy. Tak otrzymane równanie wyrazi warunek, jakiemu zadość muszą uczynić siły w przęsle i wymiary ramy, ażeby założone wygięcie pasa, mogło mieć miejsce. Jeżeli zamiast sił S działających w przęsle podstawimy i S , gdzie i oznacza żądany stopień bezpieczeństwa, to z ostatecznego równania można znaleźć i czyli stopień bezpieczeństwa mając dane wymiary ramy, albo, zadając i , można otrzymać najmniejszą wartość dla C_r , tem samem dla I .

W przęsłach o pasach równoległych, składowe w kierunku poprzecznym sił, w częściach kraty sił D_r , D_{r+1} i V_r wzajemnie się znoszą i równanie (6) sprowadza się do

$$\frac{O_r}{c} (\delta_r - \delta_{r-1}) + \frac{O_{r+1}}{c} (\delta_r - \delta_{r+1}) = C_r \delta_r \dots \dots \dots (9),$$

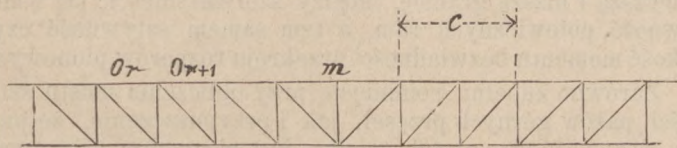
gdzie c oznacza długość paneli. Dla środka przęsła symetrycznego kształtu jest:

$$O_r = O_{r+1} = O_m \text{ i } \delta_r = \delta_{r+1}$$

i z równania (9) wypada:

$$\frac{2 O_m}{c} (\delta_m - \delta_{m-1}) = C_m \delta_m \dots \dots \dots (10).$$

Fig. 7.



Dla rozporów krańcowych jest:

$$O_r = 0 \text{ i } O_{r+1} = O_1$$

i równanie (9) przechodzi na

$$\frac{O}{c} (\delta_0 - \delta_1) = C_0 \delta_0 \dots \dots \dots (11)$$

Dla przęsł parabolicznych równomiernie obciążonych, opuszczając bardzo mały wpływ rozporów, otrzymamy

$$\frac{H}{c} (2 \delta_r - \delta_{r-1} - \delta_{r+1}) = C_r \delta_r \dots \dots \dots (12),$$

gdzie H oznacza poziomą składową siły ściskającej w górnym pasie. Jeżeli w przybliżeniu założymy dla środka przęsła $\delta_{m-1} = -\delta_m = \delta_{m+1}$, to otrzymamy z równania (10), jako niezbędną sztywność połowicznej ramy w środku przęsła:

$$C_m = \frac{4 O_m}{c} \text{ albo } = \frac{4 O_m i}{c} \dots \dots \dots (13),$$

a podstawiając za C_m jego wartości z równania (7), wypada przybliżona wartość I_m , t. j. momentu bezwładności rozporu pionowego w środku przęsła:

$$I_m = 1 : \left[\frac{0,75 E c}{i O_m h^3} - \frac{1,5 b}{Y h} \right] \dots \dots \dots (14).$$

Przy bardzo silnych belkach poprzecznych Y jest bardzo wiel-

kie i można w przybliżonej formule przyjąć $\frac{1}{Y} = 0$, przez co równanie (14) wyrazi się:

$$I_m = \frac{4 O_m h^3 i}{3 E c} \dots \dots \dots (15),$$

co właśnie jest zupełnie identyczne z przybliżoną formułą (3) wyprowadzoną przez prof. *Jebensa*.

Jeżeli wyobrazimy sobie ramę, w której rozporu pionowe są niezmiernie silne, t. j. dla której można w przybliżeniu wziąć $I_m = \infty$, to z równania (14) znajdziemy najniższą wartość dla Y , a mianowicie:

$$Y = \frac{2 i O_m b h^2}{E c} \dots \dots \dots (16).$$

Dla rozporu pionowego o niejednostajnym na całej wysokości przekroju wypada z równania (8):

$$I_m = 1 : \left(\frac{0,5 E c}{i O_m h^3} - \frac{b}{Y h} \right) \text{ albo dla } \frac{1}{Y} = 0$$

$$I_m = \frac{2 O_m h^3 i}{E c} \dots \dots \dots (17).$$

Najczęściej wszystkie półramy w moście mają jednakowe wymiary i sztywność, albo też sztywność wzrasta od środka przęsła ku końcom. Dla tego ostatniego wypadku odchylenia punktów węzłowych bliżej środka są większe i jest $\delta_{m-1} < -\delta_m$ i równania (14) i (17) dają za wielkie wartości na I_m . W wypadku krańcowym, kiedy przypuszczamy, że wszystkie półramy, oprócz środkowej, są nieskończenie sztywne, będzie:

$$\delta_{m-1} = \delta_{m+1} = 0 \text{ i (9) przechodzi w } C_m = \frac{2 O_m}{c} \text{ albo } = \frac{2 O_m i}{c} \dots (18).$$

Z czego widać, że dla tego wypadku środkowa półrama może mieć o połowę mniejszą sztywność niż poprzednio.

Przy wyprowadzeniu powyższych formuł, wcale nie była brana pod uwagę siła ściskająca sztraby pionowe, jako część przęsła. W rzeczywistości tylko dla mostów o podwójnym kierunku rozporów pochyłych, gdzie sztraby pionowe służą tylko dla zeszywnienia i przyłączenia belek poprzecznych, albo wreszcie i dla mostów wszelkich systemów, ale tylko w środkowych częściach przęsła, gdzie siły poprzeczne przęsła są prawie równe zeru, można ograniczyć się na formułach powyżej wyprowadzonych w przypuszczeniu, że całkowity moment bezwładności przekroju I służy wyłącznie tylko dla oparcia się zgięciu podłużnemu w pasach. W ogólności jednak tak nie jest i jeżeli przez I , oznaczmy wielkość momentu bezwładności przekroju któryby był wystarczającym dla oparcia się sile gniotącej wraz z wywołaniem przez nią zgięciem podłużnym w sztrabie pionowej, to należy w formułach powyżej wyprowadzonych zamiast I podstawić $I - I_1$, przyczem otrzymany rezultat uważać można, bez wielkiej niedokładności, za dostatecznie bliski rzeczywistości. Sztrabę pionową uważać można jako pryzmę wysokości v , (zaniedbując wysokości belki poprzecznej), poddaną sile gniotącej V , a której końce muszą pozostawać na pierwotnej osi, t. j. w płaszczyźnie przęsła. Formuła *Eulera* dla tego wypadku zgięcia podłużnego daje

$$I_1 = \frac{V v^2}{E \pi^2} \text{ albo } I_1 = \frac{i V v^2}{E \pi^2},$$

jeżeli i oznacza żądany stopień bezpieczeństwa¹⁾. Gdyby sztraby pionowe, jako części przęsła, poddane były wyciąganiu, a nie gnieleniu, co może mieć miejsce np. w przęsłach parabolicznych, to ta okoliczność wpływałaby na zwiększenie sztywności połowicznej ramy, i ściśle biorąc w formułach należałoby zamiast I jakąś większą wartość podstawić, ale ten wypadek nie posiada praktycznego znaczenia.

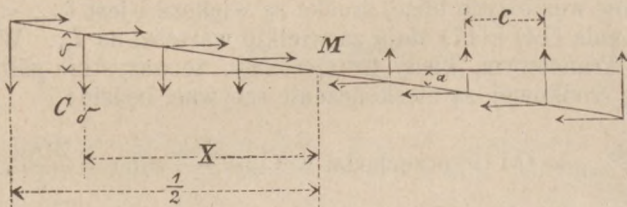
¹⁾ Chcąc mieć dokładniejsze wyrażenie na I_1 , należy zwrócić uwagę na granice, w których można obserwować formułę *Eulera*, a w ogóle odnieść się do nowszych prac nad zgięciem podłużnym pryzm poddanych gnieleniu.

W ogóle należy zauważyć, że istnienie dolnych wiązań poziomych, które utrzymują na miejscu połowiczne ramy, nie dozwalać im zwichrować się pod wpływem poprzecznych sił poziomych, stanowi konieczny warunek oporności bocznej mostu. Gdyby tych wiązań dolnych w moście nie było, to już najmniejsze obciążenie pionowe wywołałoby siły gniotące, będące w stanie zwichrować półramy i przęsła boczne powyginać.

Dotychczas roztrząsana była tylko górna granica wartości sztywności półramy, jaką formułą rozporu pionowe z belkami poprzecznymi, a mianowicie, największe jej znaczenie w przypuszczeniu, że na sztywność samego pasa zupełnie liczyć nie można. Dolną granicę czyli najmniejszą wartość na potrzebną sztywność ramy, otrzymamy w tem przypuszczeniu, że moment bezwładności przekroju pasa górnego, a tem samem i jego oporność na zgięcie podłużne jest nieskończenie wielka. Ta granica niższa sztywności ramy bynajmniej nie jest równą zeru, jak to się zwykle przypuszcza, ale przeciwnie ma skończoną wartość, która dla przęsła o pasach równoległych w następujący sposób może być wyprowadzona.

Boczne wygięcie ściany przęsła, w przypuszczeniu, że pas górny posiada sztywność nieskończenie wielką, jest możliwe o tyle tylko, o ile pas górny, pozostając prostolinijnym, obróci się o pewien kąt względem nieruchomego pasa dolnego. Jeżeli przęsła są symetrycznego kształtu i w symetrycznych względem środka warunkach, to punkt około którego obróci się pas górny, leżąc będzie w środku przęsła (M na fig. 8).

Fig. 8.



Na tak odchylony, skutkiem obrotu o kąt α , pas górny działają w punktach węzłowych reakcje ramy $C\delta$, t. j. siły działające poprzecznie do osi pasa i usiłujące odchylone końce górne sztrab pionowych sprowadzić do pierwotnego położenia, a oprócz tego na też punkty węzłowe działają siły w kracie przęsła, a mianowicie D i V . Pionowe składowe tych ostatnich sił D i V wzajemnie się równoważą i pozostają tylko ich składowe poziome równoległe do osi pasa, które, jak wiadomo, dla każdego punktu węzłowego są równe ΔO , t. j. przyrostowi siły O działającej w pasie. Dla równowagi musi być moment wszystkich sił względem nieruchomego punktu M równy zeru, czyli

$$\Sigma C\delta \cdot x - \Sigma \Delta O \cdot \delta = 0,$$

albo ponieważ $\delta = \alpha x$:

$$\Sigma Cx^2 = \Sigma \Delta O \cdot x \quad (19).$$

Dla wypadku obciążenia równomiernie rozłożonego p na 1 metr bieżący przęsła, jeżeli v jest wysokość przęsła, siła O działająca w pasie w przybliżeniu równa się $O = \frac{p}{2v} \left(\frac{l^2}{4} - x^2 \right)$, a przyrost w granicy $dO = -\frac{px}{v} dx$, skąd w przybliżeniu

$$\Sigma \Delta O \cdot x = \int_{l/2}^0 x dO = \int_0^{l/2} x \cdot \frac{px}{v} dx = \frac{pl^3}{24v}.$$

Jeżeli sztywność ram jest dla wszystkich węzłów jednakowa, t. j. C jest ilością stałą, to w przybliżeniu

$$\Sigma Cx^2 = \int_0^{l/2} \frac{C}{c} x^2 dx = \frac{Cl^3}{24c};$$

z podstawienia tych wartości w (19) wypada

$$\frac{Cl^2}{24c} = \frac{pl^3}{24v}, \text{ czyli } C = p \frac{c}{v} \quad (20).$$

Gdyby wszystkie ramy pośrednie miały bardzo małą sztywność w porównaniu z ramami na końcach przęsła, to $\Sigma Cx^2 = C_0 \frac{l^2}{4}$, a z równania (19):

$$C_0 = \frac{4}{l^2} \Sigma \Delta O \cdot x \text{ i w przybliżeniu } C_0 = \frac{pl}{6v} \quad (21),$$

gdzie C_0 jest sztywność ramy na końcu przęsła.

Dla wypadku kiedy sztywność belek poprzecznych jest niezmiernie wielką, z równania (7) wypada $C = \frac{3EI}{h^3}$, a podstawiając wartość C z równania (20), wypada potrzebny moment bezwładności przekroju rozporu pionowego

$$1 = \frac{p c h^3}{3 E v} \text{ albo w przybliżeniu } 1 = \frac{p c h^2}{3 E} \quad (22),$$

albo też $I = \frac{i p c V}{3 E}$, jeżeli i oznacza żądany stopień bezpieczeństwa.

Jeżeli natężenie w sztrabach przechodzi po za granice sprężystości, to powyższe formuły, jako dające zbyt dogodne rezultaty, stosowane być nie mogą. Ściśle biorąc, należy tę okoliczność brać pod uwagę z uwzględnieniem żadanego stopnia bezpieczeństwa, t. j. żeby nie tylko $\frac{V}{F}$ (gdzie F powierzchnia kwadratowa przekroju sztraby), ale i dla siły i razy wziętej, naprężenie $\sigma = \frac{Vi}{F}$ nie powinno przechodzić granicy sprężystości. Najkorzystniej pod tym względem zachowują się systematy przęsła o podwójnym kierunku rozporów pochyłych, z pomocniczymi rozporami pionowymi; w tych bowiem systematach naprężenia rozporów pionowych są bardzo nieznaczne i nawet przy i -krotnej sile nie dosięgają granicy sprężystości.

Z powyżej zamieszczonych prac prof. *Jebensa* i *Engessera* okazuje się, że formuły przybliżone *Jebensa* są tylko szczególnym przypadkiem ściślejszych formuł *Engessera* i że posługując się temi ostatnimi formułami, dla danego mostu otrzymać można wyższą i niższą granicę, między którymi mieścić się winna sztywność połowicznych ram, a tem samem sztywność czyli wielkość momentu bezwładności przekroju rozporów pionowych.

Zarówno zupełne pominięcie przy obliczeniu mostu sztywności pasów górnych przęsła, jak i przypuszczenie, że pasy mają sztywność niezmiernie wielką, jest niezgodne z rzeczywistością i dalszy rozwój danego przedmiotu, czyli ściślejsze oznaczenie granicznej zależności między wymiarami rozporów pionowych i wymiarami pasów górnych, jest związane z kwestją wygięcia pasa górnego pod wpływem sił ściskających. W ogóle, posunięcie naprzód kwestyi oznaczenia oporności bocznej mostów otwartych jest ściśle związane z dalszym rozwojem teorii zgięcia podłużnego w ogóle, a w szczególe mało dotąd zbadanego zagadnienia o zgięciu podłużnem przyzmy, wzdłuż osi której działają siły gniotące, zmieniające się według pewnego prawa.

S. Z.

NOWE PAROWOZY OSOBOWE

d. ż. Północnej francuskiej i d. ż. rządowych węgierskich

(systemu sprężonego Compound).

(Tabl. I).

Powszechnie zamanifestowana w epoce wystawy paryskiej 1890 r. dążność do zwiększenia szybkości jazdy na drogach żelaznych, przy jednoczesnem niżeniu taryf pasażerskich, nie była chwilowym kaprysem, wywołanym chęcią popisu na międzynarodowym turnieju, lecz objawem ogólnie odczuwanej potrzeby wyciągnięcia z dróg żelaznych dla handlu, przemysłu i wygody publicznej wszelkich korzyści, na jakie obecne postępy techniki pozwalają. Zaznaczona przez nas w swoim

czasie ¹⁾ ta dążność trwa w dalszym ciągu, wywołując coraz nowe usiłowania ulepszeń, zwłaszcza w budowie parowozów, przez nadanie im potężnej siły pociągowej przy możliwie największej szybkości jazdy.

Usiłowania te skierowane są głównie ku wyzyskaniu systemu (compound), który zapewniając korzystniejsze spożytkowanie pary, zwiększa zarazem pracę użyteczną maszyny. Zauważyć należy, że dla osiągnięcia wielkiej siły pociągowej coraz częściej są stosowane dwie pary cylindrów parowych, symetrycznie względem osi parowozu umieszczonych, z których jeden o wysokim i drugi o niskim ciśnieniu. Cylindry te bywają położone bądź jeden za drugim (tandem), jak to widzieliśmy w potężnych parowozach towarowych d. ż. francuskiej Północnej, bądź też oddzielnie na zewnątrz i wewnątrz ram parowozowych.

W ostatnich czasach zostały zbudowane tego systemu parowozy dla ciężkich pociągów pośpiesznych na d. ż. Północnej francuskiej i na d. ż.-ch rządowych węgierskich.

Zacznijmy od opisu parowozu francuskiego.

Pociągi pośpieszne d. ż. Północnej były początkowo prowadzone przez parowozy *Cramptona*, następnie zaś przez znane pod imieniem „d'Outrance“, o dwóch osiach związanych. W tych ostatnich od r. 1877 zastąpiono przednią oś potoczną przez wózek zwrotny czterokołowy, i w takiej formie przetrwały do ostatnich czasów, a na wystawie 1889 r. były reprezentowane przez zbudowany w tym celu parowóz № 2101.

Jakkolwiek jednak w ciągu lat 12-tu typ pozostał niezmienny, przez stopniowe zwiększanie średnicy cylindrów parowych i ciśnienia pary w kotle do 12 atm. siła pociągowa stale wzrastała, osiągnąwszy w parowozie № 2101 do maksimum 7847 kg, przy maksymalnym naprężeniu na każdą z korb motorowych dochodzącem do 21715 kg. Naprężenia tak znaczne nie mogły pozostać bez wpływu na wytrzymałość mechanizmu, a mianowicie w parowozie № 2101 po przebiegu zaledwie 63700 km pękła rama boczna, a po 74000 km okazała się rysa w osi pociągowej, zmuszająca do zastąpienia jej nową. Skutkiem tych reparacji koszty utrzymania parowozu wyniosły po 20,7 centymów na kilometr.

Takie doświadczenie z parowozami o jednej parze silnych cylindrów, działających na jedną oś pociągową, skłoniło do próby rozdzielenia tej siły między dwie pary cylindrów działających na dwie osie pociągowe, przez co wszelkie naprężenia szkodliwe zostałyby zredukowane do połowy. Taką próbę stanowił wystawiony również w r. 1889 parowóz № 701 systemu sprężonego, w którym jedna para małych cylindrów wewnętrznych działała na pierwszą, druga zaś para dużych cylindrów zewnętrznych na drugą oś pociągową umieszczoną pod paleniskiem.

Pięcioletnie doświadczenia z tym parowozem od r. 1886 do 1891, podczas których przebiegł on 217 094 km, przekonały nie tylko o racjonalności tego poglądu co do wytrzymałości konstrukcji, lecz nadto o znacznej oszczędności otrzymywanej w nim na węglu; konsumpcja bowiem jego wynosiła tylko po 7,955 kg na kilometr, gdy zwykle parowozy d'Outrance, równej mu siły, spalały po 9,439 kg na 1 km przebieżony. Przy tem koszty utrzymania jego w ciągu pierwszych sześciu lat służby wynosiły po 11,93 centymów na kilometr, gdy dla parowozów d'Outrance po 12,07 cent., co stanowi rezultat tem korzystniejszy, iż z powodu podwójnych mechanizmów należałoby oczekiwać przeciwnego rezultatu. Wprawdzie smarowanie tych mechanizmów wypadło nieco drożej, lecz drobna stąd przewyżka 147,09 fr. w ciągu lat 6-u została z nadmiarem pokryta przez oszczędność na węglu, wynoszącą w tym samym czasie 5408 fr. 11 centym.

Przy wszystkich wyżej opisanych przymiotach parowóz № 701 miał i wady bardzo kłopotliwe, a mianowicie: 1) częste grzanie się czopów osi tylnej położonej pod paleniskiem, 2) ślizganie się kół, 3) trudność ruszenia z miejsca.

Aby zaradzić tym niedogodnościom, postanowiono: 1) umieścić oś tylną za paleniskiem, 2) związać obie osie pociągowe, 3) dodać przyrząd za pośrednictwem którego możnaby parę z małych cylindrów wypuszczać wprost do komina, przy jednoczesnym dopływie pary kotłowej wprost do większych cylindrów, z ciśnieniem zredukowanym do 6-u atmosfer.

Zbudowany na tych zasadach parowóz przedstawia się jak następuje (rys. 1 i 2):

Małe cylindry (340 mm średnicy) wysokiego ciśnienia są przytwierdzone na zewnątrz ram, wielkie zaś cylindry, rozprężające (530 mm śr.), odlane z jednej sztuki, wewnątrz pod dymnicą; ich skrzynki parowe, dla ułatwienia rewizji, są obrócone na zewnątrz ku górze. Para, po wykonaniu pracy w małych cylindrach, przechodzi do wspólnej komory, pod dymnicą, z której udaje się do wielkich cylindrów. Cylindry te działają na pierwszą oś pociągową położoną przed paleniskiem, gdy małe cylindry zewnętrzne na tylną, położoną za paleniskiem, które w porównaniu z parowozem № 2101 zostało skróconem. Maksimum sił działających na korby wynoszą dla osi pierwszej 13 235 kg i dla drugiej 12 710 kg. Koła obu tych osi zostały zaopatrzone w piasecznice *Greshama*.

Dla pociągów pośpiesznych jest rzeczą niezmiernie ważną, aby możliwie zmniejszyć straty na czasie podczas zatrzymywania pociągu i ponownego wprawiania go w bieg.

Hamulce ciągle usunęły pierwszą z nich, należałoby jednak przedsięwziąć środki do zmniejszenia drugiej. W tym celu korby obu osi pociągowych, położone po każdej stronie osi parowozu, zamiast być osadzone w linii prostej, t. j. na 180°, co byłoby najkorzystniejszym dla zrównoważenia części ruchomych, tworzą kąt 162°, aby przy ruszaniu z miejsca przyplływ pary przynajmniej do jednego z dwóch cylindrów po każdej stronie był zapewnionym. Z uwagi zaś, że proste dopuszczenie pary kotłowej do rezerwoaru pośredniego nie wystarczyłoby na ruszenie z miejsca przy każdym położeniu tłoków, z powodu znacznej kontrapresji w małych cylindrach, przez odpowiednie kurki, osadzone na rurach prowadzących parę z małych cylindrów do rezerwoaru pośredniego, zapewniono możność wypuszczenia tej pary wprost do komina.

Dzięki tym kurkom, pozwalającym oddzielać od siebie cylindry, maszynista może odpowiednio do potrzeby zapewnić następujące cztery sposoby działania maszyny:

- 1) zwykłe z rozprężaniem sprężonym (compound);
- 2) rozdzielne przy ruszaniu z miejsca, jedną parą cylindrów pod ciśnieniem 14 kg i drugą pod ciśnieniem 6 kg;
- 3) samymi cylindrami małymi w razie uszkodzenia się wielkich, lub nakoniec
- 4) samymi cylindrami wielkimi, w razie uszkodzenia się małych.

Kocioł z blachy żelaznej 18 mm grubości działa pod ciśnieniem 14 kg na 1 cm². Obszerne palenisko, mające 11 m² powierzchni, zawiera dla zwiększenia produkcji pary płaską skrzynkę wypełnioną wodą, czyli tak zwany warnik *Tenbrincka*, którego powierzchnia dodatkowa wynosi 2,8 m²; tym sposobem ogólna powierzchnia ogrzewalna bezpośrednia ma 13,8 m².

Wprawdzie warnik *Tenbrincka*, o ile dobrze funkcjonuje, stanowi bardzo ważną pomoc w wywiązywaniu wielkich ilości pary, trudność jednakże utrzymania go szczelnym, sprawia, że po pewnym czasie usuwają go, zastępując sklepieniem z cegieł ogniotrwałych. I tym razem warnik założono do jednego z parowozów na próbę, w drugim zaś, jednocześnie budowanym, zrobiono kamienne sklepienie.

Parowóz jest zaopatrzony w dwa mechanizmy rozdziału pary systemu *Wolschaerta*, które mogą działać według woli maszynisty, bądź razem, bądź oddzielnie, a to dzięki odpowiedniemu urządzeniu kierownika. Są to właściwie dwa kierowniki śrubowe, równoległe (rys. 3 i 4), poruszane wspólnem kółkiem zamachowem, obsadzonem na śrubie kierownika cylindrów wewnętrznych o niskim ciśnieniu. Kółko zamachowe V, razem ze ściśle z nim złączonem kółkiem zębatarem R, mogą przesuwac się swobodnie po gładkiej części śruby; lub też być na niej utwierdzone za pośrednictwem zatrzasku B, podobnego do spotykanych przy zwykłych kierownikach śrubowych. Drugie kółko zębate R', podobne do pierwszego, i zachodzące w nie swemi zębami, jest zaklinowane na wale drugiej śruby kierownika cylindrów zewnętrznych wysokiego ciśnienia.

Gdy kółko zębate V jest utwierdzone na swej osi przez zatrzask B, to obracając je, otrzymujemy poczynając od punktów martwych jednakowy stopień przyplwy do obu par cylindrów, co mianowicie z maksymalnym otwarciem dokonywa się przy ruszaniu z miejsca. Podczas jazdy różne stopnie przyplwy pary do małych cylindrów, mogą być osiągnięte bez

¹⁾ Por. Przegląd Techniczny z r. 1890: „Parowozy na wystawie Paryskiej“.

zmiany rozprężania w wielkich cylindrach, przez proste obracanie kółka V, po otworzeniu zatrasku.

Wiązanie maszyny stanowią dwie ramy boczne z pojedynczej blachy żelaznej 28 mm grubej, mocno związane między pierwszą osią pociągową i drugą osią wózka, rodzajem lanej skrzynki stalowej 680 mm długości, na której są zawieszone części mechanizmu rozdzielczego pary.

Wózek zwrotny, którego ramy są umieszczone na zewnątrz kół, nie posiada przesuwalności bocznej.

Oś kolanowa systemu *Worsdella*, ma korby w kształcie okrągłych krążków, co pozwala zmniejszyć grubość ramion korby bez ujemny dla ich wytrzymałości, a zarazem ułatwia całe wykonanie.

Parowóz jest zaopatrzony hamulcem próżniowym, którego dwa (ejektory) smoczki znajdują się w dymnicy. Na klocki hamulcowe obu par kół pociągowych działają dwa bębny próżniowe systemu *Hardy'ego* umieszczone na przodzie tendra.

Tender sześciokołowy zawierający 14 m³ wody i 4 tonny węgla, jest opatrzony hamulcem, działającym na wszystkie koła, poruszany również przez dwa bębny próżniowe.

Obserwacje przeprowadzone nad działaniem tych maszyn przekonały o niezwykłej łatwości z jaką są one w stanie nadać pociągowi normalną szybkość jazdy, która na pochyłości 5‰ ciągnącej się bez przerwy na 20 km wynosiła:

dla pociągu ważącego 140 tonn (bez parowozu i tendra) 85 km na godzinę,

dla pociągu ważącego 200 tonn (bez parowozu i tendra) 75 km na godzinę.

Prowadząc pierwszy z takich pociągów przebiegają odległość 131 km z Paryża do Amiens w 1 godz. 30 minut; z drugim pociągiem odległość 153 km z Paryża do St. Quentin w ciągu dwóch godzin.

Zużycie węgla w ciągu 3 miesięcy obserwacji wynosiło dla nowych parowozów po 9,025 kg na 1 km pociągowy, gdy dla dawnych w tymże czasie po 10,55, zatem osiągnięta tu oszczędność wynosiła 14,45%.

Zużycie wody podczas przebieżonych 153 km (Paryż—St. Quentin) wynosiło dla nowych parowozów 8 900 litrów czyli po 58,17 litr. na kilometr, gdy dla starych po 11 600 litrów czyli po 75,8 litrów na kilometr, na wodzie zatem osiągnięto 23,26% oszczędności.

Podobnego typu lecz odmienny co do szczegółów konstrukcyjnych jest parowóz pospieszny dr. żel. węgierskich rządowych zbudowany w końcu 1890 roku. I tutaj potrzeba silniejszych parowozów do coraz cięższych pociągów pospiesznych, bardzo uczęszczanych zwłaszcza od czasu zaprowadzenia taryf strefowych, zmusiła uciec się do systemu sprzężonego, o dwóch parach cylindrów parowych, położonych symetrycznie po obu stronach parowozu.

Zadanie konstrukcyjne nowych parowozów polega na prowadzeniu pociągu wagi 160 tonn po pochyłości 6,7‰, tudzież po częstych, przykrych łukach z prędkością 60 km, na poziomie zaś z prędkością 80 km na godzinę, używając do opalu węgla brunatnego, produkującego zaledwie 5 km pary na 1 kg paliwa. Dalsze warunki stanowiły, że parowozy te mają się obracać na tarczach o średnicy 13,5 m i wywierać nacisk maksymalny jednej osi na szyny nie wyżej nad 14 tonn.

W rozwiązaniu tego zadania widzimy (rys. 5) wyraźne kierowanie się wzorami dróg francuskich zwłaszcza Północnej. Z uwagi jednak na niski gatunek paliwa należało zbudować kocioł z bardzo obszernym paleniskiem, które ma aż 2 658 mm długości w świetle, a 12 m² powierzchni ogrzewalnej. Miedziane ściany skrzyni ogniowej są usztywnione tyblami z miękkiego żelaza zlewnego, również z żelaza zlewnego jest płaszcz paleniska i część walcowa kotła, a także rury płomienne; te ostatnie z miedzianymi sztucerkami od strony paleniska. Ciśnienie pary 13 atm. Otwór drzwiczkowy jest wykonany według systemu *Webba* przez znitowanie wywiniętej blachy paleniska ze ścianą płaszcza. Dla zabezpieczenia przeciw ochładzaniu się część walcowa kotła jest opatrzona drewnianym pokrowcem, utrzymywanym w odległości 3—4 cm, za pomocą żelaznych żeber otaczających kocioł. Dopiero ten pokrowiec drewniany jest na zewnątrz pokryty blachą.

Ważną rolę przy zastosowaniu krajowego lignitu węgierskiego jako paliwa, stanowi amerykański system dymnicy i iskrochronu, który użyty na wielu parowozach węgierskich

zabezpiecza lepiej od wszelkich innych urządzeń do wyrzucania iskiei.

Obszerna budka maszynisty ma okna z drewnianymi ramami, dla uniknięcia nieprzyjemnego podczas jazdy brzęczenia, wszystkie rękojeści całej armatury, dla ochrony od rozpalenia są także drewniane.

Jak wspomnieliśmy wyżej, po każdej stronie parowozu znajduje się po parze cylindrów wysokiego i niskiego ciśnienia, umieszczonych jeden za drugim o wspólnym drągu tłokowym, na którym tłok małego cylindra jest naszwesowanym, a wielkiego osadzony na klin. Cylindry te działają na ustawione pod kątem prostym względem siebie dwie korby osi pociągowej przypadającej przed skrzynią ogniową.

Do zastosowania 4-ch cylindrów zmusił tu ulubiony na drogach austriackich system *Halla* ram parowozowych położonych na zewnątrz kół, przy którym wielki cylinder niskiego ciśnienia, przymocowany na zewnątrz ramy, wychodziłby po za granice normalnego konturu poprzecznego. Przyjęta konstrukcja oprócz zachowania zalet systemu *Halla* polegających na niskim umieszczeniu środka ciężkości kotła, zapewniła spokojny bieg parowozu przez rozmieszczenie symetryczne jednakowych mas ruchomych, a zarazem dała możność silnego ruszania pociągu z miejsca. Przód parowozu wspiera się na wózku zwrotnym czterokołowym. Ramy główne z pojedynczej blachy z miękkiego, zlewnego żelaza mają wykroje przeznaczone do pomieszczenia maźnic osiowych, wzmocnione ramami z lanej stali. Przednia część parowozu wspiera się na wózku za pośrednictwem stalowej półkuli umieszczonej na poprzeczniku ram głównych, która może się swobodnie obracać w wylanej białym metalem panewce wózka. Ta konstrukcja zapewnia jednostajne rozłożenie ciężaru na koła potoczne i resory. Resory według systemu belgijskiego składają się z płytek płaskich, w złożonym zatem parowozie nabierają odwrotnej strzałki wygięcia.

Obie pary cylindrów, odlane każda z jednej sztuki, są połączone rurą, na której umieszczony wentyl doprowadza do niej automatycznie świeżą parę kotłową w chwili, gdy otwieramy regulator. Tym sposobem przy ruszaniu z miejsca otrzymujemy jednocześnie świeżą parę tak do małych jak i wielkich cylindrów, para jednak przyływająca do większych cylindrów przechodzi przez reduktor obniżający jej prężność do 7 atm.

Rozdział pary dokonywa się za pomocą kulisy *Wolschoerta*, działającej na zwykłe szufladki. Kierownik o potrójnym gwincie pozwala szybko nastawić mechanizm na żądany stopień rozprężania.

Drugi korbowe i wiązary wyrobione z miękkiej stali o przekroju I, mają w swych główkach stałe panewki bronzowe bez żadnych klinów.

Przed kołami pociągowymi umieszczono piasecznicę systemu *Greshama*, w której jednak zamiast pary zwilżającej piasek, z daleko lepszym rezultatem zastosowano ściśnione powietrze z głównego zbiornika hamulca *Westinghouse'a*. Hamulec ten oprócz kół tendrowych naciska także na koła pociągowe parowozu. Do kontrolowania szybkości jazdy służy ogólnie przyjęty na drogach węgierskich przyrząd *Petri*. Smarowanie cylindrów i suwaków dokonywa się automatycznie za pomocą oliwiarek systemu *Kordina*, inżyniera głównego warsztatów kolejowych w Peszcie, którego również konstrukcyi rura wylotowa opatrzona jest klapą zapewniającą przyływ czystego powietrza do cylindrów podczas jazdy bez pary, a to dla uniknięcia wciągania popiołów i sadzy z dymnicy.

Tender trzyosiowy dźwiga olbrzymią skrzynię wodną objętości 17 m³ i 8 tonn paliwa. Zapas ten wody wystarcza na 2½ godziny najbardziej wysiłonej pracy. Ramy wiązania spodniego tendra są podobnie jak w parowozie zewnętrzne, resory również z płaskich płytek.

Próba tego parowozu została wykonana w trudnych okolicznościach, gdyż w miesiącu grudniu r. 1890 przy silnym mrozie 27° C., na linii górskiej Buda-Peszt-Rutka. Zgodnie z programem parowóz, świeżo wypuszczony z warsztatów, jeszcze nie obtarty, prowadził pociąg złożony z 11 wagonów I i II klasy, ogólnego ciężaru 160 tonn, z prędkością 80 km na godzinę po poziomie à 60 km na pochyłości 6,7‰.

Na gorzystym odciepie drogi odbyto próbę z cięższym pociągiem złożonym z 10 wagonów ogólnej wagi 125 tonn, cięższym jednak o 20% od dotychczasowych pociągów normalnych, z którym parowóz przebiegał pochyłości 16‰ na przestrze-

niach 20 i 35 km z prędkością od 31 do 37 km na godzinę. Nadmienić też należy, że 80% całej tej drogi składa się z łuków o promieniu zaledwie 275 m.

Bieg parowozu tak na poziomie, jak na pochyłościach i łukach był spokojnym i łatwym, bez szkodliwych dla siebie i drogi wstrząszeń, ani parcia bocznego na szyny. Praca indykowana dochodziła w małych cylindrach do 396, a w większych do 536 koni, razem zatem do 932 koni.

W poniższej tabliczce przytaczamy wymiary główne obu wyżej opisanych parowozów, które dają możność ich porównania.

	Parowóz	
	d. ż. Północnej francuskiej	d. ż. rządowej węgierskiej
Średnica cylindrów wysokiego ciśnienia	340 mm	370 mm
„ „ niskiego	530 „	550 „
Stosunek powierzchni tłoków	2,42 „	2,3 „
Skok tłoka	640 „	650 „
Średnica kół pociągowych	2114 „	2000 „
„ „ potocznych	1040 „	1050 „
Ciśnienie pary w kotle (sztuczne)	14 kg	13 atm.
Maksimum siły pociągowej (przy działaniu sprzężonym)	5070 mm	5100 kg
Powierzchnia rusztu	204 m ²	3 m ²
Liczba rur płomiennych	202	188
Ich średnica zewnętrzna	45 mm	52 mm
Długość rur między ścianami sitowemi	3900 „	4000 „
Powierzchnia zewnętrzna rur płomiennych	98,98	122,9 m ²
Powierzchnia ogrzewal. ścian paleniska	10,87	12 „
Powierzchnia skrzynki wodnej <i>Tenbrincka</i>	2,70	—
Razem powierzchni ogrzewalnej	112,55	134,9 „
Cieężar parowozu próżnego	43,80 tonn	50 tonn
„ „ czynnego	47,80 „	54,4 „
Ciśnienie kół pociągowych na szyny	30,50 „	27,9 „
Tender:		
Objętość wody	14,16 m ³	17 m ³
Ilość węgla	4 tonny	8 tonn
Cieężar tendra próżnego	15,0	15,5 „
„ „ gotowego do jazdy	33,60	40,5 „

Powyższe zestawienie głównych wymiarów daje parowozowi francuskiemu pierwszeństwo, co do osiągniętego rezultatu produkcji pracy, przy względnie słabszych wymiarach i mniejszym ciężarze ogólnym. Przewaga ta została osiągniętą nie tylko przez przygotowanie go do lepszego gatunku paliwa, niż przewidywane dla parowozu węgierskiego, ale także i przez wyższy stopień prężności pary w kotle, i na koniec przez znacznie obciążenie kół pociągowych. Gdy bowiem na parę osi wiodących w parowozie francuskim przypada 30,5 tonny, w węgierskim tylko 27,9. Ważny hamulec w rozwoju konstrukcji parowozów stanowi słabość relsów na drogach należących do związku technicznego, niemieckiego, które nie pozwalają nacisku jednego koła większego nad 7 tonn.

Olbrzymi w ostatnich czasach postęp tak w szybkości jazdy, jak i w ciężarze pociągów na drogach angielskich, belgijskich i francuskich, pozostaje w bezpośrednim związku ze znacznie zwiększoną tam wytrzymałością i ciężarem budowy wierzchniej drogi żelaznej, która u nas w ciągu ostatnich lat kilkunastu pozostaje prawie stale na jednym poziomie. Jeśli chcemy choć za lat dziesięć jeździć szybko i bezpiecznie, powinniśmy niezwłocznie przystąpić do stopniowej wymiany naszych relsów na mocniejsze i cięższe.

L. W.

O STOSOWANIU METODY NAJMNIEJSZYCH KWADRATÓW

w praktyce geodezyjnej.

W szeregu znaczniejszych robót podjętych w ostatnich latach w Warszawie, na uwagę zasługuje nowy pomiar War-

szawy dokonywany obecnie w celu sporządzenia szczegółowego planu miasta. Ze względu na szeroki zakres, jakim praca ta odznaczać się będzie, zamierzamy podać tu niektóre szczegóły, pozostawiając jednakże wyczerpujące sprawozdanie aż do czasu zupełnego ukończenia tej roboty.

Zacniemy więc od tryangulacji.

Związek liniowy, służący mający dla szczegółowego pomiaru, oparty został na sieci trójkątów w ten sposób założonych, iż stanowią pięciokąt, wewnątrz którego obrany punkt na szczycie kościoła Ewangelickiego stanowi wspólny wierzchołek wszystkich trójkątów. Pozostałe zaś punkty są następujące: pomnik w gminie Czyste, punkt obrany przy miasteczku Powązki, punkt na koszarach w Aleksandrowskiej cytadeli, pomnik w Grochowie i punkt na domu № 1761^a przy ulicy Bagatela.

Za podstawę przyjęto bok idący od pomnika w gminie Czyste przez pole Mokotowskie do punktu na domu № 1761^a przy ulicy Bagatela. Pomijając tu sam opis mierzenia podstawy, zaznaczamy tylko, iż po sześciokrotnym mierzeniu przystąpiono do obliczenia długości podstawy, która wypadła równą 4668,55 metrom.

Na wymienionych powyżej punktach zostały wzniesione rusztowania i urządzone stanowiska, następnie dokonane odmiary kątów, pomimo licznych trudności połączonych z mierzeniem kątów na tak znacznej wysokości, jak szczyt kościoła Ewangelickiego (58 m po nad poziom ulicy).

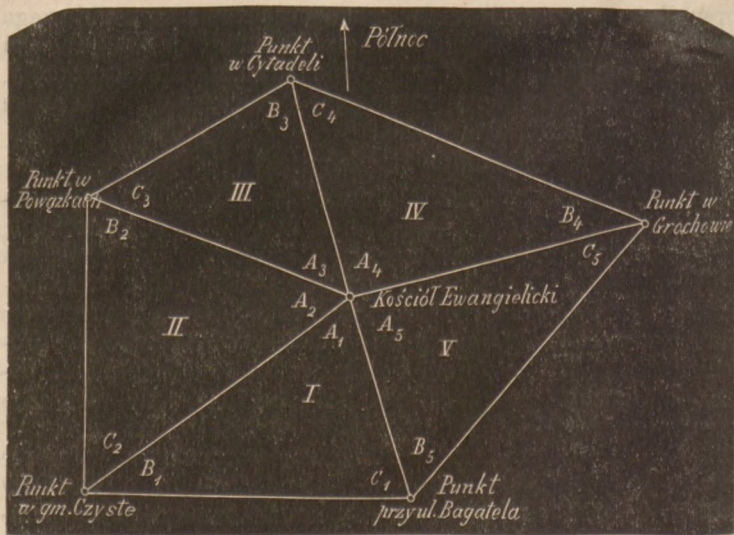
Do mierzenia kątów głównych użyty był teodolit zakładu *Hahna* w Kassel, z kołem poziomem o średnicy 30 cm i z noniuszami o podziałce do 5". Średnie odmiany tych kątów wyprowadzone z wielokrotnych obserwacji za pomocą metody powtarzania i mierzenia kątów w okrąg, są następujące:

$$\begin{aligned}
 &\text{trójkąt I} \begin{cases} A_1 = 74^\circ 8'56'' \\ B_1 = 37^\circ 34'23'' \\ C_1 = 68^\circ 16'45'' \end{cases} \\
 &\qquad\qquad\qquad 180^\circ 0' 4''; \quad \text{błąd w sumie kątów } f_1 = -4''; \\
 &\text{„ II} \begin{cases} A_2 = 56^\circ 3'17'' \\ B_2 = 70^\circ 30'28'' \\ C_2 = 53^\circ 26'20'' \end{cases} \\
 &\qquad\qquad\qquad 180^\circ 0' 5''; \quad \text{„ „ } f_2 = -5''; \\
 &\text{„ III} \begin{cases} A_3 = 53^\circ 35'27'' \\ B_3 = 75^\circ 38'24'' \\ C_3 = 50^\circ 46'12'' \end{cases} \\
 &\qquad\qquad\qquad 180^\circ 0' 3''; \quad \text{„ „ } f_3 = -3''; \\
 &\text{„ IV} \begin{cases} A_4 = 89^\circ 3'49'' \\ B_4 = 36^\circ 58' 0'' \\ C_4 = 53^\circ 58'11'' \end{cases} \\
 &\qquad\qquad\qquad 190^\circ 0' 0''; \quad \text{„ „ } f_4 = 0''; \\
 &\text{„ V} \begin{cases} A_5 = 87^\circ 8'34'' \\ B_5 = 56^\circ 16'54'' \\ C_5 = 36^\circ 34'33'' \end{cases} \\
 &\qquad\qquad\qquad 180^\circ 0' 1''; \quad \text{„ „ } f_5 = -1''.
 \end{aligned}$$

Zestawiając kąty mierzone w punkcie środkowym, otrzymamy:

$$\begin{aligned}
 A_1 &= 74^\circ 8'56'' \\
 A_2 &= 56^\circ 3'17'' \\
 A_3 &= 53^\circ 35'27'' \\
 A_4 &= 89^\circ 3'49'' \\
 A_5 &= 87^\circ 8'34''
 \end{aligned}$$

360° 0' 3"; czyli że błąd w sumie kątów V = -3".



Zważywszy, że nadmiar sferyczny w największym z trójkątów nie przenosi 0,05", możemy trójkąty te rozpatrywać jako płaskie.

Przystępując teraz do odszukania prawdopodobnych błędów w każdym kącie oddzielnie, użyjemy metody najmniejszych kwadratów i w tym celu wyprowadzimy wzory ogólne dla wielokąta mającego n boków i zbudowanego w około jednego punktu środkowego.

Przy wyprowadzaniu poniższych wzorów przyjęliśmy następujące oznaczenia:

Równania, z których błędy wyznaczyć się dają, są następujące:

A_1, B_1, C_1 kąty w 1-ym trójkącie, A_2, B_2, C_2 kąty w 2-im trójkącie i t. d.; A_1, A_2, \dots, A_n są kąty mierzone w punkcie środkowym, jak to widać na załączonej figurze;

x_1, y_1, z_1 błędy prawdopodobne w kątach A_1, B_1 i C_1 ;

x_2, y_2, z_2 " " " " A_2, B_2 i C_2 ;

x_3, y_3, z_3 " i t. d.;

β_1, γ_1 różnice dla $\log \sin B_1$ i $\log \sin C_1$ przy zmianie kąta o jedną sekundę;

β_2, γ_2 różnice dla $\log \sin B_2$ i $\log \sin C_2$ przy zmianie kąta o jedną sekundę;

γ_3, γ_3 różnice i t. d.;

f_1 błąd w sumie kątów 1-go trójkąta;

f_2 " " " 2-go " i t. d.;

v " " " w punkcie środkowym;

t wartość wyrażenia $\sum_1^n \lg \sin C - \sum_1^n \lg \sin B$.

Równania, z których błędy wyznaczyć się dają, są następujące:

$$\left. \begin{aligned} x_1 + y_1 + z_1 &= f_1 \\ x_2 + y_2 + z_2 &= f_2 \\ \vdots &\vdots \\ x_n + y_n + z_n &= f_n \end{aligned} \right\} \dots \dots \dots (1)$$

$$x_1 + x_2 + \dots + x_n = v \dots \dots \dots (2)$$

$$\sum_1^n \beta y - \sum_1^n \gamma z = t^*) \dots \dots \dots (3)$$

$$\sum_1^n (x^2 + y^2 + z^2) = \text{minim.} \dots \dots \dots (4).$$

*) Równanie to wyprowadza się w następujący sposób: zważywszy, że $A_1 + x_1, B_1 + y_1, C_1 + z_1$ i t. d. są kąty wolne od błędów, związek między tymi kątami, zachodzący w danym wielokącie, daje się wyrazić przez wzór:

$$\frac{\sin(C_1 + z_1) \sin(C_2 + z_2) \dots \sin(C_n + z_n)}{\sin(B_1 + y_1) \sin(B_2 + y_2) \dots \sin(B_n + z_n)} = 1.$$

Logarytmując, otrzymamy $\sum_1^n \lg \sin(C + z) - \sum_1^n \lg \sin(B + y) = 0$;

albo też $\sum_1^n \lg \sin C + \sum_1^n \gamma z - \sum_1^n \lg \sin B - \sum_1^n \beta y = 0$;

oznaczając $\sum_1^n \lg \sin C - \sum_1^n \lg \sin B$ przez t , otrzymamy

$$\sum_1^n \beta y - \sum_1^n \gamma z = t; \quad (3).$$

Rugując z tych równań x , otrzymamy:

$$\sum_1^n y + \sum_1^n z = \sum_1^n f - v \dots \dots \dots (5)$$

$$\sum_1^n \beta y - \sum_1^n \gamma z = t \dots \dots \dots (6)$$

$$\sum_1^n (y + z - f)^2 + \sum_1^n y^2 + \sum_1^n z^2 = \text{minim.} \dots \dots \dots (7).$$

Przez różniczkowanie równań powyższych przedstawia się one w następujący sposób:

$$\sum_1^n dy + \sum_1^n dz = 0 \dots \dots \dots (8)$$

$$\sum_1^n \beta dy - \sum_1^n \gamma dz = 0 \dots \dots \dots (9)$$

$$\sum_1^n (2y + z - f) dy + \sum_1^n (y + 2z - f) dz = 0 \dots \dots \dots (10).$$

Chcąc rozwiązać równania te, pomnożymy pierwsze z nich przez $3P$ a drugie $3Q$ i dodamy:

$$\sum_1^n (3P + 3\beta Q) dy + \sum_1^n (3P - 3\gamma Q) dz = 0 \dots \dots \dots (11).$$

Z porównania ostatnich dwóch równań, to jest (10) i (11), wynikają następujące równania:

$$\left. \begin{aligned} 2y_1 + z_1 - f_1 &= 3P + \beta_1 Q \\ y_1 + 2z_1 - f_1 &= 3P - \gamma_1 Q \end{aligned} \right\} \quad (I)$$

$$\left. \begin{aligned} 2y_2 + z_2 - f_2 &= 3P + \beta_2 Q \\ y_2 + 2z_2 - f_2 &= 3P - \gamma_2 Q \end{aligned} \right\} \quad (II)$$

$$\left. \begin{aligned} 2y_n + z_n - f_n &= 3P + \beta_n Q \\ y_n + 2z_n - f_n &= 3P - \gamma_n Q \end{aligned} \right\} \quad (n)$$

ilość ich jest $2n$, i z każdego dwóch dają się określić wzory dla y i z ; następnie z równań (1) otrzymujemy wzory dla x . Będzie więc:

$$\left. \begin{aligned} y_1 &= \frac{f_1}{3} + P + Q(2\beta_1 + \gamma_1) \\ z_1 &= \frac{f_1}{3} + P - Q(\beta_1 + 2\gamma_1) \\ x_1 &= \frac{f_1}{3} - 2P - Q(\beta_1 - \gamma_1) \end{aligned} \right\} \text{ I trójkąt } (12^a)$$

$$\left. \begin{aligned} y_2 &= \frac{f_2}{3} + P + Q(2\beta_2 + \gamma_2) \\ z_2 &= \frac{f_2}{3} + P - Q(\beta_2 + 2\gamma_2) \\ x_2 &= \frac{f_2}{3} - 2P - Q(\beta_2 - \gamma_2) \end{aligned} \right\} \text{ II trójkąt } (12^b)$$

$$\left. \begin{aligned} y_n &= \frac{f_n}{3} + P + Q(2\beta_n + \gamma_n) \\ z_n &= \frac{f_n}{3} + P - Q(\beta_n + 2\gamma_n) \\ x_n &= \frac{f_n}{3} - 2P - Q(\beta_n - \gamma_n) \end{aligned} \right\} n\text{-ty trójkąt } (12^n)$$

We wzorach tu przytoczonych wyznaczono x, y i z w zależności od niewiadomych współczynników P i Q ; wartości tych ostatnich określić się dają z równań (5) i (6), w których za y i z wstawić należy wyprowadzone tu wzory.

Równania te przyjmą kształt następujący:

$$P \sum_1^n (\beta - \gamma) + Q \sum_1^n [\beta^2 + \gamma^2 + (\beta + \gamma)^2] = t - \frac{1}{3} \sum_1^n f(\beta - \gamma) \dots (13)$$

$$2nP + Q \sum_1^n (\beta - \gamma) = \frac{1}{3} \sum_1^n f - v \dots (14).$$

Dla niewiadomych P i Q otrzymujemy stąd następujące wzory:

$$Q = \frac{2tn - \frac{2n}{3} \sum_1^n (\beta - \gamma) f - \frac{1}{3} \sum_1^n f \times \sum_1^n (\beta - \gamma) + v \sum_1^n (\beta - \gamma)}{2n \sum_1^n [\beta^2 + \gamma^2 + (\beta + \gamma)^2] - [\sum_1^n (\beta - \gamma)]^2} \dots (15)$$

$$P = \frac{\frac{1}{3} \sum_1^n f - v - Q \sum_1^n (\beta - \gamma)}{2n} \dots (16).$$

Wzory (15) i (16) rozwiązują zadanie, któreśmy sobie za cel postawili. Rzeczywiście znalazłszy liczebną wartość P i Q , możemy wyznaczyć błędy w każdym kącie oddzielnie za pomocą wzorów (12^a), (12^b) i t. d.

Można ułatwić sobie rozwiązanie tego zadania przez uprzednie tymczasowe rozłożenie błędów tak, aby $f_1 = 0$; $f_2 = 0 \dots f_n = 0$ i $v = 0$.

Przystępując obecnie do zastosowania wzorów tych do układu trójkątów dla pomiaru Warszawy służących, na żadne trudności nie natrafiamy. Rozkładając błędy na kąty poszczególne w równej części i opuszczając tymczasowo dziesiętne sekund, początkowo podane kąty zmieniają się w następujący sposób:

$$\text{trójkąt I} \begin{cases} A_1^0 = 74^\circ 8'55'' \\ B_1^0 = 37^\circ 34'21'' \\ C_1^0 = 68^\circ 16'44'' \end{cases} \quad 180^\circ 0' 0'' ; f_1 = 0$$

$$\text{„ II} \begin{cases} A_2^0 = 56^\circ 3'16'' \\ B_2^0 = 70^\circ 30'26'' \\ C_2^0 = 53^\circ 26'18'' \end{cases} \quad 180^\circ 0' 0'' ; f_2 = 0$$

$$\text{„ III} \begin{cases} A_3^0 = 53^\circ 35'26'' \\ B_3^0 = 75^\circ 38'23'' \\ C_3^0 = 50^\circ 46'11'' \end{cases} \quad 180^\circ 0' 0'' ; f_3 = 0$$

$$\text{„ IV} \begin{cases} A_4^0 = 89^\circ 3'49'' \\ B_4^0 = 36^\circ 58' 0'' \\ C_4^0 = 53^\circ 58'11'' \end{cases} \quad 180^\circ 0' 0'' ; f_4 = 0$$

$$\text{„ V} \begin{cases} A_5^0 = 87^\circ 8'34'' \\ B_5^0 = 56^\circ 16'54'' \\ C_5^0 = 36^\circ 34'32'' \end{cases} \quad 180^\circ 0' 0'' ; f_5 = 0$$

$$A_1^0 = 74^\circ 8'55''$$

$$A_2^0 = 56^\circ 3'16''$$

$$A_3^0 = 53^\circ 35'26''$$

$$A_4^0 = 89^\circ 3'49''$$

$$A_5^0 = 87^\circ 8'34''$$

$$360^\circ 0' 0'' ; v = 0.$$

a wzory (15 i 16) zastąpić się dadzą przez mniej złożone:

$$Q = \frac{2tn}{2n \sum_1^n [\beta^2 + \gamma^2 + (\beta + \gamma)^2] - [\sum_1^n (\beta - \gamma)]^2} \dots (17)$$

$$P = \frac{-Q \sum_1^n (\beta - \gamma)}{2n} \dots (18).$$

Przy obliczaniu należy za głoski podstawić następujące wartości:

$$n = 5$$

$$t = \sum_1^5 \lg \sin C^0 - \sum_1^5 \lg \sin B^0 = 45,3 \text{ w jednościach 7-go}$$

dziesiętnego miejsca; w tych samych jednościach podane są różnice logarytmiczne i funkcyje ich podług następującej tabelki:

β	γ	β^2	γ^2	$\beta + \gamma$	$(\beta + \gamma)^2$	$\beta - \gamma$
27,4	8,4	750,76	70,56	35,8	1281,64	19,0
7,4	15,6	54,76	243,36	23,0	529,00	- 8,2
5,4	17,2	29,16	295,84	22,6	510,76	-11,8
28,0	15,3	784,00	234,09	43,3	1874,89	12,7
14,1	28,4	198,81	806,56	42,5	1806,25	-14,3

Z danych powyższych otrzymujemy:

$$\sum_1^5 \beta^2 = 1817,49$$

$$\sum_1^5 \gamma^2 = 1650,41$$

$$\sum_1^5 (\beta + \gamma)^2 = 6002,54$$

$$\sum_1^5 (\beta - \gamma) = - 2,6 ; \quad [\sum_1^5 (\beta - \gamma)]^2 = 6,76 ;$$

a zatem

$$Q = \frac{453}{18174,9 + 16504,1 + 60025,4 - 6,76} = 0,0047836$$

$$P = \frac{2,6 \times 0,0047836}{10} = 0,001243736.$$

Za pomocą wiadomych P i Q otrzymujemy dalej:

$$y_1 = + 0,00124374 + 0,0047836 (54,8 + 8,4) = 0,303''$$

$$z_1 = + 0,00124374 - 0,0047836 (16,8 + 27,4) = - 0,210''$$

$$x_1 = - 0,093''$$

$$y_2 = + 0,00124304 + 0,0047836 (14,8 + 15,6) = 0,147''$$

$$z_2 = + 0,00124374 - 0,0047836 (31,2 + 7,4) = - 0,183''$$

$$x_2 = + 0,036''$$

$$y_3 = + 0,00124374 + 0,0047836 (10,8 + 17,2) = 0,135''$$

$$z_3 = + 0,00124374 - 0,0047836 (34,4 + 5,4) = - 0,189''$$

$$x_3 = + 0,054''$$

$$y_4 = + 0,00124374 + 0,0047836 (56 + 15,3) = 0,342''$$

$$z_4 = + 0,00124374 - 0,0047836 (30,6 + 28) = - 0,279''$$

$$x_4 = - 0,063''$$

$$y_5 = + 0,00124374 + 0,0047836 (28,2 + 28,4) = 0,272''$$

$$z_5 = + 0,00124374 - 0,0047836 (56,8 + 14,1) = - 0,338''$$

$$x_5 = + 0,066''.$$

Przy uwzględnieniu tych poprawek ostateczne wartości kątów w układzie trójkątów dla pomiaru Warszawy służących są następujące:

$$A_1^0 + x_1 = 74^\circ 8' 54,907''$$

$$B_1^0 + y_1 = 37^\circ 34' 21,303''$$

$$C_1^0 + z_1 = 68^\circ 16' 43,790''$$

$$180^\circ$$

$$A_2^0 + x_2 = 56^\circ 3' 16,036''$$

$$B_2^0 + y_2 = 70^\circ 30' 26,147''$$

$$C_2^0 + z_2 = 53^\circ 26' 17,817''$$

$$180^\circ$$

$$A_3^0 + x_3 = 53^\circ 35' 26,054''$$

$$B_3^0 + y_3 = 75^\circ 38' 23,135''$$

$$C_3^0 + z_3 = 50^\circ 46' 10,811''$$

$$180^\circ$$

$$A_4^0 + x_4 = 89^\circ 3' 48,937''$$

$$B_4^0 + y_4 = 36^\circ 58' 0,342''$$

$$C_4^0 + z_4 = 53^\circ 58' 10,721''$$

$$180^\circ$$

$$A_5^0 + x_5 = 87^\circ 8' 34,066''$$

$$B_5^0 + y_5 = 56^\circ 16' 54,272''$$

$$C_5^0 + z_5 = 36^\circ 34' 31,662''$$

$$180^\circ$$

Za pomocą tych kątów i podanej już wyżej podstawy, dają się obrachować długości boków, których jest 10, podajemy je tutaj w metrach:

Punkt przy ulicy Bagatela — pomnik w gminie Czyste (podstawa)	= 4668,55
Pomnik w gm. Czyste — punkt na Powązkach	= 3967,52
Punkt na Powązkach — punkt w Cytadeli	= 3191,32
Punkt w Cytadeli — pomnik w Grochowie	= 5107,18
Pomnik w Grochowie — punkt przy ul. Bagatela	= 4960,01
Kościół Ewangelicki — punkt przy ul. Bagatela	= 2959,25
" " — pomnik w gm. Czyste	= 4508,51
" " — punkt na Powązkach	= 3841,48
" " — punkt w Cytadeli	= 3071,62
" " — pomnik w Grochowie	= 4130,76

Pozostaje nam jeszcze podać współrzędne głównych punktów względem kościoła Ewangelickiego, przyjętego za początek układu osi współrzędnych.

Dane z tryangulacji kraju, dokonanej przez generała *Tennera*, dostarczyły materiału dla obliczenia azymutu linii, idącej od środka kopuły wschodniej Obserwatorium Astronomicznego do cerkwi prawosławnej na Woli. Przez połączenie układu trójkątów z dwoma temi punktami, możebnem było wyznaczyć kierunek południka przechodzącego przez kościół Ewangelicki, jak również porównać długość linii wyznaczoną z obecnego pomiaru z długością linii podaną przez generała *Tennera*. Różnica ta wynosi $\frac{1}{50000}$ długości linii, co korzystnie świadczy o dokładności wykonanych obecnie robót.

Oto są współrzędne punktów głównych, przy obliczeniu których przyjęto dla linii idącej od kościoła Ewangelickiego do pomnika w gminie Czyste azymut równym $236^\circ 16' 45''$, licząc go od północy przez wschód. Stosownie do tego $+X$ oznacza północ, a $+Y$ wschód.

Kościół Ewangelicki	$X = 0$	$Y = 0$
Punkt na domu № 1761 ^a przy ul. Bagatela	$X = -2816,49$	$Y = +908,04$
Pomnik w gm. Czyste	$X = -2502,88$	$Y = -3749,96$
Punkt na Powązkach	$X = +1459,76$	$Y = -3553,32$
Punkt w Cytadeli	$X = +2979,40$	$Y = -747,03$
Pomnik w Grochowie	$X = +1069,97$	$Y = +3989,78$

W końcu wspomnieć wypada, że główne te punkty posłużyły za podstawę do wyznaczenia położenia wielkiej ilości

punktów drugorzędnych, jako to: szczytów kościołów, wież, kominów fabrycznych i t. p. gęsto rozsianych w mieście i w okolicach Warszawy.

W dalszym ciągu tej pracy podamy sposoby stosowania metody najmniejszych kwadratów do obliczania punktów drugorzędnych.

H. Hopfenblum, inżynier.

O PONOWNEM NACINANIU PILNIKÓW I ZASTOSOWANIU PILNIKÓW PŁYTKOWYCH.

PRZEZ

inż. Józefa Goffin.

Miedzy licznymi narzędziami codziennego użytku, pilnik bezsprzecznie zajmuje bardzo poważne miejsce w różnych gałęziach przemysłu, opartego na obróbce metali.

Pozornie narzędzie to nie zdaje się należeć do arcyważnych, w rzeczywistości jednak sprawa przedstawia się nieco inaczej, zwłaszcza gdy się weźmie pod uwagę, że bez pilnika nie są w stanie obywać się zarówno nasze wielkie zakłady mechaniczne, kotłownie, mostownie i t. d., jak i najmniejsze ślusarnie.

Nie można przeto się dziwić, że pomysłowość mechaników sili się już oddawna nad tem, by wynaleść sposób jak najtańszego wyrobu pilników, i co za tem idzie, najkorzystniejszego ich użytkowania; nie ulega bowiem zaprzeczeniu, że pilnik jest narzędziem bardzo kosztownem nie tylko z tego powodu, iż się obsługuje ręką ludzką, lecz jednocześnie i z tego względu, iż się zużywa stosunkowo prędko, a po zużyciu wymaga bądź wymiany na nowy, bądź nacięcia ponownego.

To też nie bez słuszności kierownicy warsztatów oraz zakładów mechanicznych starają się usilnie ograniczyć do możliwych granic zastosowanie pilników, zastępując je bądź heblarkami, bądź tarkami szmerglowemi. Z tem wszystkiem pilniki nie przestały jeszcze odgrywać poważnej roli w obróbce metali; wypadło zatem z kolei następstwa uciec się do zmniejszenia kosztów ich wyrobu przez wprowadzenie mechanicznego sposobu nacinania. Na nieszczęście maszyny pomyślane w tym celu, pomimo ciągłych ulepszeń, nie nadają się jeszcze do zastąpienia ręki ludzkiej przy nacinaniu i bodaj na długo pozostaną jeszcze w tym kierunku niedokładnemi; nie ulega bowiem zaprzeczeniu, że obecnie pilniki maszynowe stoją o wiele niżej od pilników nacinanych ręcznie.

Nie będziemy się zatrzymywać nad opisem tych maszyn, to oddaliłoby nas od celu, jakiśmy sobie założyli. Chodzi nam o to, by się rozejrzeć w pytaniu, czy nie byłoby korzystniej rzec się ponownego nacinania i przejść do pilników swoistej budowy, mało znanych u nas, nie mniej przeto cieszących się od pewnego czasu rozległym zastosowaniem w Niemczech.

Ci, którzy posługują się pilnikiem wiedzą, że powierzchnia nacięta tego narzędzia w krótkim czasie tępieje i zużywa się, szczególnie przy obróbce stali, która znacznie ze względu na swoją wytrzymałość i coraz niższą cenę w bardzo wielu wyrobach zastępuje obecnie żelazo używane dawniej prawie wyłącznie. Pilniki zużyte poddają się, jak wiadomo, ponownemu nacinaniu; nie ulega wszakże wątpliwości, że jeżeli nacinanie pilników znowu pociąga za sobą znaczne koszty, to ponowne nacinanie nie jest bynajmniej tańsze i co gorsza nie pozostaje bez wpływu na wytrzymałość pilników. Postępowanie to bowiem wymaga odhartowania i zahartowania narzędzia, co z istoty rzeczy pozbawia stal pewnych jej własności pierwotnych i sprawia, iż taż stal staje się mniej odpowiednią do użytku tak dalece, iż pilnik ponownie nacięty traci 40—50% pierwotnej wytrzymałości swojej.

W oboc tego rodzaju względów, przemysłowcy już nieraz zastanawiali się nad tem, czyby nie było korzystniej zamiast nacinąć pilniki zużyte, wymieniać je na nowe, a jeżeli tutaj sprawa ponownego nacinania wychodziła zwycięsko, to jedynie tylko z powodu obawy znacznych stosunkowo wydatków jednorazowych.

Elektryczność, którą ostatnimi czasy usiłowano zastosować do wszystkich gałęzi przemysłu, musiała odegrać swoją rolę i w sprawie ponownego nacinania pilników. Mając na celu odnowę pilników zużytych bez ich ogrzewania poprzedniego, elektrotechnicy podali wiele sposobów postępowania w tym kierunku. Z pomiędzy różnych pomysłów, znanych ostatnimi czasy, przytaczamy następujący.

Pilniki zużyte najprzód myją się starannie w stężonym roztworze sody żrącej (bodaj dla usunięcia tłuszczu, pozostającego zwykle między zębami), następnie połączone z biegunem dodatnim stosu złożonego z 8 do 12 ogni *Bunsena* zanurzają się do kąpeli, przyrządzonej z 40 cz. kwasu siarczanego na 1000 cz. wody, biegunem zaś ujemnym tutaj jest drut miedziany, spiralnie zwinięty na około pilników i odosobniony od tych ostatnich.

Po dziesięciu minutach zanurzenia, pilniki wyjmują się, myją, suszą i przeglądają. Jeżeli nacięcia nie są dość głębokie, to się ponownie kładą do tej samej kąpeli.

Oto drugi sposób niedawno patentowany.

Pilniki zużyte i oczyszczone kładą się na 12 godzin do zimnego roztworu (15 do 20%) sody żrącej. Po wyjęciu z tej kąpeli powierzchnie nacięte pilników nacierają się mocno twardą szczotką, następnie pilniki przechodzą do zimnej wody w celu usunięcia sody, który utrudnia działanie elektryczności.

Po tych czynnościach wstępnych pilniki zanurzają się, przy zachowaniu warunków szczegółowo podanych, do kąpeli, zawierającej:

wody	100 objęt.
kwasu azotnego 40%	6 „
„ siarczanego 66%	3 „

Skrzynia, obejmująca kąpiel, posiada dwie ściany szklane i dwie ebonitowe; nadto ustawione są w niej w pewnych odstępach tabliczki węglowe, osadzone u dołu w rowkach podstawy drewnianej, a u góry podtrzymywane blaszkami miedzianymi, które z kolei służą za przewodniki elektr. dla podtrzymywania pilników. Urządzenie takie sprawia że pilniki, jakkolwiek układają się do kąpeli kwaśnej pomiędzy tabliczkami węglowymi, to jednakże pozostają elektrycznie odosobnionymi. Po kąpeli, która powinna trwać około pięciu minut, pilniki płucz się obficie wodą.

Powyższy sposób wydaje się nam i za długi i za bardzo złożony. Zresztą, nastroczają się bardzo poważne wątpliwości co do pomyślnych wyników, otrzymywanych drogą postępowania elektro-chemicznego, tem więcej, że droga ta, przynajmniej jak dotąd, okazała się najzupełniej zawodną. Co więcej, godzi się przypuszczać, że gdyby nawet postępowaniem elektro-chemicznym można było, jak utrzymują wynalazcy, przywrócić pilnikom ich pierwotną ostryść, to jeszcze i w takim razie powodzenie nie byłoby zupełne, albowiem na pilniku brakowałoby zębów wyłamanych, które, jak wiadomo, kruszą się współcześnie z tępieniem pilnika.

Jeżeli więc sprawę ekonomicznego nacinania ponownie pilników nie można uważać za rozwiązana, to biorąc pod uwagę z jednej strony koszt ponownego nacięcia, z drugiej zaś stratę na wytrzymałości, jaką się ponosi względnie do pilników nowych, mamy niejakię prawo postawić pytanie, czy nie byłoby korzystniej szukać sposobu, wyłączającego zupełnie potrzebę ponownego nacinania.

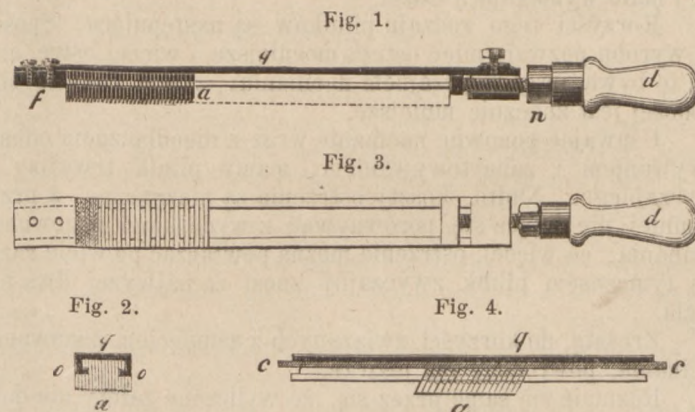
Za urzeczywistnieniem tej ostatniej myśli ubiegano się szczególnie w Niemczech, tam też w istocie urzeczywistniono ją w pomysł pilników płytkowych. Pilniki płytkowe oparto na dwóch różnych zasadach: w jednym razie chodziło o zastąpienie nacinania pilników zwyczajnem ich ostrzeniem na toczydle, w drugim zaś o usunięcie potrzeby nie tylko nacinania, lecz jednocześnie i ostrzenia.

W r. 1884 inżynier *M. L. Müller* w Dreźnie opatentował pilnik wielopłytkowy, oparty na pierwszej z tych zasad.

W tym pomysle powierzchnia nacięta pilnika zastąpiona została przez wiązkę płytek stalowych, ustawionych przy sobie i równoległych do siebie tak, iż razem wzięte tworzą powierzchnię naciętą w kierunku obrzeży wystających, a raczej szereg noży z ostrzami wystającymi. Ostrza te mogą przybierać położenie dowolne, t. j. przy pewnem ustawieniu odpowiadają karbom nacięcia, przy innem zaś tworzą powierzchnię gładką. Słowem, pilnik ten wyróżnia się tem, iż jego powierzchnia robocza może się zmieniać, przybierając raz postać ząbkowaną, właści-

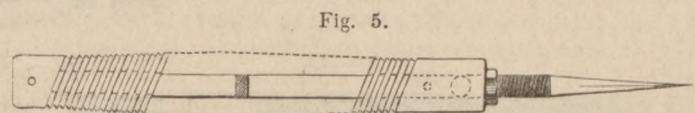
wą pilnikom, to znowu płaską, nadatną do szlifowania na toczydle.

Pilniki *Müllera* wyobrażają figury 1 — 4. Fig. 1 przedstawia przecięcie podłużne pilnika, fig. 2 przecięcie poprzeczne, fig. 3 widok powierzchni roboczej, podczas gdy fig. 4 wskazuje nachylenie płytek przysposobionych do ostrzenia.



Jak widzimy, pilnik *Müllera* składa się z trzech części zasadniczych: z oprawy *q*, wiązki płytek, stanowiących roboczą powierzchnię pilnika *a*, oraz z trzonka *d*. Płytki *a*, ułożone w oprawie *q*, ściskają się między sobą za pomocą nakładki końcowej *f*, tudzież trzonka, zaopatrzonego w śrubę, nadto podtrzymują się wyskokami *o* w oprawie *q*, zazębiającymi nacięcia boczne w płytkach. Płytki posiadają jedną krawędź ściętą skośnie, oraz na jednej ze stron karby. — W obec takiego urządzenia, gdy chodzi o naostrzenie pilnika, to się najprzód rozluźnia śrubę *u*, następnie odejmuje nakładkę *f*, a potem tak się ustawiają płytki, by krawędzie ścięte tworzyły powierzchnię gładką; w celu zaś utrzymania płytek w położeniu nowem, zakłada się listewka pomiędzy płytkami i dnem oprawy.

Układ powyższego pilnika uległ w dalszym ciągu pewnemu ulepszeniu, polegającemu na tem, że zamiast oprawy łożyskowej wprowadzono trzon, na który dopiero nanizano płytki z równo uciętymi brzegami oraz z karbami na jednej stronie. Ulepszenie to, uwidocznione na fig. 5, dokonał niedawno mechanik p. *Kaufhold* w Luxemburgu.



Łatwo sobie wyobrazić, na czym polega słaba strona pilników *Müllera*. Drżenie pilnika w robocie jest właśnie tem złem, które się nie daje usunąć nawet najsilniejszym ściśnięciem płytek pilnikowych. Dopiero p. *Kaufhold* zaradził temu skutecznie w pomysle swego pilnika, który jakkolwiek składa się również z wiązki płytek, to jednak płytki te są już osadzone na trzonie i posiadają powierzchnię boczną nie tak jak w pilniku *Müllera* płaską, lecz wykrepowaną po przekątnej, co sprawia, że płytki, oparte w każdym kierunku, nie powodują oczywiście drżenia.

Pilnik p. *Kaufholda* przedstawiają figury 6 — 10.

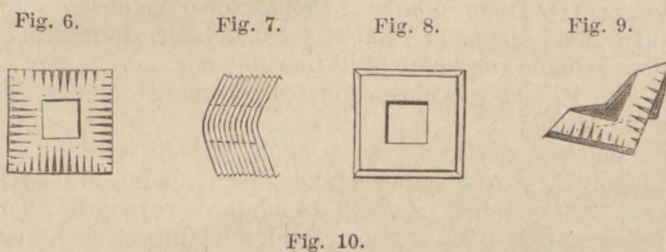


Fig. 6 wyobraża płytkę ze strony czołowej, a fig. 8 ze strony przeciwniej. Na fig. 7 uwidoczniono przecięcie płytek złożonych, na fig. 9 — widok perspektywiczny płytki, wreszcie na fig. 10 mamy ogólny widok pilnika.

Ostrzenie opisanego pilnika dokonywa się na trzonie płaskim o przecięciu mniejszem, co sprawia, że płytki dają się nachylać rozmaicie w celu ustawienia ich krawędzi ściętych do płaszczyzny równoległej z powierzchnią toczydła. Nie zatrzymując się dłużej nad szczegółami samego postępowania tutaj, możemy tylko dodać, że sprawa ostrzenia jest zarówno prostą jak i mało wymagającą czasu.

Korzyści tego rodzaju pilników są następujące: Sposób ich wyrobu pozwala mieć ostrza mocniejsze i więcej ostre, aniżeli to bywa przy zwyczajnem nacinaniu; zatem zużycie siły roboczej jest znacznie mniejsze.

Usuwanie ponowne nacinanie wraz z nieodłącznym odhartowywaniem i zahartowywaniem, mamy pilnik trwalszy od zwyczajnego. Nadto, koszty ostrzenia są nieznaczne, a przynajmniej nie dające się porównywać z wydatkami ponownego nacinania; co więcej, ostrzenie można powtarzać po wiele razy, gdy tymczasem pilnik zwyczajny znosi co najwyżej dwa nacięcia.

Zresztą, do korzyści, związanych z usunięciem ponownego nacinania, powrócimy raz jeszcze.

Rozumie się samo przez się, że wyliczone zalety nie dały się otrzymać inaczej, jak kosztem znacznej różnicy w cenie; różnica ta wypaść może daleko mniejszą, skoro do wyrobu płytek użytymi zostaną sztance.

Cóżkolwiekby, nam się zdaje, że posilkując się nawet tym ostatnim pilnikiem, można już zapewnić sobie poważne oszczędności; z tem wszystkiem trudno nie wyznać, że polem do zastosowania tych pilników pozostaną jedynie roboty grubsze, wymagające pilników ciężkich, grubych, oraz raszpli.

Pilniki płytkowe, dające się zastosować do wszystkich bez różnicy robót, wyrabia Towarzystwo Deutsche Patentfeilenfabrik Meyer, Focke et Co. w Dreźnie. Wynalazcą tych pilników, jeżeli jesteśmy dobrze powiadomieni, jest znany już na tem polu M. L. Müller, inżynier tegoż zakładu.

Ten znowu pomysł pilnika, oparty na innej zasadzie, zaznaczonej już powyżej, wyłącza jak najzupełniej nacinanie ponowne. Układ jego wyobrażają figury 11 i 12, gdzie fig. 11 jest przecięciem podłużnem pilnika płytkowego.

Fig. 11.

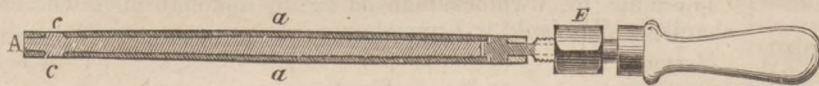


Fig. 12.



Jak widać z rysunku, pilnik składa się z trzona żelaznego, mającego postać pilnika, oraz z płytek *aa* stalowych naciętych, ułożonych na trzonie i stanowiących istotną część pilnika właściwego. Każda płytka posiada na końcach po jednym otworze *f*, za pośrednictwem których zakłada się na czopy *c* o postaci ogona jaskółczego, wystające u góry z powierzchni trzona o tyle, by nie przekraczały grubości płytek. U dołu przy rękojeści płytki umocowują się zarówno na czopach takiej samej postaci jak poprzednio, z tą wszakże zmianą, że gdy pierwsze stanowią z trzonem jedną całość, to te ostatnie występują z głowy śruby, wchodzącej w trzon pilnika i zaopatrzonej na drugim końcu w mutrę *E* do ściągania. Łatwo teraz dojrzeć, że mutra *E* ma tutaj za zadanie rozciągać płytki nacięte *aa*.

Fig. 12 podaje widok z góry pilnika już złożonego i gotowego do użycia.

Ponieważ płytki *aa* są w ogóle bardzo cienkie, a stąd dość łamliwe, przeto zapobiegając złemu, należało im nadać większą wytrzymałość. Zadanie to udało się rozwiązać pomyslnie w ten sposób, iż do wyrobu płytek pilnikowych zastosowano paski, złożone z dwóch blach stalowych, obejmujących wewnątrz blachę żelazną, które następnie spawają się i rozwalcowują do żądanej grubości.

Tą drogą otrzymane płytki w dalszym ciągu nacinają się z obu stron oczywiście w tym celu, by po zużyciu jednej strony można było odwracać i korzystać jeszcze z drugiej; dla ochrony zaś nacięcia nieużywanego od stepienia o trzon żelazny, ten ostatni odosabia się się od płytek za pośrednictwem tekturek cienkich.

Rzecz prosta, że pilniki wszystkich innych postaci, okrągłe, półokrągłe, trójkątne, urządza się zupełnie tak samo, z tą wszakże różnicą, że płytki do takich pilników nacinają się wyłącznie z jednej strony.

Pilniki płytkowe, dopiero co opisane, przedstawiają już zalety daleko poważniejsze. Nieznaczny ciężar płytek cienkich pozwala na użycie do ich wyrobu stali jak najprzedniejszej, pomimo to jednak wartość stali użytej stanowi zaledwo drobną część ogólnych kosztów wyrobu pilników płytkowych.

Z tego powodu, iż się unika odhartowywania oraz zahartowywania, czynności nieodłącznych od nacinania ponownego, kształty pilników, jakoś stali tudzież jej twardość, nie ulegają żadnym przeobrażeniom.

Rzemieślnik, pracując wciąż pilnikiem nowym (nienaciętym ponownie) i dobrym, jest w stanie wykonać daleko więcej robocizny, albowiem ilość wykonanej roboty zależy od sprawności narzędzia, a ta znowu, w odniesieniu do pilnika ponownie naciętego i w obec innych jednakich warunków pracy, wynosi zaledwo 40 do 50% sprawności pilnika nowego.

Że więc za pilnikiem płytkowym przemawiają względy oszczędnościowe, nie ulega wątpliwości.

Pilniki dawniejsze zazwyczaj wycofują się z użycia, już po jednorazowym nacięciu i wówczas przedstawiają wartość odpadków po kilka centymów za kilogram; gdy tymczasem w pilnikach płytkowych, trzon żelazny nie ulega wcale zużyciu i zachowuje zawsze wartość swoją. Koszta zakupu płytek naciętych wynoszą tyleż co i pilnika, a wydatek na jedną płytkę nie przewyższa kosztów nacięcia ponownego pilnika o takich samych wymiarach; okazuje się zatem, że mały wydatek na jedną płytkę, dorównywa kosztom pilnika nowego, przedstawiającego wartość użytkową o 2 razy większą od pilnika już nacinanego.

Oszczędności występują jeszcze pod innymi postaciami. Posilkując się pilnikami zwykłymi, należy koniecznie posiadać zawsze znaczne ilości różnorodnych pilników zapasowych, przeznaczonych do opędzania bieżących potrzeb wymiany w tych razach, kiedy część pilników wycofuje się do ponownego nacinania. Są to zapasy, przedstawiające niekiedy poważny kapitał. Z wprowadzeniem wszakże pilników płytkowych rzecz się zmienia o tyle, iż starczy mieć ilość pilników, a raczej trzonów pilnikowych, odpowiadającą istotnej potrzebie zakładu, a zapasy ograniczają się wyłącznie do płytek pilnikowych.

Wreszcie, zaoszczędzamy również z jednej strony na tem, że się nie ponosi wydatków na przesyłanie pilników tam i z powrotem, przy ich nacinaniu, z drugiej zaś, że się zmniejsza koszt przewozowy oraz celny, albowiem płytki ważą nieporównanie mniej od pilników.

W końcu trudno nie zaznaczyć, że przy obsłudze pilnikami płytkowymi zakład wyzwała się raz na zawsze z uciążliwej zależności od pilnikarzy, nacinających ponownie pilniki, co w każdym razie jest sprawą niemałej wagi zwłaszcza dla tych, którzy wiedzą z doświadczenia o przyjemnościach, towarzyszących wyczekiwaniu zwrotu pilników, oddanych do nacięcia.

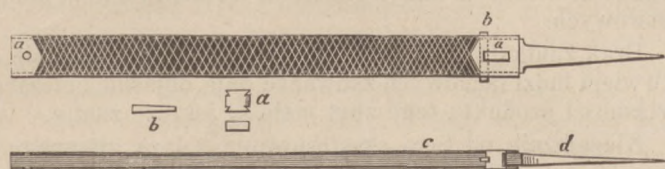
Kończąc powyższy zarys, pozostaje już tylko dodać, że pilnik płytkowy jest w użyciu łatwy i dogodny tak, iż każdy rzemieślnik bez żadnych trudności umie sobie radzić z wymianą płytek lub ich odwracaniem w miarę zachodzącej potrzeby. To też dziwić się nie można, że wobec licznych zalet i korzyści, pilniki pp. Meyer, Focke i S-ka znajdują w Niemczech coraz szersze zastosowanie.

Ponieważ w naszych zakładach przemysłowych, oprócz pilników Kaufholda, które zresztą nie zyskały powodzenia, ukazały się ostatnimi czasy także pilniki płytkowe, o jakich p. Goffin w swoim sprawozdaniu wcześniejszem wspomnieć nie był jeszcze w stanie, przeto uzupełniając ten brak, podajemy opis wraz z rysunkiem tego pilnika.

Jak widzimy z fig. 13, jest to pilnik płytkowy również Müllera, o tyle wszakże już ulepszony, co się od razu rzuca w oczy, że pod względem praktyczności znacznie przewyższa ten rodzaj pilnika, na jakim p. Goffin zamknął swój przegląd.

Pomysł ulepszenia polega na tem, że trzon pilnikowy wyrobiony został z jednej sztuki, nadto, że śrubę z mutrą zastąpił klinem. Dzięki tym zmianom, narzędzie stało się mocniejszym, prostszym oraz dogodniejszym, zarówno w użyciu jak i w obsłudze. Z figury widzimy, że trzon pilnika *A* posiada na

Fig. 13.



jednym końcu znane już dwa czopy *a*, drugi zaś jego koniec przechodzi w zwykły szpic do nasadzenia trzonka. Dla przytwierdzenia i napięcia płytek, oprócz czopów *a*, stanowiących całość z trzonem pilnika, służy oddzielny czop *b* z wycięciem na obu końcach w postaci ogona jaskółczego. Czop ten zakłada się do otworu pionowego w trzonie tak, że część jego środkowa zastosowana do grubości trzona, ukrywa się w tym ostatnim, na wystające zaś wycięte oba końce, odpowiadające grubości płytek, nasadzają się znowu same płytki, które w dalszym ciągu rozciągają się za pomocą klina *c*, przechodzącego przez otwór poziomy w trzonie między czopem *b* i ścianą otworu.

Godzi się nadmienić, że jeżeli *Goffin*, oddając wielkie pochwały opisywanemu rodzajowi pilnika płytkowego p. *Müllera*, rokuje mu świetną przyszłość, to bodaj jeszcze więcej zasługuje na tego rodzaju względy pilnik w postaci, przedstawionej na figurze 13.

(Revue universelle, Mars 1892).

Tłumaczył Pr. Dz.

PRZYZYNEK DO KWESTYI O ŻELAZIE ZLEWNEM¹⁾

Podług prof. Tetmajera podał

P. Drzewiecki.

I.

Zanim przejdziemy do właściwie interesującego nas przedmiotu, niech nam wolno będzie poświęcić słów kilka poglądowi ogólnemu na sposoby otrzymywania żelaza zlewnego.

Żelazem zlewnem nazywamy żelazo, otrzymywane w stanie płynnym, a posiadające zaletę z jednej strony poniekąd żelaza kowalnego, z drugiej zaś strony zbliżone własnościami swemi do stali. Żelazo zlewne posiada własność spawania się, jest miękkim i w stanie gorącym wybornie się kuć daje.

Praktykowane sposoby otrzymywania żelaza zlewnego są następujące:

- 1) proces hutniczy *Martina* (proces kwaśny),
- 2) „ „ *Siemensa* (kwaśny lub zasadowy),
- 3) „ „ skombinowany *Siemens - Martina* (przeważnie zasadowy) — i
- 4) proces *Thomasa Gilchrista* ²⁾ (zasadowy).

Cechy charakterystyczne sposobów tych są następujące:

Proces *Martina* w zasadzie polega na rozpuszczeniu w generatywnym piecu *Siemensa* o zaprawie kwaśnej, odpowiedniej ilości bardzo czystych odpadków żelaza, w uprzednio roztopionej masie surowca, wolnego od fosforu i jak najmniej posiadającego siarki. Wyborem ilości i wartości używanego w tym celu żelaza osiąga się możność normowania, w pewnych granicach, procentu zawartości węgla w gotowym produkcie i otrzymywania tym sposobem żelaza zlewnego więcej twardego, podobnego do stali, lub miększego, zbliżającego się do żelaza kowalnego.

W zasadzie jednakże procesu tego leży otrzymywanie produktu, posiadającego więcej cech zbliżonych do stali. Do otrzymywania zaś większych ilości i na szerszą skalę żelaza miękiego sposób ten się nie nadaje, a to ze względu na niemożność stosowania surowca i żelaza z domieszką fosforu. Z tego powodu proces hutniczy *Martina* w hutnictwie nie ma większego znaczenia.

¹⁾ Podług prof. L. Tetmajera. Schweizerische Bauzeitung, r. 1892, NN. 19, 20, 21, 22 i 23.

²⁾ Ogólnie sposobem *Bessemera* zwany.

W procesie *Siemensa* otrzymywanie żelaza zlewnego z surowca polega na odłączeniu pewnej ilości węgla za pomocą tlenków żelaza, w formie rudy, lub wapna, w formie cegiełek, dorzucanych do silnie rozpalonego roztopionego surowca. Poruszaniem od czasu do czasu roztopionej masy i za pomocą prób orientuje się hutnik o chwili osiągnięcia żądanego odwęglania surowca i pozbawienia go fosforu; w następstwie zaś tego o chwili przerywania procesu jako ukończonego.

Proces skombinowany *Siemens-Martina* używa się dziś głównie do otrzymywania żelaza zlewnego, w potocznej mowie żelazem *Martina* nazwanego. Od powyżej opisanych procesów odróżnia się proces *Siemens-Martina* możliwością użycia wszelkiego rodzaju odpadków żelaza i stali, które jednocześnie z surowcem wstępują w proces. Z chwilą topnienia rozpoczyna się odwęglanie i oddzielanie fosforu od żelaza, przez dodanie rudy żelaznej i tlenku żelaza w formie cegiełek z zendry walcowej, wzbudzając tworzenie się szlaki fosforowej w obecności wapna zawartego w rudzie. Szlaka w czasie procesu jest usuwaną, w zamian czego stopniowo oddawane jest wapno w formie cegiełek — dopóki tego proces wspomniany wymaga. Tym sposobem hutnik ma możność osiągnięcia żądanego odwęglania surowca, a także pozbycia się fosforu aż do ilości nieszkodliwej. W czasie procesu od czasu do czasu masa bywa poruszana i próbowana dla zorientowania się o postępie procesu.

Z jednej strony wysoka temperatura, niezbędna przy tym procesie, i znaczna powierzchnia zwierciadła roztopionego metalu, — z drugiej zaś strony silne działanie płomienia i dodawanie, przy tak wysokiej temperaturze, gotowych tlenków żelaza, wpływają, iż utrafienie odpowiedniej ilości dawek i uzyskanie jednostajnych, najprzód określonych procentów węgla i fosforu jest nadzwyczaj utrudnione, tembardziej, iż próby brane z pieca nie dają nigdy obrazu całości procesu. Proces ten więc w zupełności opiera się na wielokrotnych próbach praktycznych i doświadczeniu hutnika.

Trwanie podobnego procesu dla jednorazowej ilości surowca i żelaza, licząc od napełnienia pieca do jego opróżnienia, trwa 4 do 8 godzin, a niekiedy i dłużej. Czas ten umożliwia dokonywanie prób w trakcie trwania procesu. Długość jednakże trwania procesu, jak to poucza doświadczenie, nie ma żadnego wpływu na wartość produktu.

Dla uzyskania jednorodności składu całej masy metalu uczestniczącego w tym procesie, zawartość pieca poruszana i mieszana bywa ręcznie za pomocą drążków żelaznych, — nie wyłącza jednakże to obawy o niejednorodność działania i rozkładu czynników dodawanych w czasie procesu. Pod tym względem proces *Thomasa Gilchrista*, odbywający się w wielkich rozmiarów ruchomej retorcie (converter), ma tę przewagę, iż mieszanie masy odbywa się mechanicznie, a energiczny wylew metalu, przy opróżnieniu retorty, wpływa dodatnio na pomieszanie się i ujednostajnienie wartości gotowego już produktu.

W sprawie żelaza zlewnego sposób *Thomasa* odgrywa wybitną rolę. W zasadzie proces ten polega na tem, iż zawarty w wielkiej, w formie gruszki, ruchomej retorcie roztopiony surowiec (zawierający małą domieszkę krzemienia, a znaczną fosforu) wraz z ilością wapna, poddany jest silnemu, mechanicznie przez dno retorty, włączanemu prądowi powietrza, powodującemu odwęglanie i odłączanie się fosforu od żelaza. Cały proces ten, t. j. tworzenie się szlaki, odwęglanie i odłączanie się fosforu od żelaza trwa zaledwie 15 minut. Używane zaś w procesie tym czynniki tak pod względem składu chemicznego jak i działania i rezultatu, są też same co i w procesie *Siemens-Martina*.

Przebieg procesu kontroluje hutnik przy pomocy spektroskopu, spoglądając na płomień wydobywający się z retorty. Podług rodzaju płomienia, jego spektru i ilości wyrzucanych gazów, tworzenia się dymu etc., hutnik orientuje się co do przebiegu procesu i wysokości temperatury, a zwiększając dopływ prądu powietrza lub go przerywając, hutnik reguluje przebieg procesu.

Po ukończeniu procesu, zawartość retorty, przez odchylenie około osi poziomej (przechodzącej prawie przez środek ciężkości retorty z produktem), wylewa się w formy.

Z powyższego widać, iż proces hutniczy *Thomasa Gilchrista* w porównaniu z procesem *Siemens-Martina* wymaga bez porównania więcej w krótkim czasie skoncentrowanego dozoru, i z tego powodu więcej narażony jest na przypadłości nieprzewidziane. Krótkość trwania jest powodem, iż drobna nawet

usterka w procesie wpływa na zupełnie złe rezultaty. Jakkolwiek jednakże proces *Siemens-Martina*, trwając kilka godzin, daje możliwość stałego i powolnego kontrolowania przebiegu, nie wyklucza to pomimo tego częstych niekiedy przypadłości nieprzewidzianych; przeciwnie zaś prawidłowo zorganizowany i dozorowany proces *Thomasa*, dostarcza jednostajnej i prawidłowej produkcji, jakiej piece płomienne dorównać nie mogą. Gdy w procesie *Siemens-Martina* wzgląd na rodzaj żelaza nie jest ważny i gdy do takowego procesu używany być może szmelc wszelkiego rodzaju i rozmaite odpadki; proces *Thomasa* wymaga większej czystości produktów, gdyż rezultat krótko trwającego procesu w prostej linii zależnym jest od chemicznych własności i temperatury topienia się żelaza wstępującego do procesu. — Starannie prowadzone zakłady hutnicze, wyrabiające żelazo zlewne sposobem *Thomas-Gilchrista*, przywiązują z tego powodu, wiele znaczenia i wagi do stałego i równomiernego gatunku żelaza używanego do produkcji. Dla tego też zakłady, używające dla produkcji swej surowki nie wprost z wielkiego pieca, lecz przetopionej w kupolakach, należy uważać za racjonalniej prowadzone, gdyż mają możliwość sortowania rozmaitych gatunków surowca o różnych zawartościach manganu, krzemienia i fosforu. Przy używaniu zaś surowca wprost z pieca wielkiego zachodzi obawa nieprawidłowego zestawienia części składowych procesu, gdyż jak wiadomo, surowiec otrzymywany wprost z pieca wielkiego okazuje nie mało znaczne wahania w składzie chemicznym. W takim razie dokładne każdorazowe oznaczenie stosunku poszczególnych części składowych, odpowiednich dla danego surowca, zarówno dla procesu *Thomasa* jak i dla procesu *Siemens-Martina*, jest bardzo trudne, a często niemożliwe. Racjonalniej pod tym względem urządzone są te zakłady hutnicze, które dla zrównania niejednostajnej wartości oddzielnych partii surowca, otrzymywanego z pieca wielkiego i jednocześnie dla częściowego jego odsiarkowania — tenże surowiec, po wyjściu z pieca wielkiego, uprzednio do takiejże ruchomej retorty gruszkowej zlewają dla pomieszania, a następnie w miarę potrzeby dla procesu *Thomasa*, pomieszany tenże surowiec, stopniowo dostarczają ¹⁾.

Jeżeli skład chemiczny produktów, uczestniczących w procesie, a także temperatura procesu, są dokładnie znane i wciąż stałe, w takim razie manipulacja procesu *Thomasa* dokonywa się na zasadzie stałych prawideł, doświadczeniem, dla danych warunków, określonych. Produkt zaś wtedy otrzymuje się równomiernej dobroci, nie ustępujący najlepszym produktom żelaza zlewne, otrzymywanego za pomocą sposobu *Siemens-Martina*.

W roku 1890, podług *Thomasa*, na całej kuli ziemskiej produkcja żelaza zlewne, otrzymywanego sposobem *Thomasa-Gilchrista*, wynosiła 2 232 639 tonn
sposobem zaś *Siemens-Martina* 370 444 „

Razem 2 603 083 tonn,

z czego na Niemcy przypada 1 493 159 tonn.

W Niemczech w r. 1884 bracia *Stumm* w Neunkirchen pierwsi zaczęli wyrabiać miękkie zasadowe żelazo zlewne z retort *Thomasa*, w celu przewalcowywania takowego żelaza na belki i żelazo profilowe dla celów konstrukcyjnych. Za ich przykładem poszły w roku 1885 zakłady pp. *de Wendel & Comp.* i jednocześnie zaś prawie fabryka „*Rothe Erde*“ akcyjnego akwizgrańskiego stowarzyszenia hut (*Aachener Actien-Hütten Verein*).

W Austrii fabrykacja podobna datuje się od r. 1881, w którym to roku zakłady fabryczne *Kladno* rozpoczęły produkować blachę i żelazo profilowe z żelaza zlewne *Thomasa*. Po zasadowym procesie *Thomasa*, wszedł w użycie w r. 1885/6 proces skombinowany *Siemens-Martina*. Zdawało się, że ten ostatni proces dzięki zaletom swym, a mianowicie dzięki możliwości dostarczania żelaza kowalnego o wszelkich możliwych odcieniach pod względem miękkości, a także dzięki jednorodnej wartości otrzymywanego żelaza, wyruguje fabrykację żelaza zlewne podług sposobu *Thomasa*. Oczekiwania te nie sprawdziły się: żelazo zlewne *Thomasa* oddawna już stosują inżynierowie włoscy i francuscy do budowy mostów. W Niemczech i w Szwajcarii wielu już wyraźnie wypowiada konieczność zrównania żelaza *Thomasa* z innymi produktami używanymi jako materiały konstrukcyjne, pomimo tego, iż w r. 1892 (29 stycznia) wydane zo-

stało rozporządzenie ministeryjne, zabraniające używać żelaza zlewne *Thomasa* do budowy mostów na austriackich kolejach państwowych.

Brak zaufania do żelaza zlewne w ogóle, jaki się obecnie u wielu ludzi fachowych zauważyć daje, objaśnić należy tem, że własności produktu tego zbyt mało są jeszcze znane.

Niezależnie od tego, zastosowanie żelaza zlewne robi znaczne postępy. Charakterystycznym dla kwestyi żelaza zlewne jest fakt, iż podczas, gdy w Austrii używanie żelaza zlewne *Thomasa* wzbronionem jest do budowy mostów, stosują takowe żelazo z dobrym skutkiem nawet do budowy kotłów parowych.

W Niemczech żelazo zlewne *Thomasa* znajduje zastosowanie przy budowie mostów pruskich kolei państwowych, w arsenalach cesarskiej marynarki wojkowej, w fabrykach wagonów oraz maszyn. Zapewnionego jednak zbytu do celów budowlanych, oraz budowy mostów w ogóle, żelazo to nie znajduje. W Szwajcarii zaś zamierzano żelazo zlewne *Thomasa* wykluczyć przy budowie mostów kolejowych.

Dopiero rezultaty badań najnowszych wykazały, że produkty z procesu *Thomasa* i *Siemens-Martina* powinny być uważane za zupełnie równoznaczne.

Pierwsze zastosowanie na szerszą skalę żelazo zlewne *Thomasa* znalazło przy budowie kolei *Pilatus* w Szwajcarii, gdzie, z powodzeniem zupełnym, z takowego żelaza wykonane zostały szyny kierownicze i zębate. Większość dotychczas zbudowanych górskich kolei szwajcarskich, z szyną zębatą typu *Abta* lub *Riggenbacha*, została całkowicie, wraz z zębami, siódlami i łącznikami, wykonana z żelaza *Thomasa*. Obszerne zastosowanie w czasach ostatnich znalazł ten produkt przy budowie maszyn i wagonów.

Co się tyczy budowy mostów, to pierwszy most z żelaza *Thomasa* w Szwajcarii zastosowywuje się na drugim torze kolei *Gothardzkiej*, w krótkim zaś czasie Szwajcaryja na innych drogach żelaznych posiadać ma mostów z żelaza zlewne w wadze ogólnej ca. 5000 tonn.

Pod tym względem Włochy wyprzedziły wszystkie inne kraje. Jedne tylko towarzystwo włoskie „*Societ  anonyme von Savigliano*“ pod Turynem wybudowało większą ilość mostów z żelaza zlewne. Podług informacji p. *R thlisbergera* inżyniera, szefa wspomnianego towarzystwa do roku 1891, wykonane zostały przez toż towarzystwo, następujące mosty we Włoszech:

Most Piazza-Pia nad Tybrem w Rzymie o otworze	103,5 m
„ zwodzony Maddalena na Sardynii	2 × 20 „
Mosty wojskowe syst. <i>Eiffel</i>	22 — 45 „
Most Tanaro na linii Genua—Asti	49 + 60 + 49 „
„ Lesia w prowincyi Novara	7 × 42 „
Wagi ogólnej 2070 tonn.	

Podług p. *R thlisbergera*, praktyka ta wykazała, iż żelazo zlewne, na mosty stosować się daje z zupełnym powodzeniem. (C. d. n.).

O PRZESYŁANIU

ENERGII ELEKTRYCZNEJ NA ODLEGŁOŚĆ

za pomocą prądów przemiennych wieloprz słowych ¹⁾.

Pierwsze próby przesyłania energii elektrycznej na znaczną odległość (*Fontaine* podczas wystawy w Wiedniu 1873, *Marcel Deprez* w Monachium 1882 i t. d.) dokonane zostały przez zastosowanie prądów statecznych o wysokim potencyale. Prądy te nadawały się bardzo dobrze do przesyłania energii, ale w niewielkim tylko stopniu do jej rozprowadzania, co też miało wpłynąć na ograniczenie zakresu ich zastosowań. Wysokie ciśnienie wytwarzane przez maszyny stateczne warunkowane jest przez dwie głównie rzeczy: komutator i ogólną

¹⁾ Patent *Johnsahna*, sposób *H rdera*.

¹⁾ Treści do artykułu niniejszego dostarczył mi odczyt p. *E. Hospitalier*, miany na posiedzeniu Tow. Mi dzyn. Elektr., oraz bardzo wiele innych artykuł w i prac rozrzuconych w pismach specjalnych.

izolację maszyny. W wielkich maszynach komutator znieść może potencjały od 1000 do 2000 woltów, najwyżej zaś 3000; to samo izolacja, która w dynamo-maszynie statecznej składa się pospolicie z bawełny, papieru, szellaku, włókniaka i t. p. Zresztą budowa maszyn statecznych o wysokim potencyale przedstawiała trudności niezmiernie: widać to ztąd, że dla otrzymania 3000 woltów wypadało łączyć jedną za drugą dwie zbroje, z których każda dawała 1500 woltów. Później udało się 3000 woltów otrzymać i z jednej zbroi statecznej, lecz było to maksymalne ciśnienie, praktycznie dla prądów statecznych dające się osiągnąć.

O wiele korzystniej przedstawiają się stosunki te dla maszyny przemiennej, która daje bezpośrednio prądy wysokiego potencjału. Łatwość rozbierania oddzielnych części zbroi, brak kolektora i spokojne działanie zalecają te maszyny do otrzymywania wysokich ciśnień. Zastosowanie prądów przemennych zmieniło zupełnie sprawę przesyłania energii, pozwalając otrzymywać wysokie ciśnienia, a następnie za pomocą transformatorów przekształcać je bez wielkiego wysiłku na mniejsze. W praktyce stało się możliwem przesyłać i rozprowadzać prądy od 1000 woltów (*Westinghouse* w Ameryce) aż do 10000 (*Ferranti* w Londynie) i zamieniać na prądy od 50 do 100 woltów w miejscach przeznaczenia.

Przesyłanie jednak zwyczajnych prądów przemennych posiada swoje niedogodności: nie nadają się one do gromadzenia energii elektrycznej i poruszania. Wiele było prób urzeczywistnienia motoru dla prądu przemennego, posiadającego też same zalety co i motor stateczny, lecz żaden z nich nie odpowiedział dotąd oczekiwaniom przemysłu. Wszelako ostatnie badania *Tesli* w Ameryce, *M. Hutina* ¹⁾ i *M. Leblanc'a* we Francji pozwalają przypuszczać, że zadanie to praktycznie jest możliwe.

Nowe zupełnie i oryginalne rozwiązanie zajmującej nas kwestyi nastąpiło skutkiem zastosowania tak zwanych prądów wielofazowych i wirującego pola magnetycznego; prądy te rozstrzygają w sposób najbardziej ogólny sprawę przesyłania energii na znaczną odległość. Początkowo do tego użyte prądy przemienne posiadają słabe natężenia i wysoki potencjał, potem dopiero ulegają przekształceniu i w nowej postaci mogą być dowolnie dzielone i stosowane do wielorakich celów przemysłu: oświetlenia, poruszania motorów, ładowania akumulatorów, działań elektrochemicznych i t. d. Można więc prądy te z pewną słuszością poczytywać za ostatni wyraz postępu techniki elektrycznej.

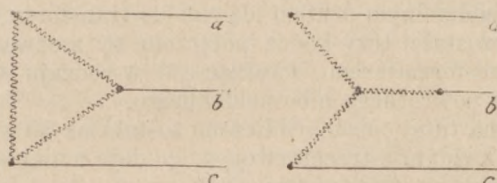
Następujące doświadczenie prof. *Galileo Ferraris*, podane w roku 1888 w sprawozdaniach Turyńskiej Akademii Nauk ²⁾, zwróciło na siebie uwagę świata naukowego i wykazało technice nową dziedzinę pracy. Jeżeli w pustej przestrzeni, wytworzonej przez dwa zwoje zwrócone do siebie prostopadle płaszczyznami, zawieszony jest na nici lub obraca się swobodnie na osi wydrążony cylinder miedziany lub żelazny i jeżeli dalej przez zwoje te przepuszczone zostały dwa prądy przemienne posiadające jednakowe okresy bez fazy rozmaite, to wówczas cylinder zaczyna się obracać. Innemi słowy, pod wpływem działań prądów przemennych wewnątrz przestrzeni wytwarza się *wirujące pole magnetyczne*. Odkrycie to, całkiem teoretyczne zresztą, pociągnęło za sobą cały szereg płodnych badań i doświadczeń technicznych *Tesli*, *Bradleya*, *Dobrowolskiego*, *Browna* i wielu innych, które postawiły sprawę przesyłania energii zdaleka, a zatem korzystania z potężnych, wiecznie działających sił wodnych w Szwajcaryi, Finlandyi, Ameryce, na gruncie zupełnie realnym.

Spróbujmy teraz określić prądy wielofazowe. Wiadomo, że zwykły prąd przemienny wyraża się w funkcji czasu za pomocą krzywej, sinusoidalnej, określonej przez siłę prądu i okres. Jeżeli dwa prądy takie przebywają w tym samym czasie znaczenia zero i maximum, powiadamy wówczas, że prądy te posiadają jeden okres i jedną fazę. Gdy jednak dwa prądy przemienne zachowując jednakowy okres, przebywają jednocześnie znaczenia zera i maximum, wtedy mówimy, że prądy nie zgadzą się we fazach, albo, że w obu prądach nastąpiło przesunięcie fazy. Upoważnia nas to do nadania połączonym obu prądom nazwy *dwufazowych*. Przesunięcie fazy zazwyczaj równe jest prawie ćwierci okresu, w razie jeżeli stanowi $\frac{1}{2}$ okresu,

prądy są przeciwległe. Prądy przemienne różniące się o $\frac{1}{4}$ okresu posiadają pewne szczególne własności, którym się przyjrzymy bliżej, mówiąc o motorach dwufazowych.

W razie trzech prądów przemennych, różniących się jeden od drugiego o $\frac{1}{4}$ okresu, mamy prądy trójfazowe, a przez kombinowanie tych prądów w odpowiednich motorach możemy użyć je do przesyłania siły. Prądy te bardziej się nadają do tego celu niż dwufazowe. Dla tych ostatnich należy brać cztery lub trzy druty i wtedy ten, po którym wraca prąd, powinien być grubszy. Można jednak dowiedzieć, że w razie prądu *trójfazowego* suma algebraiczna trzech prądów tem samem sił elektromotorycznych, przepływających po każdym z drutów z osobna, w każdej danej chwili równa się zeru, czyli, że każdy drut przeprowadza z powrotem prąd równy sumie pozostałych dwóch. Wynika ztąd, że wszystkie trzy druty mogą mieć jednakową średnicę, co posiada znaczenie praktyczne, a nadto, że jeden z prądów może być ciągle szeregiem albo równolegle łączony z sumą dwóch pozostałych. Doprowadza to nas zarazem do tak zwanego szeregowego (trójkąt) albo zamkniętego połączenia trzech nawinięć motoru trójfazowego i otwartego (gwiazda) połączenia (fig. 1).

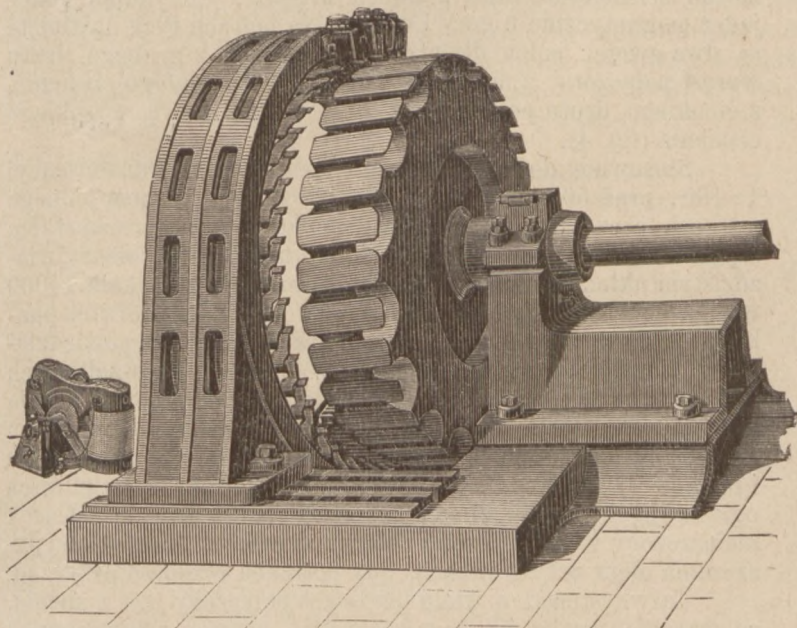
Fig. 1.



Generator prądów przemennych wielofazowych w ogóle nie różni się od generatora zwykłych prądów przemennych. Składa się on w głównych zarysach z ogólnego systemu indukującego trzy prądy przemienne posunięte względem siebie o $\frac{1}{3}$ okresu, które w upływie czasu równego $\frac{1}{3}$ okresu wytwarzają maksimum siły elektromotorycznej.

O generatorze trójfazowym. Dynamo-maszyna o sile 300 k. p., działająca w Lauffen, zbudowana była według pomysłu inżyniera *Browna* z warsztatów Oerlikońskich pod Zurychem. Wytwarza ona prądy przemienne, trójfazowe, przesunięte względem siebie o 120° . Ponieważ w danym razie siła prądu jest bardzo znaczna, więc elektromagnesy wirują, podczas gdy cewy indukcyjne są nieruchome. Induktor składa się z 32 biegunów, naprzemian dodatnich i ujemnych, umieszczonych na wspólnej osi i wzbudzanych przez jedną tylko cewę, otrzymującą prąd za pośrednictwem dwóch przewodników splecionych z drutu mosiężnego z oddzielnej dynamo-maszyny statecznej (*Allg. Elektr. N. G. 50*), poruszanej przez oddzielną turbinę (fig. 2 i 3).

Fig. 2.



¹⁾ *Galileo Ferraris*. Rotazioni elettrodinamiche prodotte per mezzo di correnti alternato. Atti della R. Accademia delle Scienze di Torino 1888.

miały ciśnienia w tym samym stosunku, odpowiednio do punktów, między którymi będą umieszczone. W celu otrzymania niezależności trzech prądów i możliwości zmian w liczbie lamp należących do każdej z trzech grup stanowiących dany system, lepiej jest zakładać lampy między drutem obojętnym, a jednym z trzech pozostałych. W razie jednakowej siły prądu działającego we wszystkich trzech grupach, w przewodniku obojętnym prąd wcale nie krąży, wtedy cała jego rola polega na wyrównywaniu różnic w sile jakie mogą powstawać. Każde z trzech jąder transformatora wraz z trzema odgałęzieniami pracuje dla własnego obwodu i dla tego tylko systemat lamp żarowych porównać się daje z trzema niezależnymi transformatorami, mającymi jeden wspólny przewód powrotny, z tą jedyną różnicą, że fazy transformatorów przesunięte zostały o $\frac{1}{3}$ okresu. Dla tego to dla każdej grupy lamp wziętej w odgałęzieniu wystarczają dwa druty — jeden złączony z drutem obojętnym, a drugi z końcówką jednej z trzech cew transformatora. Znane są doświadczenia Doliwo-Dobrowolskiego na wystawie frankfurckiej z lampą żarową o trzech włóknach. Kto nie zna własności prądów prądu wielofazowych, wyda mu się dziwnem, gdy ujrzy lampę o trzech włóknach jednakowej długości i średnicy, zbiegających się w jeden punkt wolnymi końcami. Ażeby zrozumieć zjawisko przytoczone, należy sobie uprzytomnić, że chociaż siły we wszystkich trzech włóknach działające, zupełnie są równe, nie mniej jednak w każdym danym momencie są one nie równe i każdy przewód służy do wspólnego powrotu prądów płynących w tejże chwili przez dwa inne druty. Wątpić atoli należy, czy ciekawe te lampy kiedykolwiek nabędą znaczenia praktycznego.

Prądy przemienne wielofazowe budzą głównie zajęcie przez to, że dają możliwość wytwarzania siły poruszającej zdaleka od źródła siły przesyłanej, na tę więc ich własność zwrócić my poniżej uwagę naszą. W motorze takim uderzają przede wszystkim dwie części: zbroja i induktor. Induktor połączony jest bezpośrednio ze źródłem elektryczności, z dynamo-maszyną lub transformatorem. Zbroja przedstawia obwód zamknięty sam na sobie bez żadnego połączenia z induktorem. Stosunkowy układ obu tych części ulega zmianom stosownie do siły motoru. W motorach o małej sile induktor jest nieruchomy, a zbroja się obraca, przeciwnie się dzieje w motorach o wielkiej sile.

Zauważymy tu, że co do motorów wielofazowych istnieje wielka niepewność językowa, jak mamy nazywać zasadnicze ich części. Stosując się do zwyczaju przyjętego dla motorów poruszanych przez prądy stateczne, nazwiemy induktorem tę część obwodu, która wytwarza pole magnetyczne, zbroją zaś tę, która w tem polu wiruje i w ten sposób staje się miejscem prądów indukowanych.

Motor o małej sile. W motorach tych, jakieśmy rzekli, induktor jest nieruchomy, a zbroja wiruje. Induktor składa się z szeregu cewek albo zwojów, przez które przepływają prądy przemienne trójfazowe. Prądy te wytwarzają wewnątrz cylindrycznej, pustej przestrzeni zwojów, wirujące pole magnetyczne. Gdy nawinięcie jest zwykłe albo dwubiegowe, wówczas powstaje jedno tylko pole magnetyczne, którego prędkość kątowna odpowiada jednemu obrotowi podczas jednego okresu. Gdy jednak nawinięcie jest tego rodzaju, że tworzy się 4, 6, 8 biegunów, to prędkość kątowna wirowania pola utworzy tylko $\frac{1}{2}$, $\frac{1}{3}$ lub $\frac{1}{4}$ obrotu na okres. Ilość zmian na sekundę obecnie przyjęta waha się od 30 do 40.

Teoretycznie daje się to pole wirujące skutecznie za pomocą kombinacji cewek mniej lub więcej złożonych. Jedną z najprostszych polega na tem, że bierze się pierścień *Gramme'a* z nawinięciem ale bez kolektora. Łącząc 3 punkty nawinięcia, odległe od siebie o 120° , z generatorem prądu trójfazowego, otrzymamy wewnątrz pierścienia wirujące pole magnetyczne. 3 cewki elementarne wytworzone przez każdą trzecią część pierścienia, przedstawiają układ gwiazdowy, o którym była mowa. Często się zdarza, na przykład w motorach *Browna*, że nawinięcie ma kształt bębna, przytem pręty miedziane stanowiące go, połączone są ze sobą drutem, a wewnątrz pustej cylindrycznej przestrzeni powstaje pole magnetyczne.

Co się tyczy stałości wirującego pola magnetycznego wytworzonego przez podobne nawinięcie, to nie łatwo orzec, czy jest ona w obec hysterezy, oddziaływania zbroi i mniej lub więcej sinoidalnego kształtu prądu przepływającego przez wszystkie trzy cewy, dostatecznie zabezpieczona. Dowieść je-

dnak można, że gdy przez trzy jednakowe zwoje, przesunięte względem siebie o $\frac{1}{3}$ okresu, przepływają równe prądy przemienne różniące się również o $\frac{1}{3}$ okresu i zwoje znajdują się w środowisku magnetycznie jednorodnem, to pole będzie stałem. To samo stosuje się i do dwóch prądów przemiannych sinoidalnych przesuniętych o $\frac{1}{4}$ okresu i przepływających przez dwie cewki ustawione do siebie pod kątem prostym, jak to ma miejsce w opisanem przez nas doświadczeniu *Ferraris'a*.

Zbroja w małych motorach składa się z szeregu podłużnych prętów równoległych do osi i połączonych ze sobą równolegle. Można by też urządzić motor o polu wirującym, umieszczając, tak jak to czyni *Ferraris*, w próżni wytworzonej między indykatorami cylinder miedziany lub żelazny; lecz z powodu niejednorodności pola, prądy *Foucaulta*, powstające w masie żelaza lub miedzi, stanowiłyby ważną przeszkodę i obniżyłyby pracę użyteczną motoru. *Hutin i Leblanc*¹⁾ z tego powodu postanowili przekształcić zbroję w sposób następujący: Zamiast jednorodnego cylindra wzięty jest cylinder z kręgów miękkiego żelaza arkusowego izolowanych elektrycznie; w cylindrze równoległe do osi zrobione są dziury, przez które przechodzą pręty miedziane również izolowane; końce ich po obu stronach cylindra spojone są z pierścieniem miedzianym — tworzy się więc połączenie równoległe. Kręgi żelazne służą do wzmocnienia pola magnetycznego bez wytwarzania prądów *Foucaulta*; skutkiem tego w prętach miedzianych wzbudzone są prądy potężne, mające kierunek wynikający z wirującego pola magnetycznego i przewodników zbroi. Prędkość kątowna motoru tego nie obciążonego dąży do zrównania się z prędkością pola wirującego; przytem zbroja pozostaje w spokoju względem pola. Wraz z powiększaniem obciążenia prędkość się zmniejsza, różniąc się niewiele od prędkości pola, jeśli tylko opór elektryczny obwodu i jego samoindukcja są niewielkie. Z tego że prędkości stosunkowe pola i zbroi są niewielkie widać, że każdy przewód należący do nawinięcia staje się umiejscowieniem peryodycznej siły elektromotorycznej o niewielkiej liczbie wahań, której okres bez obciążenia może się stać równy kilku sekundom, a przy pełnem obciążeniu zazwyczaj mniejszym od 1 sekundy. Motor taki porusza się ze stałą prędkością kątowną, która jest równie jednostajna jak i w motorze jednokierunkowym posiadającym ilość cew elementarnych równą liczbie przewodników zbroi. W obec słabego oporu zbroi, prądy wzbudzone otrzymują się o wielkiej sile i wytwarzają potężny motor na początku i w czasie biegu.

Stosowanie prądów przemiannych wielofazowych przedstawia jeszcze jedną nader ważną korzyść, szczególnie w razie motorów o małej sile. Mianowicie system indukujący połączony jest z 3-ma przewodnikami idącymi od transformatora albo wprost od generatora, bez żadnej przerwy, z wyjątkiem jednego tylko komutatora; zbroja stanowi tu obwód oddzielny, zamknięty sam na sobie, a tym sposobem motor sam nie posiada ani szczotek ani ślizgającego kontaktu, cały dozór polega na napełnianiu od czasu do czasu oliwiarek umieszczonych na podstawach osi. Trudno sobie wystawić przyrząd prostszy, mniej ulegający przerwom i lepiej nadający się do przesyłania energii elektrycznej, gdy potrzebną jest niewielka siła. Jedyną niedogodnością jest trzeci przewód — wada niezbyt wielka w obec tego, że istnieją urządzenia dla prądu statecznego o trzech a nawet pięciu przewodnikach. Na zakończenie podajemy tu wyniki doświadczeń²⁾ zdobytych przez komisję na wystawie frankfurckiej odnośnie do małych motorów wielofazowych (synchronicznych).

Elementy działające	Praca nominalna w koniach					
	0,25	0,50	1,5	3	6	9
Prędkość kątowna bez obciążenia	1450	1450	1450	1475	975	970
Prędkość kątowna przy pełnem obciążeniu . .	1320	1335	1350	1380	930	900
Różnica potencjału między każdym z przewodników a przewodem obojętnym w woltach	60,5	60	57	63	61	67
Praca zużywana bez obciąż. w watach . .	105	—	346	404	—	—

¹⁾ Bull. Intern. de l'Electr. 1892.

²⁾ Industrie Electrique N. 25, 1893.

Elementy działające	Praca nominalna w koniach					
	0,25	0,50	1,5	3	6	9
Praca zużywana z obciążeniem w watach	325	670	1900	2940	6620	10400
Praca użyteczna w koniach	0,23	0,49	1,5	3	7,1	11,5
Praca użyt. w watach	170	368	1104	2208	5300	8600
Wydajność przemysłowa w %	52	55	60	75	80	83
Ciężar motoru w kg	42,13	79,7	99,7	149,5	276,3	421,3

Tabelka ta stosuje się do szeregu motorów trójfazowych wyrabianych w warsztatach oerlikońskich, w układzie gwiazdowym, których siła waha się od $\frac{1}{4}$ konia do 9 koni. Motory te działają z częstością 50 okresów na sekundę, a zatem trochę wyższą niż w typie *Zipernowskiego*, niższą jednak od większości typów motorów przemiennych używanych w Europie i Ameryce.

W *Elektrotechn. Zft.* (1891, zesz. 49) opisany został 20-konny motor trójfazowy *Browna*, użyty jeszcze w sierpniu 1890 r. do przesyłania siły 300 koni wodospadu z Bülach do Oerlikon na przestrzeni 15 km w linii prostej. Nie wszystkim wiadomo, że doświadczenia te poprzedziły i spowodowały późniejsze doświadczenia na linii z Lauffen do Frankfurtu. Ocena praktyków dla tego motoru jest bardzo pochlebna. Rozgrzanie rozmaitych części motoru jest bardzo małe (nie wyżej 20—25% po nad temperaturę miejsca); całkowity skutek użyteczny po odjęciu strat wynosi z pewnością 90% przy wadze ogólnej 420 kg, co stanowi 1 konia na 20 kg wagi. Motor ten działa dobrze nawet w obec przeciążenia i bez hałasu. Do zmiany kierunku wirowania pola wystarcza zmiana kierunku prądów w dwóch z trzech zwojów; w ten sposób zmienia się kierunek wirowania pola a zarazem i motoru; wynik ten daje się osiągnąć za pomocą bardzo zwykłego komutatora.

Motory o wielkiej sile. Jakieśmy rzekli, w motorach tego typu, których jedynymi przedstawicielami dotąd są 100-konne motory *Dol.-Dobrowolskiego*, induktor otrzymujący prąd z dynamomaszyny lub z transformatora wiruje, podczas gdy zbroja, zamknięta w sobie, jest nieruchoma. Takie urządzenie pociągnęło za sobą skomplikowanie konstrukcji, ponieważ koniecznym okazało się przeprowadzać prąd do indykatora za pomocą szczotek i pierścieni zbierających.

Oto zasada tego urządzenia. Powiedzieliśmy, że przez induktor przebiegają prądy o bardzo małym okresie, gdy tymczasem zbroję przebywają prądy o znacznych okresach; wynika stąd, że induktor ulegać musi częstym przemagnesowaniom, podczas gdy zbroja jest od tego uwolniona.

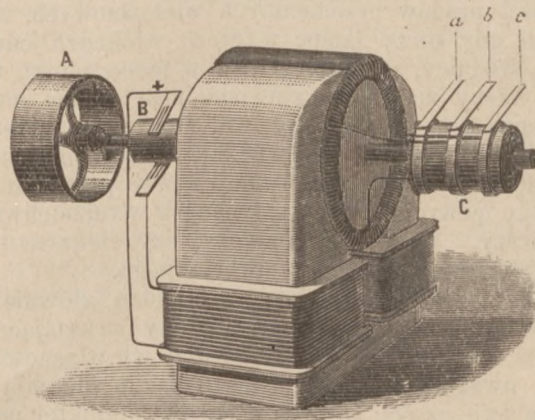
Dla uniknięcia strat skutkiem hysterezy, korzystnym bywa nadać jak najmniejszą wagę systematowi ulegającemu częstym przemagnesowaniom. Jest za to rzeczą obojętną mieć wielkie masy magnetyczne w częściach motoru wystawionych na rzadkie przemagnesowania. Warunkom tym uczyniono zadość, w motorach o wielkiej sile, przez umieszczenie wewnętrzne indykatora a zewnętrzne zbroi. Tym sposobem straty spowodowane przez hysterezę sprowadzone zostały do minimum. Dla motorów o małej sile skutek użyteczny jest rzeczą wagi podrzędnej, gwoili prostocie czynią induktor nieruchomym, skutkiem czego szczotki i pierścienie zbierające mogą być usunięte. Pomimo wielkiej swojej prostoty, motory o wielkiej sile nadają się do dalszych ulepszeń, zgodnie z wymaganiami i potrzebami przemysłu.

Biorąc w rachubę łatwość puszczenia w ruch motorów trójfazowych i przekształcania prądów przemiennych trójfazowych, można przewidzieć, że dadzą się one zastosować z powodzeniem do przesyłania potężnych sił poruszających na znaczne odległości, pomimo widoczną niedogodność zużywania trzech przewodników w przeciwieństwie do prądów statecznych i zwykłych przemiennych, które zadawalniają się dwoma. Za nimi przemawia też możliwość umiejscowienia niebezpieczeństwa pochodzącego od wielkich ciśnień na linii w transformatorach. Przesyłanie siły poruszającej tą drogą do kopalń zawierających gazy wybuchające, odznacza się zupełnym bezpieczeństwem, ponieważ motory wielofazowe nie posiadają żadnego kontaktu sprawującego tarcie, ani żadnej części wydającej iskry. Te ostatnie powstawać będą tylko w przerywaczu w chwili pu-

szczania i zatrzymywania motoru, zawsze przecież można zabezpieczyć przerywacz w sposób taki, że iskry nie będą groźne.

System kolei elektrycznej *Heilmanna* znalazł w motorach trójfazowych, bez szczotek i kolektora, idealny prawie sposób przesyłania siły poruszającej z maszyny nieruchomej umieszczonej na lokomotywie do osi, które powinny skutkiem tego nabyć zdolności obracania się. Nareszcie motory wielofazowe mogą oddać ważną przysługę we wszelkich instalacjach, do których przystęp jest trudny, na przykład do wentylatorów w wielkich gmachach korzystnem wyda się w wielu razach wyzyskiwać energię elektryczną w postaci prądów statecznych, a następnie przekształcać je na prądy wielofazowe i naodwrot. W celu pełniejszego przedstawienia treści opiszemy poniżej przyrządy służące do podobnego przekształcenia w tę lub ową stronę, a przedstawione na wystawie we Frankfurcie przez *Dobrowolskiego* i *Schuckerta*. Figura 5 przedstawia podobny transformator.

Fig. 5.



Prosty rzut oka wskaże, że jest to pierścień *Gramme'a* zaopatrzony w kolektor i szczotki, wzbudzany albo przez rozgałęzienie albo z oddzielnego źródła. W trzech punktach nawinięcia odległych od siebie o 120° , odłączają się trzy przewodniki skomunikowane z trzema pierścieniami kolektora *a, b, c*, dobrze izolowanymi. Na osi niosącej pierścień i kolektor osadzona jest rymoszajba *A*. Tak zbudowany może wypełniać sześć rozlicznych funkcji:

1) Obracając rymoszajbą *A*, można zbierać w *B* prąd stateczny. Systemat cały działa zupełnie jak maszyna o prądzie statecznym i w rzeczywistości jest dynamo-maszyną stateczną.

2) Przez dostarczanie prądu statecznego w *B*, wprawiamy pierścień w ruch wirowy i z rymoszajby *A* możemy otrzymywać siłę mechaniczną. W takim razie mamy przed sobą motor stateczny.

3) Dostarczając siłę mechaniczną rymoszajbie *A*, wprawiamy w ruch dynamo-maszynę, która w ten sposób zostaje wzbudzoną i może w *B* wytwarzać prąd jednokierunkowy. Jeśli jednakże, zamiast zbierać prąd w *B*, będziemy go zbierali w *a, b, c*, wtedy otrzymamy prądy przemiennie trójfazowe i w ogóle przyrząd nasz będzie już generatorem prądu przemiennego trójfazowego. Na tem właśnie polega bardzo łatwy i dogodny sposób budowy takowego, bo każdą zwyczajną shunt-maszynę, przez dodanie trzech pierścieni zbierających na końcu osi przeciwnego kolektorowi, można zamienić na generator wielofazowy.

4) Przez dostarczenie trzem pierścieniom *a, b, c* prądu przemiennego trójfazowego otrzymamy motor synchroniczny dla prądu przemiennego. Przytem należy osiągnąć synchronizm między prędkością kątową pierścienia wirującego a okresem prądu przemiennego. Siłę mechaniczną zbierają z rymoszajby *A*. Tu zauważymy, że działanie takiego motoru synchronicznego mocno się różni od działania motoru o polu wirującym opisanego powyżej. Motory te można w ruch puszczać tylko nie obciążone i nie wzbudzone. Gdy już synchronizm powstał, maszynę można wzbudzić przez jej prąd własny i wtedy synchronizm będzie się już dalej utrzymywał nawet przy obciążeniu. Motory o polu wirującym odznaczają się własnością zmniejszania swojej prędkości wraz z obciążeniem i nawet w razie zmian w oporze obwodu wzbudzonego mogą się poruszać z dowolną prędkością; motory o prądzie przemiennym podobne do opisanego tutaj albo się poruszają synchronicznie,

albo się zatrzymują. Jest to charakterystyczna cecha transformatora wielofazowego, jednak pozbawiona znaczenia praktycznego.

5) Przez dostarczenie prądu statecznego szczotkom *B* wprawiamy w ruch przyrząd; wtedy sam on się wzbudza i w *C* powstają prądy przemienne trójfazowe. Jest to więc transformator prądów jednokierunkowych na przemienne trójfazowe. Rozumie się, poruszanie każdej dynamo-statecznej posiadającej powyższe trzy pierścienie zbierające, prowadzi do tegoż celu. *Doliwo - Dobrowolski* skorzystał na wystawie z nawinięcia w kształcie bębna, biorąc prąd początkowy od akumulatorów i przetwarzając go na trójfazowy, który w ruch wprawiał małe motorki jego pomysłu o polu wirującym w chwilach przerw w przesyłaniu energii z Lauffen. Przekształcenie podobne może być bardzo użyteczne w tych razach, gdy np. wypada poruszać z oddali motor mało przystępny, którego dozorowanie jest trudne, a iskry od niego przeskakujące, mogłyby ściągnąć niebezpieczeństwo.

6) Pozostaje nam nadmienić o najważniejszym przekształceniu dającym się osiągnąć w przyrządzie, o którym mowa. Przez otrzymywanie w *C* prądów przemennych trójfazowych przyrządów, nadajemy ruch synchroniczny zgodny z okresem prądu przemennego, a w *B* będzie powstawał prąd jednokierunkowy. Odbywa się tu więc przemiana indentyjna choć odwrócona do opisanej przez nas w punkcie 4. Można teraz *B* łączyć z przyrządami spożytkowującymi prąd: akumulatorami, motorami, kąpielami elektrolitycznymi i t. d. Z tego co powiedzieliśmy, widać, że transformacja tu opisana może oddać w przyszłości wielkie przysługi przemysłowi.

Na zapytanie czytelnika, czy prądy wielofazowe mają już gdziekolwiek w Europie zastosowanie, odpowiedzieć możemy twierdząco. Przedewszystkiem chociaż prowizoryczne przesyłanie siły z Lauffen do Frankfurtu zostało wraz z zamknięciem wystawy usunięte, wszelako za staraniem słynnego elektrotechnika inżyniera *Oskara Millera* i według jego planów nastąpiło połączenie wodospadu w Lauffen z miasteczkiem Heilbronn, odległym o 10 km ku południowi i tutaj doświadczenia frankfurckie wcielone zostały w czyn. Prądy trójfazowe przenoszą tu siłę 300 koni do Heilbronn i przekształcone w sposób przez nas opisany, dostarczają miastu światła w 1400 lampkach żarowych i 20 łukowych i siły roboczej w motorkach na ogólną ilość 25 koni parowych. Oprócz Heilbronn ostatnimi czasy powstało wiele już podobnych przesyłek siły w Szwajcaryi i Niemczech (Kassel).

Stefan Stelkiewicz.

KRYTYKA I BIBLIOGRAFIA.

Kratownica przestrzenna, przez d-ra *Augusta Föppla*. Lipsk 1892. (Das Fachwerk im Raume, von Dr. August Föppl).

Teoria belek kratowych w płaszczyźnie, szeroko rozwinięta, opracowana jest w szczegółach. Zastosowujemy ją zwykle nawet tam, gdzie kilka belek płaskich razem połączonych tworzy kratownicę przestrzenną, ale opuszcza ona nas zupełnie tam, gdzie rozkład na szczególne belki nie jest możliwym, jak przy dachach baniastych. Jeżeli więc kratownice, wykonywane w praktyce, nie zawsze leżą w płaszczyźnie, lecz często w przestrzeni, to wynika z tego potrzeba zbadania praw, rządzących kratownicą przestrzenną. Dziełko znanego inżyniera d-ra *Föppla* zaradza tej potrzebie. Autor od dawna zajmował się kratownicą przestrzenną i ogłaszał rozprawki swe w technicznych czasopismach; dziś zebrał swe prace w jedną całość i przedstawił systematycznie wyniki, do jakich doszedł w swych badaniach.

Autor zastanawia się najprzód nad warunkami wyznaczalności statycznej kratownicy przestrzennej, nad sposobem podparcia i ogólną metodą wyznaczenia sił wewnętrznych. Ciekawem jest zachowanie się kratownicy przestrzennej o podwójnych giętkich przekątniach, pod wpływem obciążenia. Przypuścimy, że symetryczna i symetrycznie obciążona paraboliczna bania *Schwedlera* posiada gibkie przekątnie podwójne. W skutku tego obciążenia skracają się krokwie i pierścienie, przekątnie nie pracują wcale, więc w skutek skrócenia prętów okalających muszą się obie wygiąć. Jeżeli więc chodzi o mały ruch bani około osi pionowej, to zachowuje się ona tak, jakby nie było

wcale przekątni, aż dopóki przekątnie w jednym kierunku nie przedłużą się do pierwotnej długości. Jeżeli na taką banię działa moment peryodycznie zmieniający znak, to nastąpią ruchy bani około osi w jednym i drugim kierunku. Drgania takie mogą być dla bani bardzo niebezpieczne, a drgania takie wywołać mogą nawet siły pionowe. Przy baniach *Schwedlera* pokrycie stęży banię tak dalece, że nie ma się co obawiać powyższych ruchów, ale podobne stosunki znajdujemy przy tężnikach poziomych mostów kratowych, gdzie także przy podwójnych przekątniach gibkich powstaje „skończenie mała ruchomość“ (endlich kleine Beweglichkeit). Ruchomość taka jest zwłaszcza niebezpieczną dla pasa ciśnionego belki mostowej, na którą działa zresztą obciążenie z peryodycznymi wstrząśnieniami. Autor utrzymuje, że była to jedna z przyczyn zawalenia się mostu na Birsie pod Mönchenstein.

Podobna ruchomość powstaje także przy mostach z jazdą górą, jeżeli tężniki poprzeczne mają podwójne gibkie przekątnie. Uniknąć się ona daje jedynie przy użyciu tęgich przekątni.

Dla dalszych badań określa autor nowe pojęcie „oplecionki“ (Flechtwerk), kratownicy przestrzennej, której wszystkie węzły i pręty leżą na pobocznicach, odgraniczających zupełnie przestrzeń. Autor omawia rozmaite oplecionki; najważniejszą z nich w praktyce jest bania *Schwedlera*. Dla obciążenia całkowitego obliczenie takiej bani jest bardzo łatwe, trudności jednak sprawia wyznaczenie sił wewnętrznych, jeśli obciążenie jest niesymetryczne albo ukośne. Autor bada siły wewnętrzne powstające przy obciążeniu jednego węzła, przy czem pokazuje się, że wszystkie od tego węzła na wewnątrz leżące pręty są bez nateżenia. W ten sposób dochodzi autor do wniosku, że dla danego pręta najniekorzystniejsze obciążenie jest takie, gdy kolejno jedna krokwie obciążona jest jak najbardziej, następnie jak najmniej. Wprawdzie trudno przypuścić takie obciążenie w praktyce, ale zawsze przypuścić należy pewną możliwą różnicę w obciążeniu sąsiednich krokwie. Z powodu połączeń stałych w węzłach powstają jednak nateżenia drugorzędne, które przy baniach o wielkiej ilości krokwie, jakie dotychczas zwykle budują, zmieniają o tyle siły wewnętrzne, że obliczenie dokładne nie jest możliwe. Takie banie można więc obliczać wedle przybliżonego sposobu *Schwedlera*. Autor przemawia jednak za budowaniem bań 6 lub 8-sciennych, które dadzą się łatwo obliczyć.

Dalej zastanawia się autor nad oplecionkami kolbkowymi (Tonnenflechtwerk), stosownymi dla dachów. Autor podaje ich obliczenie, wyznacza najniekorzystniejsze obniżenie i najniekorzystniejszy ich kształt.

W trzecim rozdziale omawia autor tężniki poziome i pionowe mostów. Jeżeli dwie belki mostowe połączymy tężnikami poziomymi u góry i u dołu, a na podporach tężnikami poprzecznymi, to otrzymamy oplecionkę. W zwykłych wypadkach jest ona statycznie niewyznaczalną. Przy mostach z jazdą dołem nie możemy urządzić na podporach zupełnych tężników poprzecznych, wtedy pomimo górnych tężników poziomych pracują słupy na zginanie. W takim wypadku nawet obciążenie pionowe może wywołać drganie poziome pasa górnego, które w razie, gdy peryodyczność impulsów nie wiele się różni od czasu drgania mostu, mogą bardzo wzrosnąć. Z drganiami wzrastają równocześnie i nateżenia drugorzędne, które mogą być dla mostu niebezpieczne, podobnie jak przechód w takt wojska dla mostów wiszących. Tworzenie dla mostów z jazdą dołem ram o ile możliwości tęgich pomaga wiele, ale nie zupełnie i wymaga wiele materiału. Brakujące przekątnie tężników poprzecznych na podporach można zastąpić jedynie portalami albo murowanymi albo też i żelaznymi, o które się belki opierają. Zamiast tego można też urządzić jarzma stężające (Windjoche) na zewnątrz, przekroju mostu.

Nakoniec zastanawia się autor nad zespołami, o więcej niż dwu wiązarach. W takim wypadku wykazuje autor, że krzyże ukośne potrzebne są tylko między jedną parą krokwie, a stężenie poprzeczne skuteczniejszą zresztą dostatecznie płatwy.

Z tego krótkiego sprawozdania poznają czytelnicy, jak wiele ciekawej treści zamknął autor w omawianem dziele. A że oprócz tego wykład jego jest jasny i systematyczny, więc polecić możemy usilnie zawodowym czytelnikom przeczytanie tego cennego dziełka.

Maksymilian Thullie.

Nowe książki francuskie i niemieckie.

Klary (C.). — Manuel de photographie pour les amateurs. In-16. Flammarion. 75 cent.

Böckmann, F., chemisch-techn. Untersuchungsmethoden d. Gross-Industrie, d. Versuchsstationen u. Handelslaboratorien. 2. Bde. 3. Aufl. Berl., Springer. 32; geb. 36.

Haase, F. H., d. Lüftungsanlagen. Erläuterg. d. Grundprincipien, welche bei d. Einrichtg. v. Lüftungsanlagen zu beachten sind, um nicht nur gesunde Luft, sondern auch zugfreien Luftwechsel zu erzielen, nebst kurzer Beleuchtg. d. verschiedenen Heizungssysteme. Stuttg., Cotta Nf. 3.

Handbuch d. mechan. Technologie. Hrsg. v. P. A. Bolley u. K. Birnbaum, fortgesetzt v. C. Engler. Neue Folge. 6. Lfg. Brnschw., Vieweg & Sohn. 2.

Mineralgerbg. m. Metall-Salzen u. Verbindgn. aus diesen m. organ. Substanzen als Gerbmittel. Von F. L. Knapp.

Kohlfürst, L., d. elektr. Telegraphen u. Signalmittel, sowie d. Sicherungs-, Kontroll- u. Beleuchtungs-Einrichtgn. f. Eisenbahnen auf. d. Frankfurter internat. elektrotechn. Ausstellg. 1891. Stuttg., Cotta Nf. 5.

Portland-Cement, d. u. seine Anwendungn. im Bauwesen. Bearb. im Auftr. d. Vereins deutscher Portland-Cement-Fabrikanten. Berl., (Toeche). 4; geb. 5.

Pregél, Th., neuere Werkzeugmaschinen f. d. Metallbearbeitg. Fräse- u. Schleifmaschinen. Stuttg., Cotta Nf. 6.

Wilke, A., d. Elektrizität, ihre Erzeugg. u. ihre Anwendg. in Industrie u. Gewerbe. Lpzg. Spamer. 8; geb. 9,50.

SPRAWOZDANIA Z POSIEDZEŃ

stowarzyszeń technicznych.

Z Towarzystwa politechnicznego we Lwowie. Dnia 23 listopada mówił inż. *Szczepaniak* o wodociągach w Zagrzebiu. Wodociągi tamtejsze zasilają się wodą ze studni 12 m głębokiej, kopanej w dolinie Sawy. Koszty wodociągu wedle planu *Linkera* wynoszą 290 713 zlr., miasto Zagrzeb liczy obecnie 35 000 mieszkańców, wody dostarcza wodociąg tak obficie, że nigdy takowej nie brak. W razie zwiększenia się ludności możnaby wykopać drugą studnię. Zastanawiano się tam i nad sprowadzeniem wody źródlanej z pobliskich wzgórz, ale potrzebaby było budować dużo akwaduktów i koszty byłyby znaczniejsze. W rozprawie nad tym wykładem bierze udział pan *Tuszyński*, który zwraca uwagę na podobne warunki techniczne w Zagrzebiu i w Krakowie, które powinny doprowadzić do jednakowego rozwiązania problemu.

Dnia 30 listopada mówił arch. *Skowron* o zabezpieczeniu więzień przeciw wyłamywaniu się. Prelegent, autor projektu pałacu sprawiedliwości we Lwowie, którego budowę prowadzi, opisał szczegółowo, jakich środków użyć potrzeba, aby zapo-

biedz ucieczkę więźniów, jaki ma być plan całego budynku, jaki ustrój podłogi, powały, drzwi, okien, pieców, muru opasującego ogród, w jaki sposób zapobiedz można porozumieniu więźniów w szkole i kaplicy. Prelegent opisał potem sposób, w jaki więzień jeden uciekł niedawno z tak postępowo urządzonego więzienia, coby zarządzić należało, aby i temu sposobowi zapobiedz. W rozprawie wziął udział inż. *Franke*.

Dnia 7 i 14 grudnia mówił docent *Kowalczyk* o stosunkach budowlanych we Lwowie i proponowanej zmianie ustawy budowniczej miasta Lwowa. Przy końcu swego wykładu stawia wnioski, aby dla sprawy zmiany ustawy budowniczej wybrać osobną komisję, aby wnieść petycję do namiestnictwa, aby nie dawała koncesyi na upoważnionych rządowo budowniczych ludziom niezawodowym, aby postarać się o zreformowanie urzędu budowniczego, a mianowicie powiększenie liczby urzędników w celu zamiennego wykonywania policyi budowniczej. Wnioski te przyjęto.

y.

KRONIKA BIEŻĄCA.

Przygotowując „Bibliografię piśmiennictwa polskiego w dziedzinie nauk matematycznych i fizycznych“ w wieku XIX-ym, pragnęlibyśmy podać w niej i wiadomości o niewydanych rękopisach z tej dziedziny, godnych uwagi ze względu na treść lub nazwisko autora. W tym celu zwracamy się do posiadaczy podobnych rękopisów lub nieznanych druków, z uprzejmą prośbą, aby zechcieli łaskawie przyjść nam z pomocą, nadsyłając same rękopisy lub dokładne, o ile można, ich opisy do jednego z podpisanych, pod adresem Redakcyi „Prac matematyczno-fizycznych“ w Warszawie, Erywańska 8.

Warszawa, styczeń 1893.

S. Dickstein, E. Wawrykiewicz.

Kilka słów w głośnie sprawie. Pismo „Industrie Électrique“ protestuje energicznie przeciwko temu, że *Korneliusz Hertz* odznaczony został wysokim stopniem Legii Honorowej za prace naukowe. Był on poprostu sprzedawcą, kurtyerem cudzych naukowo-przemysłowych pomysłów. Zaiste doborowem było grono ludzi, któremi *Hertz* umiał się otoczyć:

z dziedziny lampek żarowych: *Werdermann*, *Napoli* i *Brynier*, wszyscy trzech zgaśli;

z telefonii: *Abdank* - *Abakanowicz*, *Pawel Barbier*, *Kern* i *Sieur*;

z przesyłania energii: *Cabanellas*, *Marceli Deprez*, *Frank-Gerald*, *Sarcia* tudzież długi poczet inżynierów, którzy dokonali głośnych w swoim czasie doświadczeń w Creil-Paris;

teoretycy francuscy: hr. *Th. du Moncel*, *G. Cabanellas*, *Frank-Gerald*, *Hospitalier*, *A. Guerout*, — obcy: *Marinowicz*, *Meylan*, *Palaz*, *Ledebour* i *Hess*.

Pismo francuskie robi uwagę: „porównajmy nagrody za swoje prace zdobyte przez tych ludzi z ogromnymi dochodami człowieka, który w zręczny sposób wyzyskiwał ich pracę, a przekonamy się, że w wieku dzisiejszym bywa niekiedy korzystniej sprzedawać naukę niż ją tworzyć“.

CUKROWNICTWO.

O stratach cukru powstających przy stężaniu i gotowaniu soków.

(Streszczenie pracy p. Battuta. — Dokończenie).

2. *Straty chemiczne spowodowane działaniem podwyższonej ciepłoty.* Już od lat wielu Battut przeprowadzał próby laboratoryjne z zachowaniem tych samych warunków, jakie napotyka się w praktyce, badania, mające na celu wykazanie strat cukru przy gotowaniu. Odparowywał zatem pewną ilość soku z początku szybko przy próżni 15 — 17 cali, doprowadzając do stężenia, jakie miewa sok gęsty, a następnie gotując przez 10 godzin w próżni doprowadzonej do 22 cali bez zmiany stężenia, czyli dopuszczając odpowiednią ilość wody w miarę odparowywania. Po rozcieńczeniu soku do pierwotnej gęstości, oznaczał następnie cukier i alkaliczność płynu. Tą bezpośrednią drogą określił Battut straty cukru, które wynosiły:

w r. 1887/88 . . .	0,39	na 100 cz. soku
" 1888/89 . . .	0,23	" "
" 1889/90 . . .	0,18	" "

Do wyższych jeszcze rezultatów doszedł Lalo, który robiąc podobne próby na specjalnym przyrządzie, wykazał zależnie od czasu, w jakim badania wykonywał:

przy próbie w d. 28 października	0,44	strat na 100 soku
w d. 30 " "	0,60	" "
w d. 30 grudnia	0,77	" "
w d. 8 stycznia	1,86	" "

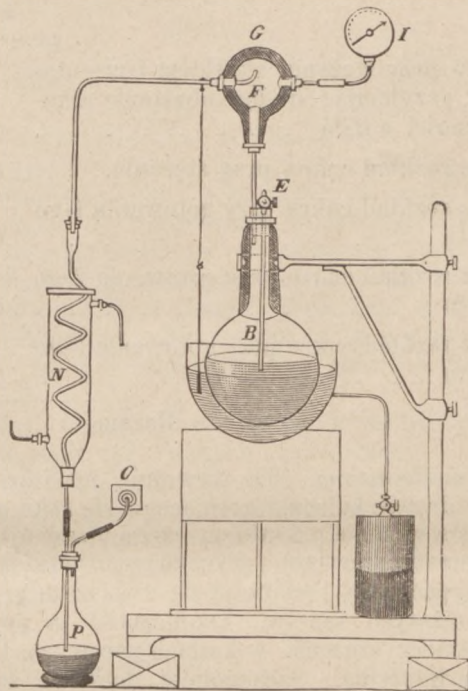
a cyfry te potwierdziła próba fabrykacyjna, która wykazała, że pomiędzy saturacją a zgotowaniem cukrzycy drugiego rzutu traci się z górą 1% cukru. Baudet określił cyfrę strat na 0,484%, natomiast Pellet znalazł jedynie 0,13% i sądzi, że wyższe cyfry wykazywane pochodzą stąd, że niedostatecznie uwzględnia się wpływ osadu ołowianego przy próbach. Ażeby więc dojść do rezultatów rzeczywistych odpowiadających praktyce, należało zachować przy badaniach dokładnie te same warunki, w jakich gotują się soki w fabryce, a więc temperaturę, czas trwania gotowania, stężenie, oraz różnicę ciepłoty pomiędzy płynem gotowanym a środkiem ogrzewającym.

W tym celu skonstruował p. Battut przyrząd, który tym warunkom zupełnie odpowiadać może, a który poniżej w rysunku przedstawiamy.

Stężanie odbywa się w kolbie B, mającej około 3 litrów objętości, po nad tą znajduje się druga (F), która tu zastępuje miejsce przekipacza i która połączona jest z jednej strony z próżniomierzem (I), z drugiej ze skraplaczem N i pompą powietrzną przy o. Skraplacz połączony też jest z trzecią kolbką P, która służy do sprawdzania, czy nie nastąpiło przekipienie, choć to jest prawie tu niemożliwe, w kolbce bowiem pomieszczona jest płytka miedziana, o którą porwane cząstki soku uderzają i spadają z powrotem do naczynia B. Górna kolbka i jej szyjka otoczone są zewnątrz wodą, aby uniknąć nadmiernego skraplania. Kolbka B zanurzona jest w kąpieli olejnej C, tak dostosowanej, by warstwa oleju nie przewyższała 25 mm, skutkiem czego regulowanie temperatury jest ułatwionem.

Przy wykonywaniu prób, należy możliwie naśladować warunki, w jakich proces podobny odbywa się w fabryce. Chcąc więc badać straty cukru przy ewaporacji, trzeba odpowiednio unormować temperaturę, różnicę tejże pomiędzy środkiem ogrzewającym a sokiem, ciśnienie i czas trwania stężania, a to na podstawie danych wziętych z teźni fabrycznych. Do próby odmierza się 1 litr soku z ostatniej saturacji po przece-dzeniu, wlewa do kolby z małym dodatkiem tłuszczu i wstawia do kąpieli olejnej ogrzanej do 150° C. W naczyniu zewnętrznym warstwa oleju winna być o 5—6 mm wyższą po nad poziom

soku w kolbie; sok po doprowadzeniu do wrzenia gotuje się przez ½ godziny bez połączenia z pompą powietrzną. Po tym czasie przerywa się na chwilę ogrzewanie i otwiera z wolna komunikację ssącą powietrze, zniża się ciepłotę kąpieli olejnej do 110° i gotuje przy próżni dochodzącej do 12 cali. Po godzinie objętość soku zredukuje się do 465 — 470 cm³, poczem obniża się ciepłotę łaźni do 90°, a podwyższa próżnię do 20 cali. Wrzenie w tem stadium utrzymuje się około 1½ godziny, pozostaje około 200 cm³ soku o gęstości 1,200 (=25° Bé.).



Po rozłączeniu aparatu i ostudzeniu, przelewa się sok do poprzednio użytej kolby mierzonej, wymywa wodą destylowaną kolbkę i połączenia, i doprowadza do poprzedniej objętości 1-go litra. Po sprawdzeniu, czy w kolbce (P) nie ma śladów cukru, oznacza się cukier w tak rozcieńczonym soku, a różnica tej polaryzacji z poprzednią daje miarę strat, które łatwo zredukować następnie na wagę buraków. Z licznych podobnych prób, jakie autor w tym celu przedsiębrał, okazało się, że średnio traci się 0,0924 kg cukru na 100 kg buraków przez rozkład cukru przy stężaniu skutkiem działania podwyższonej temperatury.

Określenie strat tą przyczyną spowodowanych przy gotowaniu o wiele jest trudniejszym i wymaga pewnych właściwych manipulacji. Trudno tu bowiem w liczbach ocenić, jak długo każda partya soku ulega wrzeniu, gdyż dodawanie soku odbywa się częściowo w rozmaitych okresach gotowania i w różnych ilościach. Na zgotowanie waru o objętości 100 hl cukrzycy, potrzeba około 250 hl soku gęstego o gęstości 25° Bé., z której to ilości około 50 hl wciąga się do zarobienia kryształu, pozostałe 200 hl służą do dociągów następnych i stopniowo przebywają coraz krócej w warniku, gdy pierwsze partye pozostają około 10 godzin. Takie warunki przyjmując za podstawę, Battut odpowiednio zmodyfikował powyżej opisany przyrząd, dodając kurek powietrzny, komunikację do dociągania soku i urządzenie pozwalające podnosić i opuszczać łaźnię olejną stosownie do potrzeby.

Pomieszczał on 2 litry soku gęstego, którego skład dokładnie był oznaczony, w naczyniu kalibrowanym, opatrzonym w podziałkę co 100 cm³ i połączonym z kolbą gotującą. Przy próżni 15 cali wpuszczał do tejże 400 cm³ soku, i gotował przy temperaturze łaźni wynoszącej 150° przez godzinę do gęstości 1,400 (42° Bé.); odtąd rozpoczynało dociąganie, przy próżni

17 cali, umiarkowane tak, że do kolby w przeciągu 3 godzin spłynęło kroplami 600 cm^3 soku, poczem przy jeszcze silniejszej o 1 cal próżni w następnych 3 godzinach dociągano 600 cm^3 , zmniejszono dopływ soku i w końcu otrzymano próżnię na 20 i 21 cali przy ostatnich dociągach soku. Tą drogą otrzymano około 800 cm^3 częściowo wykrystalizowanej cukrzycy, którą do analizy wymywano z kolby wodą gorącą i postępowano dalej, jak przy powyższych próbach z wyparką. Średnio z 24 prób, wykonanych w ciągu dwu kampanij, otrzymał Battut cyfrę 0,286 kg cukru na 100 kg buraków jako stratę przy gotowaniu pierwszego rzutu.

W podobny sposób przeprowadzone gotowanie niższych rzutów wykazało stratę, przy cukrzycy II-go rzutu 0,0414 kg , przy cukrzycy III-go rzutu stratę 0,0235 kg cukru na 100 buraków.

Reasumując zatem straty chemiczne cukru przy gotowaniu i ewaporacji, widzimy, że one wynoszą poważną cyfrę dochodzącą do 0,5% na 100 buraków, a mianowicie:

	<i>kg</i> cukru na 100 <i>kg</i> buraków
1. Straty przy stężeniu skutkiem fermentacji, przyjmując średnie obniżenie alkaliczności o 0,05	0,0312
2. Przez rozkład cukru przy stężeniu.	0,0924
3. Przez rozkład cukru przy gotowaniu 1-go rzutu	0,2860
4. Przez rozkład cukru przy gotowaniu 2-go rzutu	0,0414
5. Przez rozkład cukru przy gotowaniu 3-go rzutu	0,0235
Razem	0,4745

Straty mechaniczne. Te wywołuje unosząca się para, która porywa drobne kuleczki gotującego się soku oraz pienienie się w czasie wrzenia, skutkiem czego następuje przekipienie płynu. Straty pierwszą przyczyną spowodowane są stałe, drugie są przypadkowe i zdarzają się zwłaszcza przy stężeniu i gotowaniu niższych rzutów. Okoliczność ta powoduje też częstokroć zanieczyszczenia w kotłach parowych, jeżeli te zasilają się wodą warzelnią. Szczególniej dotkliwe są te straty przy wszelkich stagnacjach, ponownem puszczeniu w ruch aparatów, a zwłaszcza, gdy soki są spienione lub nadpsute; wówczas to nieraz cała zawartość przyrządu przechodzi do skraplacza.

W celu określenia strat przez porywanie w trojachach, badano wodę kondensacyjną, zbierając w ciągu 2 godzin próbki wody co 5 minut, razem około 500—690 cm^3 i w wodzie tej oznaczano zawartość cukru. Przekonano się przytem, że sok gęsty z trzeciego działu porywanym jest więcej aniżeli sok z pierwszego i drugiego korpusu. Próby te brane były z trojaków o dość znacznej sprawności, a których dział trzeci posiadał kołpak średniej wielkości, i w czasie przerobu soków mocno pieniających się. Średnia z czterech szeregów po 25 prób wykazała, że woda kondensacyjna ze skraplacza trzeciego działu zawierała w przecięciu 0,089% cukru, przyczem minimum wynosiło 0, a maksimum 2,12%. Ponieważ wody takiej otrzymuje się około 200 litrów na 100 kg buraków, przeto strata wyrażona w odsetkach wagi buraków wyniesie 0,178% cukru. Zaznaczyć trzeba, że w czasie, kiedy wyparnice poddawano próbom, szczególniejszą uwagę zwracano na samo gotowanie i poziom soku, należy więc przypuszczać, że straty znalezione stoją poniżej normalnej granicy. Wszakże w przecięciu z całej kampanij otrzymano cyfrę 0,089% cukru jako stratę na 100 buraków poniesioną na stacyi wyparnej z tej przyczyny.

W czasie gotowania I-go rzutu, porywanie jest mniej znacznem, dopiero przy zarabianiu ziarna zwiększa się, uniesione kuleczki płynu pozostają jednak przeważnie w przekipiaczu. Liczne próby, dokonane przy gotowaniu soku gęstego w warniku, udowodniły, że w płynie pozostałym w przekipiaczu znajduje się 0,20 do 0,30 kg cukru na 1 hl cukrzycy, badanie wody z kondensatora nie doprowadziło w tym razie do ścisłych rezultatów. Dopiero, gdy pomiędzy przekipiaczem

a skraplaczem ustawiono przyrząd *Hodeka*, szereg prób wykazał następujące straty cukru, licząc na 1 hl cukrzycy:

	Cukru w zwykłym przekipiaczu	Cukru w przyrządzie <i>Hodek'a</i>	Cukru w wodzie kondensacyjnej
1 próba	0,275	0,103	0
2 „	0,210	0,089	0
3 „	0,321	0,108	0
4 „	0,228	0,104	ślady
5 „	0,189	0,093	0
Średnio	0,244	0,0994	0

A zatem z całej ilości cukru powstrzymanego w przyrządach ochronnych, 29% przeszło po za pierwszy zwykły przekipiacz, pomimo, iż pracowano w danym wypadku z całą ostrożnością. Jeżeli się wyliczy ilość pary, jaka tworzy się przy gotowaniu pierwszego rzutu i przechodzi przez przekipiacz, i na tę ilość zredukuje znalezione powyżej straty cukru, to strata ta wyrazi się cyfrą 0,010 kg na 100 buraków.

Przy gotowaniu niższych rzutów straty te w porównaniu z pierwszym rzutem, o wiele są poważniejsze, gdyż porywanie cząsteczek i pienienie się są tu energiczniejsze. Odcieki z wirówek zawierają zazwyczaj dużo pęcherzyków powietrza, które przy naciąganiu do warnika łatwo zamienić mogą całą masę płynu w pianę, a przy najmniejszej nieuwadze powodują przekipienie całej zawartości. Na okoliczność tę mało bywa zwracana uwaga zwłaszcza w rafineryach, gdzie stacya ta jest zaniedbywana, często bowiem nie ma tu oddzielnego gotowacza lub gotowanie odbywa się w czasie zmian nocnych, a do warnika wciąga syropy wprost z pod wirówek. Przy zwykłym urządzeniu przekipiacza, podług prób przeprowadzonych w sposób wyżej wyłuszczonej, przekipiacz powstrzymuje 0,36—0,60 kg cukru na hektolitr cukrzycy wówczas, gdy warnik napełniony jest zaledwie do połowy płynem. Woda ze skraplacza, badana również w sposób powyżej opisany, wykazała średnio 0,0081% cukru w przecięciu z całych szeregów prób, przy nader staranem zresztą gotowaniu.

Porównawcze próby działalności zwykłego przekipiacza i przyrządu *Hodeka* przy gotowaniu 5-go i 6-go produktu rafineryjnego wykazały, po odpowiedniem przeliczeniu:

	Cukru w zwykłym przekipiaczu	Cukru w przekipiaczu <i>Hodeka</i>	Cukru w wodzie ze skraplacza
1 próba	0,407	0,161	0
2 „	0,621	0,109	ślady
3 „	0,414	0,083	0
4 „	0,383	0,070	0
5 „	0,454	0,201	0
Średnio	0,454	0,125	0

Tu więc widzimy znowu, że z ogólnej ilości zatrzymanego po za warnikiem cukru 0,125 kg czyli 21,6% przeszło po za pierwszy przekipiacz. Przeliczone na 100 buraków, straty w tym razie wyniosą 0,0075 kg cukru.

Określenie strat przy innem ustawieniu przyrządów ochronnych t. j. takim, że opary przechodziły najpierw przyrząd *Hodeka*, a następnie zwykły przekipiacz, wydało taki rezultat, że w pierwszym naczyniu t. j. w przyrządzie *Hodeka* pozostało 96,8% z całej porwanej ilości soku, a przy gotowaniu niższych rzutów tenże przyrząd chwycił 89,3% całej ilości uniesionego płynu. Świadczy to o pożyteczności zwalniania chylności oparów, które to zadanie spełnia przyrząd *Hodeka*.

Wykazane powyżej straty fizyczne cukru wynoszą zatem na 100 kg buraków na podstawie wspomnianych prób:

przez porywanie soku w tężniach	0,089
„ „ „ przy gotowaniu I rzutu	0,010
„ „ „ przy niższych rzutach.	0,0075
Razem	0,1065 kg ,

a w ogóle straty cukru w niniejszej pracy wyszczególnione wynoszą 0,581 kg na 100 kg buraków. Cyfry te zdobyte są częściowo próbami laboratoryjnymi, częściowo oparte na teoretycznych przypuszczeniach. Należy więc jeszcze przekonać się, czy w rzeczywistości i w fabryce do takich samych dojdziemy rezultatów.

3. *Fabrykacyjne określenie strat cukru przy stężeniu i gotowaniu.* Oznaczenie fabrykacyjne strat dokonane było w ten sposób, że poddawano ścisłej kontroli ilości cukru idące i wychodzące z tętnic i warników bezpośrednio, pomijano natomiast cyfry zdobyte z różnic oznaczeń w jednym i drugim stadyum, te bowiem cyfry nigdy nie mogą być pewnymi. Przy dobrze urządzonej kontroli chemicznej i fabrykacyjnej, oznaczenia te nie przedstawiają już szczególnych trudności, wymagając jedynie prowadzenia specjalnego dziennika. Tą drogą doszedł Battut do szeregu cyfr poniżej tu podanych, a które przedstawiają rzeczywiście poniesione straty na poszczególnych stacyach w ciągu kilkunastu kampanij.

Straty cukru na 100 kg buraków			
	w wyparce	w gotowaniu I rzutu	razem
1	0,114	0,398	0,512
2	0,132	0,458	0,590
3	0,122	0,428	0,550
4	0,125	0,398	0,523
5	0,120	0,385	0,505
6	0,110	0,368	0,478
7	0,091	0,319	0,410
8	0,093	0,354	0,447
9	0,088	0,364	0,452
10	0,105	0,313	0,418
11	0,101	0,292	0,393
12	0,090	0,253	0,343
Średnio . .	0,1075	0,360	0,468

Wszelkie oznaczenia cukru dokonywane tu były przy jednokowej gęstości płynu, doprowadzonej do stężenia pierwotnego

go soku, z drugiej strony badanie wody z pomp powietrznych nie wykryło nadmiernych, nieproporcjonalnych strat mechanicznych.

Straty w niższych rzutach określane były również w sposób podobny, kontrolowano ściśle zgotowanie około 500 hl cukrzycy drugiej, przyczem ilości dokładnie były za każdym razem mierzone i próby średnie starannie zbierane. Warnik był uzbrojony dwoma przekipiaczami *Hodeka*, a woda kondensacyjna nie zawierała śladów cukru. Tak samo postępowano z odciekem z II rzutu przy gotowaniu trzeciej cukrzycy, i otrzymano wyniki następujące:

Straty cukru na 100 kg buraków		
	w 2-m rzucie	w 3-m rzucie
1	0,0461	0,0271
2	0,0415	0,0220
3	0,0586	0,0371
4	0,0284	—
5	0,0693	—
Średnio . .	0,0478	0,0287

Cyfry te niewielkie tylko wykazują odskoki od wyników prób laboratoryjnych, które tem samem nabierają większego znaczenia. Niezależnie jednak cały szereg szczegółowych oznaczeń i analiz służył do sprawdzania otrzymanych rezultatów; badano ściśle te same produkty w rozmaitych stadyach fabrykacji z określeniem stopniowego obniżania się alkaliczności, i produkty te w rozmaitych czasach poddawano próbom laboratoryjnym. Przytoczona niżej tablica daje zestawienie wyników laboratoryjnych i fabrykacyjnych odnośnie wszystko do 100 kg buraków.

Wymienione wyniki przekonać mogą dostatecznie, gdzie leży przyczyna strat tak zwanych nieoznaczonych w fabrykacji. Analityczne określenie tych strat nie przedstawia nadzwyczajnych trudności a chociaż skomplikować może nieco zwykłą kontrolę chemiczną, to jednak poniesiony trud opłacić się może wykryciem rozmaitych niewłaściwości popełnianych na omawianych stacyach, często w kontroli zaniedbywanych.

Porównawcze zestawienie wyników po ogólnem sprawdzeniu:

№	Straty w wyparce						Straty w gotowaniu pierwszego rzutu			Strata ogólna w wyparce i gotowaniu 1-go rzutu		
	Oznaczenia laboratoryjne					Różnica pomiędzy A i B w mg	Oznaczone w laboratorium C	Oznaczone fabrykacyjnie D	Różnica pomiędzy C i D w mg	Podług prób laboratoryjnych E	Podług oznaczeń fabrykacyjnych F	Różnica pomiędzy E i F, w mg
	Obniżenie alkaliczności mg	Ilość cukru rozłożonego na 100 buraków	Strata w wyparce wprost w laboratorium określona	Strata cukru A	Strata cukru oznaczona fabrykacyjnie B							
1	26,5	0,0162	0,104	0,1202	0,122	— 1,8	0,330	0,364	— 34	0,450	0,486	— 36
2	28,0	0,0171	0,093	0,1101	0,108	+ 2,1	0,330	0,344	— 14	0,440	0,452	— 12
3	14,0	0,0086	0,081	0,0896	0,092	— 2,4	0,288	0,307	— 19	0,378	0,399	— 21
4	19,0	0,0093	0,085	0,0940	0,100	— 6,0	0,327	0,303	+ 24	0,421	0,403	+ 18
Średnio . .		0,0128	0,0907	0,1034	0,105	— 2,0	0,319	0,330	— 11	0,422	0,435	— 13
T. R.												

Porównanie cukromierzy i wagi Mohra z piknometrem. Wskazówką czyli zegarem regulującym całą robotę fabrykacyjną jest laboratorium. Zadanie chemika jest przeto bardzo ważne, — to też od niego wymaga się nie tylko dokładności i sumienności w robocie, lecz i pewnej przezorności w wyborze przyrządów, którymi się posługuje i sprowadza do laboratorium. Przy przeglądzie naszego laboratorium napotkałem niektóre niedokładności w przyrządach, a mianowicie przy sprawdzaniu cukromierzy. Porównywałem trzy różne cukromierze

i wagę Mohra z dokładnie wyważoną flaszeczką 100-gramową. Cukromierze pochodziły z różnych firm, a mianowicie ze znanej poważnej firmy d-ra *Szeiblera* z Berlina — dziś (*R. Fiebiga*) — z firmy *Kapellera* z Wiednia i z firmy pp. *Berenta* i *Plewińskiego* z Warszawy.

Cukromierze *Szeiblerowskie* miały wygląd wzbudzający zaufanie — komplet składał się z trzech: pierwszy od -4° do $+30^{\circ}$, drugi od 30° do 60° i trzeci od 60° do 84° , każdy z nich opatrzony był wewnątrz termometrem, do kompletu

należał jeszcze stosowny cylinder z mosiężną podstawką — wszystko to zaś mieściło się w bardzo porządnym safianem wyłożonem pudełku.

Cukromierze Kohlrausowskie z firmy *Kapellera* z Wiednia miały wygląd elegancki, roboty misternej, z szybkami płaskimi z podziałką na setne części, — komplet w bardzo eleganckiem pudełku składał się z 4-ch cukromierzy właściwych (od 0° do 5°, od 5° do 10°, od 10° do 15°, od 15° do 20°) i piętego zwyczajnego od 0° do 20°, — ten ostatni służył do oryentowania się, którego z 4-ch cukromierzy właściwych należy użyć do badania.

Cukromierz warszawski nie odznaczał się żadnemi zewnętrznymi przymiotami, — od 0° do 20° z dziesiętną podziałką, w kartonowem pudełku. Waga *Mohra* niewiadomo z której firmy pochodziła, była jednak w dość dobrym stanie. Piknometr sprowadzony był również z Warszawy. Wyważyłem go wodą dystylowaną.

Prób porównawczych dokonywałem na różnych sokach, badając zawsze jeden i ten sam sok wszystkimi przyrządami w mowie będącemi. Próby te ująłem w tabelkę, którą poniżej podaję:

	Cukromierze			Waga <i>Mohra</i>	Piknometr 100 cm ³	Różnica piknometrów z
	Wiedeńskie	Berlińskie	Warszawskie			
Sok dyfuzyjny	13,3	13,4	13,3	105,5 = 13,5	105,32 = 13,1	Cukromierzem wiedeńskim = 0,4 Bx.
	13,9	14,1	13,6	105,6 = 13,8	105,45 = 13,4	„ <i>Scheiblera</i> = 0,5 „
	13,7	13,8	13,4	105,4 = 13,3	105,13 = 13,0	„ <i>Ber. i Plew.</i> = 0,2 „
	13,4	13,6	13,2	105,5 = 13,5	105,25 = 12,9	Waga <i>Mohra</i> = 0,4 „
	13,2	13,3	13,1	105,4 = 13,5	105,21 = 12,9	
	12,9	13,1	12,8	105,1 = 12,6	105,09 = 12,6	
	12,9	13,0	12,8	105,2 = 12,8	104,98 = 12,3	
	12,5	12,6	12,3	105,1 = 12,6	104,90 = 12,2	
	13,0	13,2	12,8	105,3 = 13,0	105,11 = 12,6	
Średnia . .	13,2	13,3	13,0	= 13,2	= 12,8	
Sok po III saturacji	15,8	16,0	15,7	106,4 = 15,6	106,29 = 15,2	Cukromierzem wiedeńskim = 0,4 Bx.
	15,4	15,6	15,2	106,4 = 15,6	106,10 = 15,0	„ <i>Scheiblera</i> = 0,5 „
	15,8	15,8	15,5	106,5 = 15,8	106,25 = 15,3	„ <i>Ber. i Plew.</i> = 0,3 „
	15,7	15,8	15,5	106,5 = 15,9	106,25 = 15,3	Waga <i>Mohra</i> = 0,6 „
	15,6	15,8	15,5	106,5 = 15,9	106,26 = 15,3	
	15,5	15,6	15,5	106,5 = 15,9	106,25 = 15,3	
	15,0	15,0	14,9	106,2 = 15,2	106,00 = 14,7	
	14,3	14,3	14,2	105,9 = 14,5	105,75 = 14,1	
	15,1	15,1	14,9	106,2 = 15,2	106,10 = 14,9	
Średnia . .	15,3	15,4	15,2	= 15,5	= 14,9	
Sok filtrowany	14,8	15,0	14,7	106,1 = 14,9	105,89 = 14,4	Cukromierzem wiedeńskim = 0,3 Bx.
	15,2	15,2	15,1	106,3 = 15,4	105,99 = 14,7	„ <i>Scheiblera</i> = 0,4 „
	15,3	15,4	13,2	106,4 = 15,6	106,13 = 15,0	„ <i>Ber. i Plew.</i> = 0,2 „
	14,3	14,6	14,2	105,7 = 14,0	105,69 = 14,0	Waga <i>Mohra</i> = 0,4 „
	14,8	15,0	14,8	106,2 = 15,2	105,99 = 14,7	
Średnia . .	14,9	15,0	14,8	= 15,0	= 14,6	

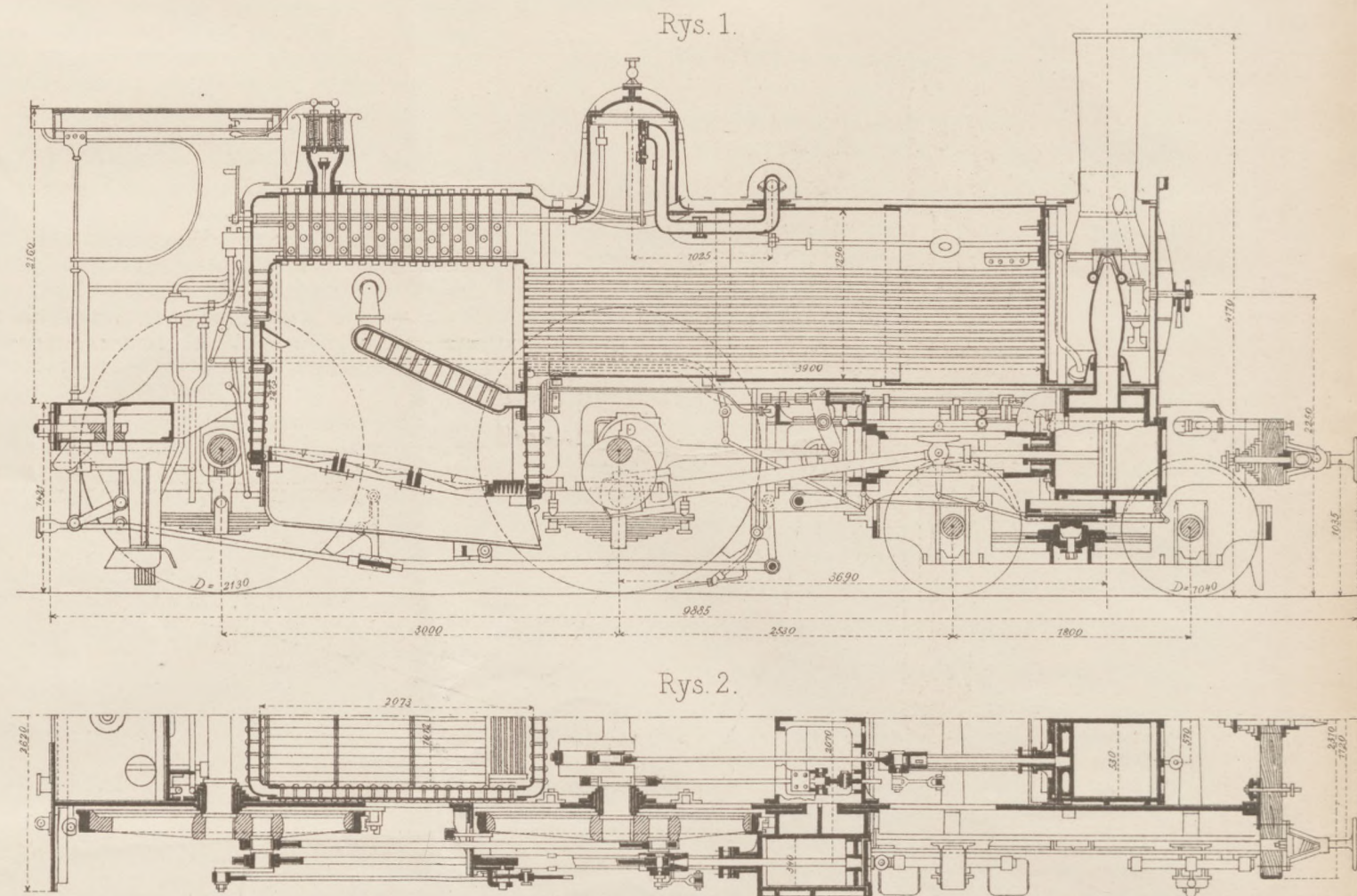
Z powyższych prób taki wyciągnąć można wniosek, że najlepszy cukromierz nie może zastąpić dobrego piknometru. Wprawdzie robota piknometrem jest trochę ambarasowną, lecz w obec ścisłości i dokładności jaką nim się osiąga, każdy powinien ponieść tyle trudu, zresztą wiele tu zależy od przyzwyczajenia, dobrej woli i chęci, a robota piknometrem wcale uciążliwą nie będzie się wydawała.

Jak widzimy, cukromierze nawet z bardzo poważnych firm nie są wolne od błędów, coż dopiero mówić o cukromierzach z podrzędnych firm pochodzących, a którymi nieraz jeszcze w dość poważnych fabrykach się posługują, a niekiedy chłopców laboratoryjnych używają do t. z. „briksowania“, — ta-

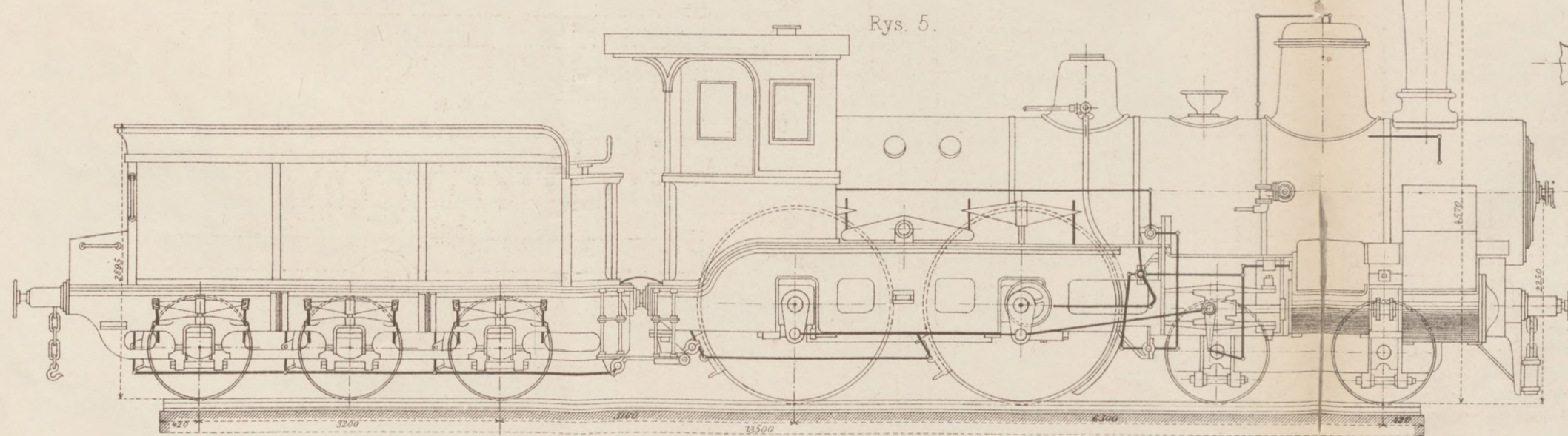
kie postępowanie, to już wprost niesumienne nazwać należy. Przed paru laty sprawę tę podniosło zebranie cukrowników w Warszawie i uchwaliło, żeby przysyłający sprawozdania, używali do oznaczania gęstości soków piknometru. Postanowienie to ma do dziś moc obowiązującą, a przytoczona powyżej tabelka niech posłuży dla tych, co jeszcze używają cukromierzy w pracowniach, by zarzucili ten sposób a posilkowali się jedynie piknometrem, — cukromierz uważać należy jako przyrząd techniczny, niedokładny, nie nadający się do ścisłych oznaczeń chemicznych.

J. Grz.

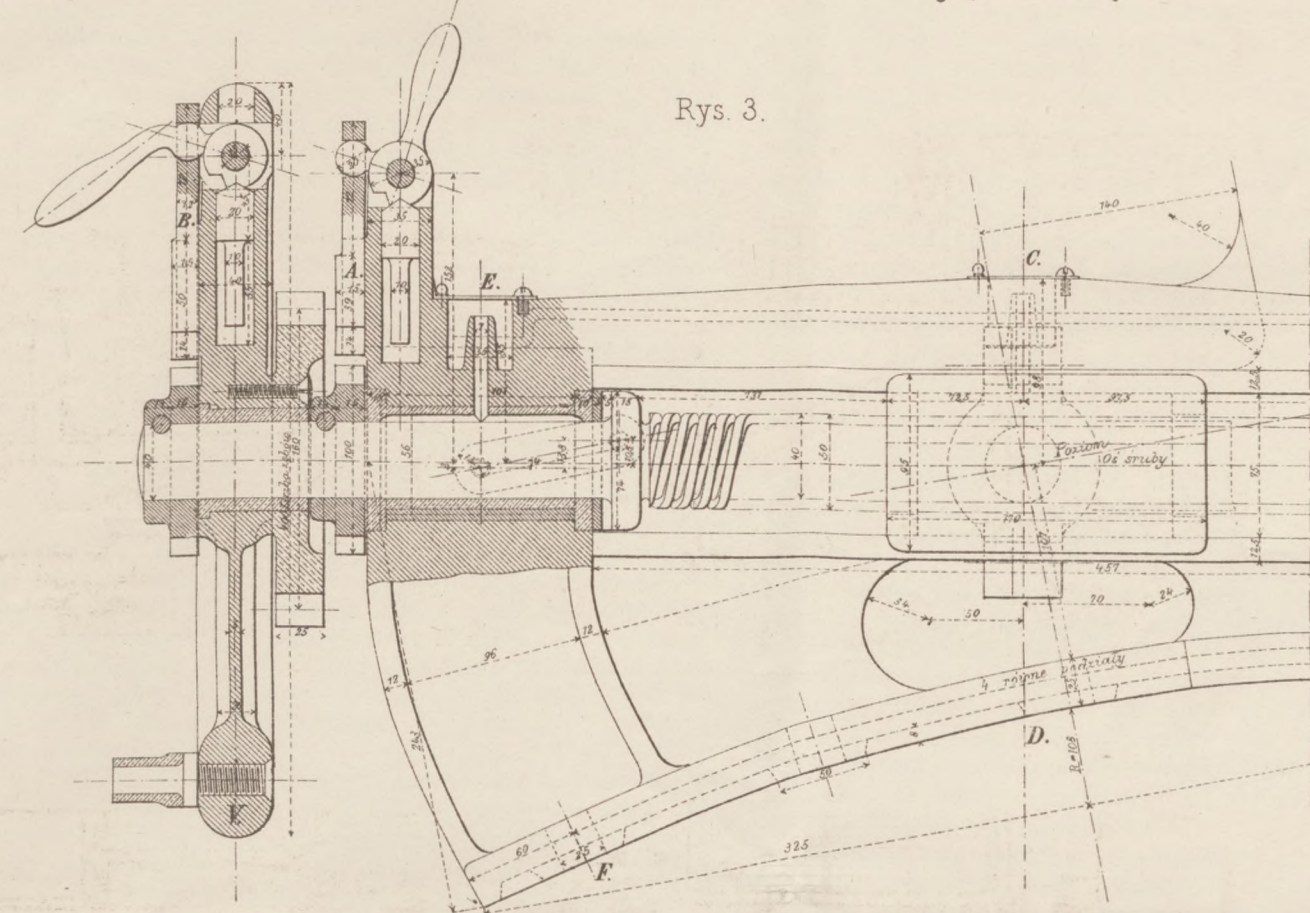
Parowóz osobowy D.Ż. francuskiej północnej.



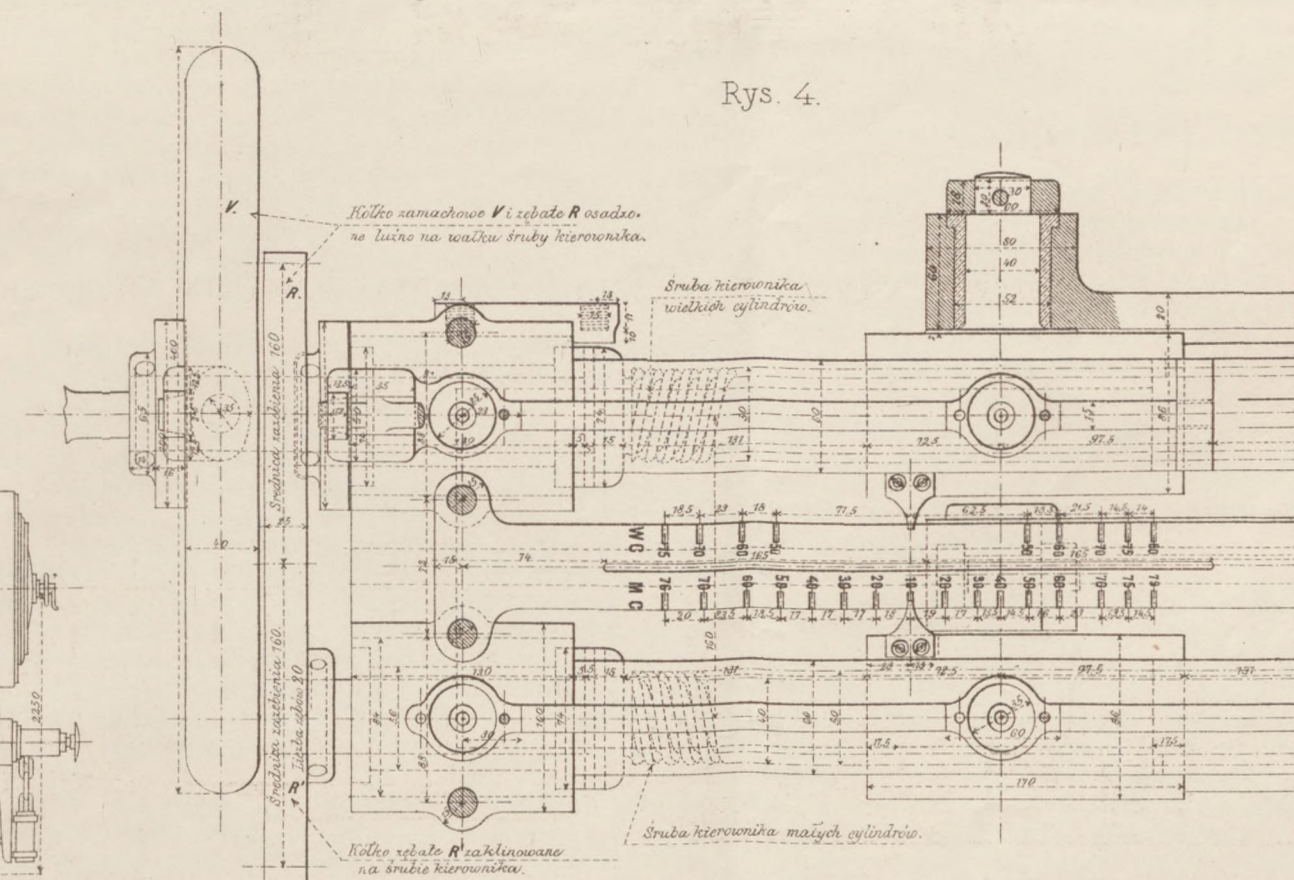
Parowóz osobowy pospieszny D.Ż. rządowych węgierskich. System sprzężony (Woolfa).



Kierownik parowozu D.Ż francuskiej północnej.

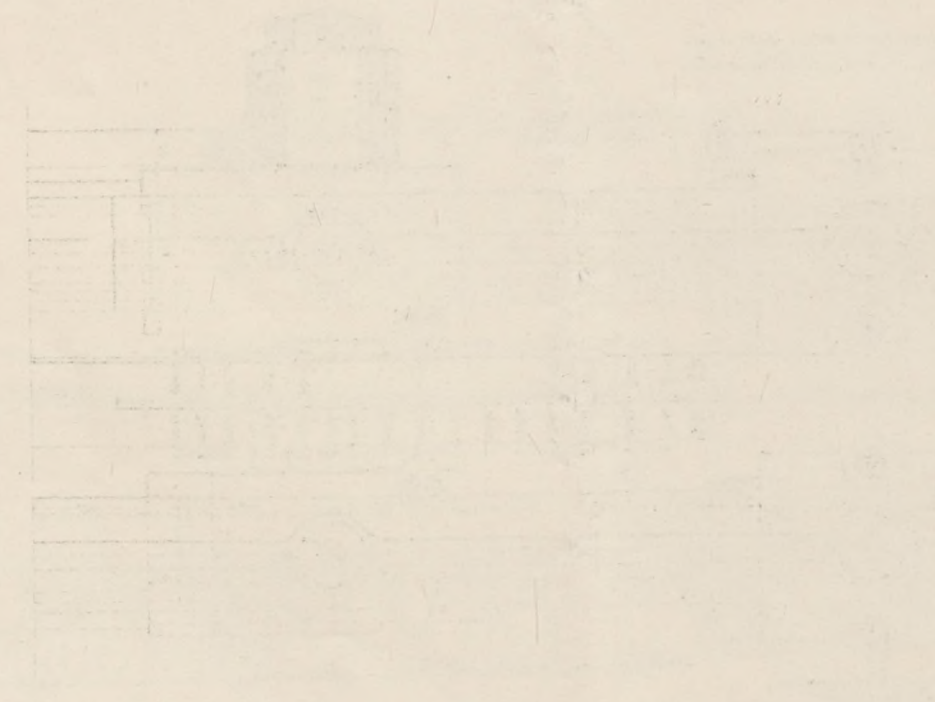
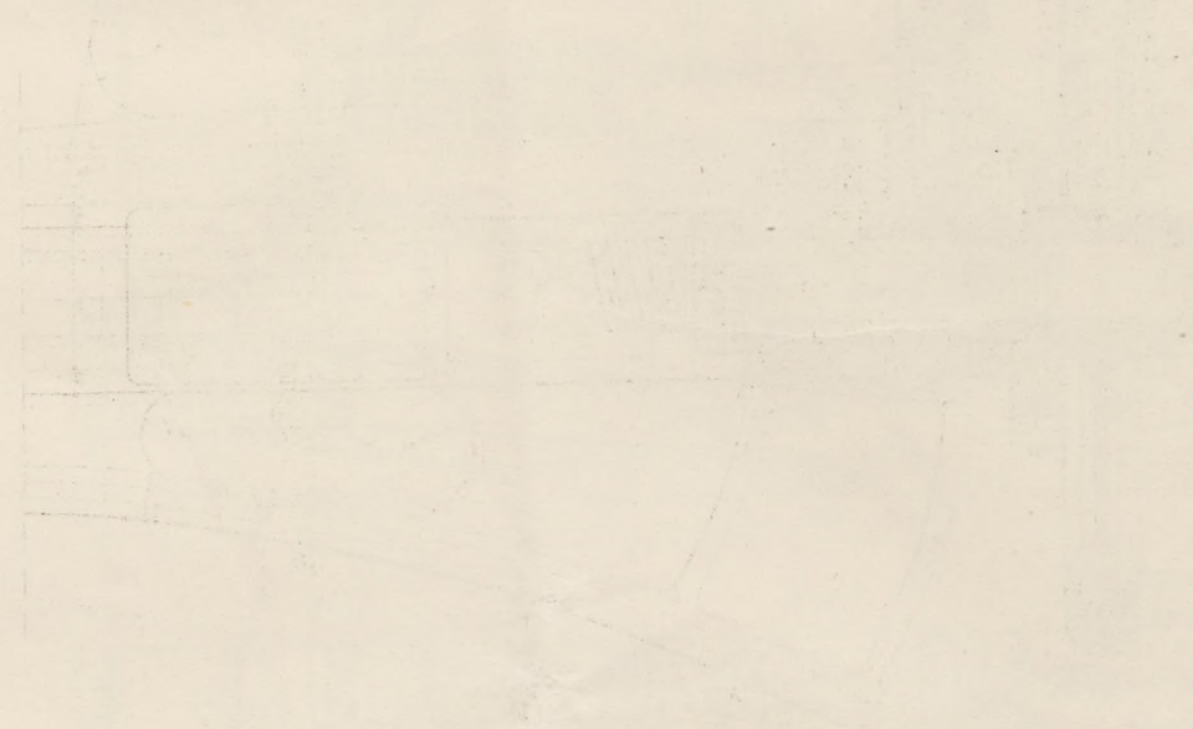


Rys. 4.



1891

THE UNIVERSITY OF CHICAGO



PIERWSZA W KRAJU
FABRYKA KOTŁÓW PAROWYCH
hydraulicznie nitowanych.



Kompletne urządzenia
CUKROWNI,
Browarów, Gorzelni,
DYSTYLARNI.

ZAKŁADY MECHANICZNE BORMANN, SZWEDE i S-ka w WARSZAWIE,

polecają:

Kotły parowe wszelkich systemów, hydraulicznie nitowane. Kompletne instalacje nowych kotłowni lub przebudowanie starych, wadliwie urządzonych, pod kierunkiem specjalnych pyrotechników. Kompletne instalacje stacji wyparych podług systemu Rilleux-Lexa. Patentowane warniki rurkowe systemu Lexa-Herold. Odparnice najnowszego systemu o potrójnym i poczwórnym działaniu. Kondensatory kaskadowe górne i dolne. Ogrzewacze zamknięte do soków i syropów systemu Bormanna o wielokrotnym przepływie. Kotły defekacyjno-saturacyjne. Mieszadła do wapna, oraz wszelkie aparaty i przyrządy dla cukrowni i rafinerji.

Adm. (12-1).

ZAKŁADY MECHANICZNE GRUSON WERK w Buckau-Magdeburgu,

nagrodzone na 71 wystawach za wyroby z twardego odlewu, miedkiej stali, stali tyglowej, odlewu kowalnego, bronzu, żelaza kutego i kutej stali.

Wieże pancerne, działa i pociski armatnie.

Krany ręczne, parowe, hydrauliczne, najrozmaitszej konstrukcji.

Prasy hydrauliczne, ręczne, parowe, transmisyjne, Lewary.

Łamacze kamieni i rud, Guiotowniki, Mieszadła, Przesiewacze.

Kafary parowe, Podnośniki, Windy, Ubijacze betonu.

Taśmowe piły do żelaza, stali, metalów, krające na zimno.

Młynki walcowe, kulowe, tarczowe, Excelsior do ziarn i kamieni.

Walce z twardego odlewu do maki, papieru, celulozoidu, gumy, staniolu.

Koła z twardego odlewu, zwrotnice, krzyżownice kolejowe, tramwajowe.

Retorty, kotły, tygle z odl. twar. do stearyny, olejów, tłuszczów, farb.

Urządzenie fabryk dla otrzymywania złota, srebra, miedzi, prochu strzelniczego, cementu, szmerglu, gipsu, nawozu, oleju.

JENERALNI REPREZENTANTCI
OLSZEWICZ & KERN. — Warszawa.



SKŁAD ZEGARÓW i ZEGARKÓW Piotra Smalec Nr. 2. MAZOWIECKA Nr. 2.

Otrzymał transport najnowszych wynalazków jak: Zegarki, budziki, pamiętniki, zegarki którym upadnięcie nie szkodzi, zegarki aluminiowe bardzo lekkie, oraz zegarki antymagnetyczne dla osób mających styczność z elektrycznością. Stale na składzie wybór zegarków fabryk Brandta, Calame Roberta, Mermod Frères, Perret & Fils i t. p.

Reparacye sumiennie po niskich cenach. Gwarancya dwuletnia.

W kopalniach węgla *Warszawskiego Towarzystwa*, położonych w bliskości stacji drogi żelaznej Granica, wakuje posada

zwierzchniego nadzorcy machin.

Wymagane są wiadomości teoretyczne nabyte w zakładzie technicznym rossyjskim lub zagranicznym, oraz praktyczna znajomość rzeczy, nabyta czy to przy machinach kopalni, czy też w fabrykach machin. — Reflektanci zechcą nadesłać opis biegu życia i odpisy posiadanych świadectw, pod adresem Dyrekcyi Kopalń węgla we wsi Niemce przez Granicę, stacyę drogi żelaznej Warszawsko-Wiedeńskiej.

FARBY i LAKIERY

do użytku fabryk, cukrowni, warsztatów malarskich, lakierniczych i do różnych celów gospodarczych

polecają

W. Karpiński & W. Leppert

KANTOR i SKŁAD

FABRYKA

w WARSZAWIE

w HELENÓWKU

Plac Bankowy (Żabia 9).

p. Pruszków, st. dt. ż. W.-W.

Cenniki na żądanie franco i gratis.

Adm. (12-1).

GAZETA RZEMIEŚLNICZA

Tygodnik poświęcony sprawom rzemieślniczym.

Artykuły specjalne są w treści objaśnione rysunkami, a nadto z dniem 1-m kwietnia r. b. dołączane są oddzielne

tablice z rysunkami roboczymi

(szczegóły wzorów na skalę).

PRZEDPLATA WYNOŚI:

w Warszawie:

na Prowincyi:

Rocznie . . . rs 4,—

Rocznie . . . rs 5,30

Kwartalnie . . . 1,—

Kwartalnie . . . 1,30

Za odnośnienie dopłaca się miesięcznie kop. 5

wraz z przesyłką pocztową.

Adres Redakcyi i Administracyi:

Warszawa, Krakowskie-Przedmieście N. 66.

TOWARZYSTWO AKCYJNE ZAKŁADÓW ŻYRARDOWSKICH

Hiellego i Dittricha

ZAKŁADY TOWARZYSTWA W ŻYRARDOWIE

(stacja RUDA GUZOWSKA dr. żel. Warszawsko-Wiedeńskiej)

polecają:

Potrzebne dla **CUKROWNÍ**: **Platy prasowe**: czysto lniane, dżutowe, półlniane z dżutem, półbawełniane ze lnem i bawełniane w różnych gatunkach, wyrabiane specjalnie do tego użytku i **szczególnie zalecane** do filtrowania po pierwszej, drugiej i trzeciej saturacji.

Dalaj: **Plótno nieprzemakalne** nasycone lub nienasycone oraz uszyte z tegoż w żądanych wielkościach gotowe: **Opony** na wozy frachtowe, wagony kolejowe, statki parowe, lokomobile i do różnych potrzeb gospodarskich. Również: wiadra parciane do wody, wiaderka ogniowe i węże do sikawek.

Nadto objawszy **wyłączną sprzedaż** wyrobów: **przedzalni dżutu i tkalni wyrobów dżutowych Hiellego i Dittricha w Częstochowie**, Zakłady Żyrardowskie polecają także:

Worki wyrabiane z dżutu, z dżutu ze lnem i z samego lnu we wszelkich gatunkach i wielkościach, do przewozu **mączki cukrowej, cukru kostkowego, zboża i soli**.

(Adm. 12-1)

TOWARZYSTWO FABRYKI MASZYN I ODLEWNI

„Donat, Lipkowski, Skoryna i S-ka”

W KIJOWIE,

Kantor, Kreszczatik N. 45. — Telefon N. 293.

Fabryka na Zwierzyńcu.

P O L E C A :

Wirówki ciągłe, patent Szezeniowski i Piątkowski.

Blotniarki syst. Skoryna, Krooga i innych.

Cedzidla syst. Skoryna.

Cedzidla mechaniczne naszego patentu.

Ślimaki do wysłodków, cukru, cukrzyce, błota i t. d.

Pompy zwykłe i systemu Blacka: gazowe, wodne, powietrzne, zasilające, sokowe i syropowe.

Malaksery do cukrzyce najnowszych konstrukcyj.

Wszystkie w ogóle maszyny, aparaty, transmisye, wentyle i t. p. dla fabryk cukru.

(12-1)

PRZEWODNIK ADRESOWY.

Biura.

Patentów, E. Włodarkiewicz inż., Marszałkowska 122.

Techniczne, E. Włodarkiewicz inż., Marszałkowska 122.

Kanalizacyjne, Kuks i Luedtke. Warszawa, Leszno 27.

Techniczne, Arnd i Szule, Królewska 10. Artykuły wodociągowe i kanalizacyjne.

H. Somya, Bracka Nr. 25. Skład artykułów technicznych, kanalizacyjnych i wodociagowych.

Dawid Perl, Grzybowska 21. Skład materiałów budowlanych, technicznych, kanalizacyjnych i wodociagowych.

Cement, cegła ogniotrwała i glinka.

Dawid Perl, Grzybowska 21. Skład materiałów budowlanych: cementu, cegły i glinki ogniotrwałej oraz dren oryginalnych angielskich średnicy od 3—24 cali z rozgałęzieniami. Belki żelazne T. Eisen.



Depart. Przemysłu i Handlu, St. Petersburg
Wiedeń, Budapeszt, Berlin, Belgia.

„EXSICCATOR”

Niszczy grzyb drzewny raz na zawsze.
Osusza wilgoć i t. p. — Zastępuje farby.

Broszurka, 80 str. druku i ważny dodatek, bezpłatnie. Agentów poszukuję.

Adres dla telegrafów i pism: **RITTER** Warszawa.

Ostrzegam przed używaniem innych smarów gdyż takowe tylko niszczą drzewo. (Adm. 12-1)



WYJEDNYWA
I SPRZEDAJE

BIURO PATENTÓW I TECHNICZNE

J. Brandt & G. W. Nawrocki w Berlinie

Friedrich-Str. 78.

(Najstarsze biuro Patentowe Berlińskie)

(12-5)

Właściciele firmy: **A. MÜHLE** i **W. ZIOŁECKI**.

Podręcznik techniczny

dla użytku inżynierów, budowniczych, geometrów,
techników i przemysłowców,

ulożył

Aleksander Kuczyński,

inżynier, były student Uniwersytetu Gandawskiego.

Wydanie drugie, przerobione i pomnożone, z 160 figurami w tekście.

Cena rs. **3,50**, z przes. rs. **3,80**, w oprawie rs. **4**, z przes. rs. **4,30**.

Skład główny w Księgarni Gebethnera i Wolffa, w Warszawie.

PRACE MATEMATYCZNO - FIZYCZNE

wydawane w Warszawie przez

S. Dicksteina, Wł. Gosiewskiego, Edw. i Wł. Natansonów.

Tom III. Cena rub. 2.

Warszawa. Skład główny w księgarni Gebethnera i Wolffa.

M. THULLIEGO

Podręcznik statyki budowli. Cena 5 złr.

Podręcznik teorii mostów, część I, t. I. Cena 4 złr.

Przyczółki i filary kamienne mostów żelaznych i drewnianych. Cena 2 złr.

do nabycia we wszystkich księgarniach.

Podręcznik teorii mostów, część I, t. 2. Belki statycznie niewyznaczalne. Cena 4 złr.,

dla przedpłacicieli Przeglądu rs. 2 kop. 60.

„Westa”.

Proszek mineralno-chemiczny, jedyny do czyszczenia wszelkich wyrobów metalowych. Nadaje blask nowości i zapobiega rdzewieniu, 1/2 funta 15 kop., 1/4 funta 8 kop.; handlującym rabat. Skład główny: Warszawa, Królewska 30, kantor dezynfekcyj.

6-3

Wielkość ogłoszenia

na przestrzeni

1-go prostokąta (kwadratu).

Cena **jednorazowego** ogłoszenia:

na przestrzeni 1-o kwadr. 50 kop.

2-ch kw. 1 rs. i t. d.

Przy trzykrotnym ogłoszeniu odstępuje się 10%

Przy sześciokrotnym 15%

„dwunastorazowym 20%

Uwaga. Cała stronica ogłoszeń mieści 32 prostokąty (kwadraty).

Fabryki.

Kotłów, W. Fitzner i K. Gamper, — reprezentant E. Włodarkiewicz inż., Marszałkowska 122.

Blachy, dziurkowane, Arnd i Szule, Królewska 10, reprezentanci fabryki Ph. Nebrich, Praga Smichow.

Stal, pilniki. Najlepsza austriacka stal narzędziowa „Poldi” i pilniki. Arnd i Szule, Warszawa.

Transmisye. Koła pasowe formowane maszyną z fabryki J. John w Łodzi. Arnd i Szule, Królewska 10.

Aparaty miedziane — Odlewnia bronzu. T. K. Jakobsen i H. Kornowski. Warszawa, Elektoralna 33.